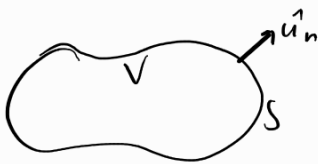


e.g. Maxwell - regime variabile

$$\begin{cases} \nabla \times \vec{E} = -\frac{\partial \vec{B}}{\partial t} \\ \nabla \times \vec{H} = \frac{\partial \vec{D}}{\partial t} + \vec{J} \\ \nabla \cdot \vec{D} = \rho \\ \nabla \cdot \vec{B} = 0 \\ + \text{conservaz. carica} : \nabla \cdot \vec{J} = -\frac{\partial \rho}{\partial t} \end{cases}$$

Conservaz. carica:



$$\Rightarrow \nabla \cdot \vec{J} = -\frac{\partial \rho}{\partial t}$$

un flusso positivo cioè uscente di \vec{J} comporta una var. negativa nel tempo della carica nel volume

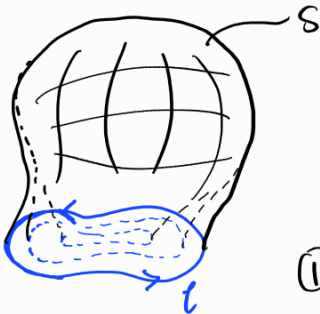
$$\iint_S \vec{J} \cdot \hat{n} ds = -\frac{d}{dt} \iiint_V \rho dV = \iiint_V \nabla \cdot \vec{J} dV$$

teo. Gauss della divergenza

$$\Rightarrow \iiint_V -\frac{\partial \rho}{\partial t} dV = \iiint_V \nabla \cdot \vec{J} dV$$

$\rho = \rho(t, x, y, z)$
 \Rightarrow derivata parziale

possiamo anche dedurla:



$$\int_C \vec{H} \cdot d\vec{l} = \iint_S \frac{\partial \vec{D}}{\partial t} \cdot \hat{n} ds + \iint_S \vec{J} \cdot \hat{n} ds$$

faccio tendere $C \rightarrow \emptyset \Rightarrow S$ diventa sup. chiusa

$$\textcircled{1} \Rightarrow \iint_S \frac{\partial \vec{D}}{\partial t} \cdot \hat{n} ds = -\iint_S \vec{J} \cdot \hat{n} ds = -\iiint_V \nabla \cdot \vec{J} dV$$

teo. di Gauss della divergenza

so anche che:

$$\textcircled{2} \iint_S \frac{\partial \vec{D}}{\partial t} \cdot \hat{n} ds = \iiint_V \nabla \cdot \frac{\partial \vec{D}}{\partial t} \cdot \hat{n} ds = \frac{d}{dt} \iiint_V \nabla \cdot \vec{D} dV = \frac{d}{dt} \iiint_V \rho dV = \iiint_V \frac{\partial \rho}{\partial t} dV$$

$$\iint_S \vec{D} \cdot \hat{n} ds = \iint_{\Sigma} J_x d\Sigma$$

$$\iiint_V \nabla \cdot \vec{D} dV$$

$$\textcircled{1} + \textcircled{2} \Rightarrow \iint_S \frac{\partial \vec{D}}{\partial t} \cdot \hat{n} ds = \iiint_V \frac{\partial \rho}{\partial t} dV = -\iiint_V \nabla \cdot \vec{J} dV$$

$$\Rightarrow \nabla \cdot \vec{J} = -\frac{\partial \rho}{\partial t}$$

quindi la conservaz. della carica non è una eq. indipendente dalle altre

incognite nett. $\vec{E}, \vec{H}, \vec{D}, \vec{B}, \vec{J} \Rightarrow 15$ incognite scalari

2 eq. nett. indipendenti $\Rightarrow 6$ eq. scalari indipendenti
(quelle del rotore)

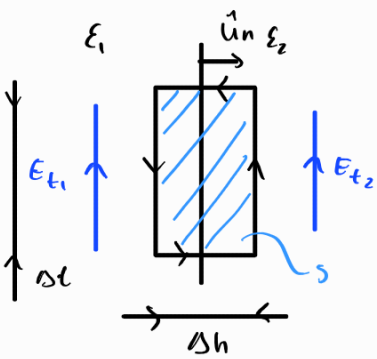
\hookrightarrow mancano 9 eq. scalari \Rightarrow si ricavano dalle relaz. costitutive del mezzo. In gen. sono abb. complicati

$$\Rightarrow \begin{cases} 3 \text{ eq. nett.} \\ 9 \text{ scalari} \end{cases} \begin{cases} \vec{D} = f_D(\vec{E}, \vec{H}) \\ \vec{B} = f_B(\vec{E}, \vec{H}) \\ \vec{J} = f_J(\vec{E}, \vec{H}) \end{cases} \xrightarrow{\text{mezzi lin., omogenei, isotropi}} \begin{cases} \vec{D} = \epsilon \vec{E} = \epsilon_0 \epsilon_r \vec{E} = \epsilon_0 (1 + \chi_E) \vec{E} \\ \vec{B} = \mu \vec{H} = \mu_0 \mu_r \vec{H} = \mu_0 (1 + \chi_m) \vec{H} \\ \vec{J} = \sigma \vec{E} \end{cases}$$

- (isotropo: ϵ scalare, non tensore)
- (omogeneo: ϵ cost. nel mezzo)
- (lineare: $\vec{D} \propto \vec{E}$)

condiz. al contorno

\vec{E}



$$\int_C \vec{E} \cdot d\vec{l} = -\frac{d}{dt} \iint_S \vec{B} \cdot \vec{u}_n ds$$

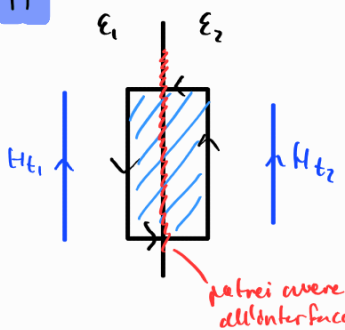
$$\text{se } \Delta h \rightarrow \emptyset, S \rightarrow \emptyset \Rightarrow \int_C \vec{E} \cdot d\vec{l} = \emptyset$$

$$\Rightarrow \Delta l E_{t1} - \Delta l E_{t2} = \emptyset \Rightarrow E_{1t} = E_{2t}$$

$$(\vec{u}_n \cdot (\vec{E}_1 - \vec{E}_2) = \emptyset)$$

come nel caso di regime statico la componente tangente del campo magnetico si conserva

\vec{H}



$$\int_C \vec{H} \cdot d\vec{l} = \frac{d}{dt} \iint_S \vec{D} \cdot \vec{u}_n ds + \iint_S \vec{J} \cdot \vec{u}_n ds$$

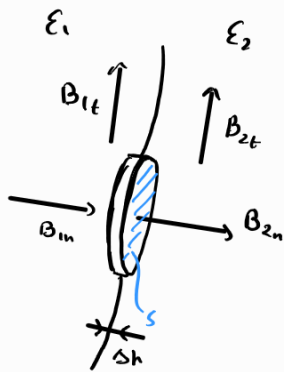
$\rightarrow \emptyset$ per $\Delta h \rightarrow \emptyset$ non è detto che $\rightarrow \emptyset$ perché potrei avere una densità sup. J_s all'interfaccia

$$\Rightarrow \Delta l H_{1t} - \Delta l H_{2t} = I \Rightarrow H_{1t} - H_{2t} = J_s$$

$$\uparrow [A/m]$$

come nel caso statico

\vec{B}

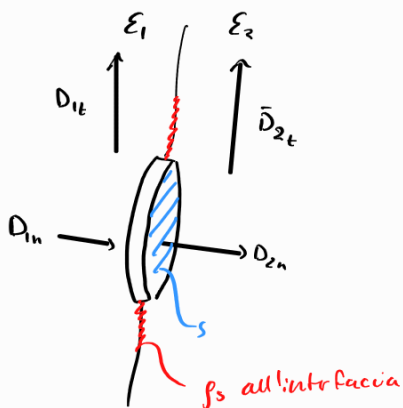


$$\iint_S \vec{B} \cdot \vec{u}_n dS = \phi$$

per $\Delta h \rightarrow 0$ trovo $-\Delta \cdot B_{1n} + \Delta B_{2n} = \phi$

$\Rightarrow B_{1n} = B_{2n}$ come nel caso statico la comp. \perp di \vec{B} si conserva

\vec{D}



$$\iint_S \vec{D} \cdot \vec{u}_n dS = \iiint_V \rho_{ext} dV = Q [C]$$

per $\Delta h \rightarrow 0$

$$\Rightarrow -D_{1n} \cdot S + D_{2n} \cdot S = Q \Rightarrow D_{2n} - D_{1n} = \rho_s [C/m^2]$$

se $\Delta h \rightarrow 0$ l'unico modo per avere carica è che ci sia densità sup. di carica all'interfaccia

alternativamente: per $\Delta h \rightarrow 0$ $\iiint_V \rho_{ext} dV \rightarrow \iint_S \rho_s dS$
(int. di volume diventa di sup.)

anche se $S \neq \phi$, è suff. piccola da poter considerare le grandezze in gioco localmente cost.

$$\hookrightarrow \iint_S \vec{D} \cdot \vec{u}_n dS = -D_{1n} \cdot S + D_{2n} \cdot S = \iint_S \rho_s dS = \rho_s \iint_S dS$$

$$\Rightarrow D_{2n} - D_{1n} = \rho_s$$

teo. di Poynting

vett. di Poynting: $\vec{S} = \vec{E} \times \vec{H}$ [W/m^2]

$$\iint_{\Sigma} \vec{S} \cdot \vec{u}_n d\Sigma = \iiint_V \nabla \cdot \vec{S} dV \Rightarrow \nabla \cdot \vec{S} = \nabla \cdot (\vec{E} \times \vec{H}) = \vec{H} \cdot \nabla \times \vec{E} - \vec{E} \cdot \nabla \times \vec{H} = \vec{H} \cdot \left(-\frac{\partial \vec{B}}{\partial t} \right) - \vec{E} \cdot \left(\frac{\partial \vec{D}}{\partial t} + \vec{j} \right)$$

teo. Gauss divergenza

$$\begin{cases} \nabla \times \vec{E} = -\frac{\partial \vec{B}}{\partial t} \\ \nabla \times \vec{H} = \frac{\partial \vec{D}}{\partial t} + \vec{j} \end{cases}$$

consideriamo una assenza di sorgenti

$$\hookrightarrow \vec{j} = \vec{j}_1 + \rho \vec{E} = \rho \vec{E} \quad \vec{j} \text{ è solo di cond.} = \rho \vec{E}$$

↑
l'impresca da un gen.

$$\begin{cases} \vec{H} = \frac{\vec{B}}{\mu} \\ \vec{D} = \epsilon \vec{E} \end{cases} \Rightarrow -\mu \vec{H} \cdot \frac{\partial \vec{H}}{\partial t} - \epsilon \vec{E} \cdot \frac{\partial \vec{E}}{\partial t} - \rho |\vec{E}|^2 = -\frac{\mu}{2} \frac{\partial |\vec{H}|^2}{\partial t} - \frac{\epsilon}{2} \frac{\partial |\vec{E}|^2}{\partial t} - \rho |\vec{E}|^2 = \iint_{\Sigma} \vec{S} \cdot \vec{u}_n d\Sigma = \iiint_V \nabla \cdot \vec{S} dV$$

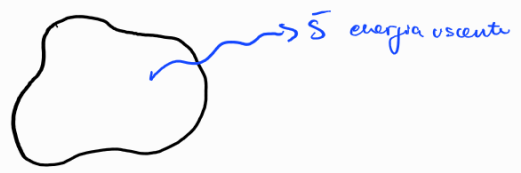
$$\left(\frac{\partial}{\partial t} [|\vec{H}|^2] = 2 \vec{H} \cdot \frac{\partial \vec{H}}{\partial t} \right)$$

$$\Rightarrow -\frac{\partial}{\partial t} \iiint_V \left[\frac{1}{2} \mu |\vec{H}|^2 + \frac{1}{2} \epsilon |\vec{E}|^2 \right] dV - \iiint_V \rho |\vec{E}|^2 dV = \iint_{\Sigma} \vec{S} \cdot \vec{u}_n d\Sigma$$

$$\Rightarrow -\frac{\partial}{\partial t} \iiint_V \left[\frac{1}{2} \mu |\vec{H}|^2 + \frac{1}{2} \epsilon |\vec{E}|^2 \right] dV = \underbrace{\iint_S \vec{S} \cdot \vec{u}_n d\vec{z}}_{\text{flusso netto Poynting}} + \underbrace{\iiint_V \rho \vec{E} dV}_{\text{potenza dissipata}}$$

energia immagazzinata
flusso netto Poynting
potenza dissipata

var. nel tempo dell'energia immagazzinata



• cioè il flusso uscente del vet. di Poynting (potenza irradiata dal volume) + potenza dissipata = diminuzione dell'energia immagazzinata

eq. Maxwell in assenza di sorgenti

$$\begin{cases} \nabla \times \vec{E} = -\frac{\partial \vec{B}}{\partial t} \\ \nabla \times \vec{H} = \frac{\partial \vec{D}}{\partial t} + \vec{j} \\ \nabla \cdot \vec{D} = \rho \\ \nabla \cdot \vec{B} = 0 \\ \nabla \cdot \vec{j} = -\frac{\partial \rho}{\partial t} \end{cases} \Rightarrow \begin{cases} \nabla \times \vec{E} = -\frac{\partial \vec{B}}{\partial t} \\ \nabla \times \vec{H} = \frac{\partial \vec{D}}{\partial t} + \vec{j} \\ \nabla \cdot \vec{D} = 0 \\ \nabla \cdot \vec{B} = 0 \\ \nabla \cdot \vec{j} = 0 \end{cases}$$

$$\nabla \times \vec{E} = -\frac{\partial \vec{B}}{\partial t} \Rightarrow \nabla \times \nabla \times \vec{E} = \nabla \times \frac{\partial \vec{D}}{\partial t} = \mu \frac{\partial}{\partial t} [\nabla \times \vec{H}] \Rightarrow -\nabla^2 \vec{E} = -\mu \frac{\partial}{\partial t} [\frac{\partial \vec{D}}{\partial t} + \vec{j}]$$

$$\Rightarrow +\nabla^2 \vec{E} = +\mu \frac{\partial^2 \vec{D}}{\partial t^2} + \mu \frac{\partial \vec{j}}{\partial t}$$

$$\Rightarrow \nabla^2 \vec{E} = \mu \epsilon \frac{\partial^2 \vec{E}}{\partial t^2} + \mu \sigma \frac{\partial \vec{E}}{\partial t}$$

$$\begin{cases} \nabla \times \vec{H} = \frac{\partial \vec{D}}{\partial t} + \vec{j} \\ \nabla \times \vec{E} = -\nabla^2 \vec{E} \end{cases}$$

$\sigma \neq 0 \Rightarrow$ mezzo non ideale \Rightarrow sol.

\Rightarrow (mezzi ideali) $\Rightarrow \nabla^2 \vec{E} = \mu \epsilon \frac{\partial^2 \vec{E}}{\partial t^2}$ equaz. di Helmholtz (delle onde)

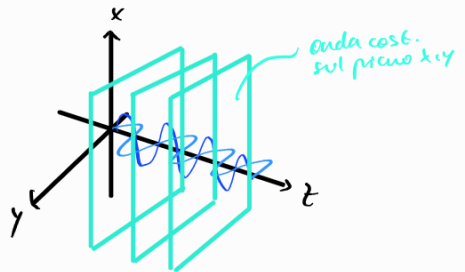
$$E(x, y, z, t) \begin{cases} E_x(x, y, z, t) \\ E_y(x, y, z, t) \\ E_z(x, y, z, t) \end{cases}$$

$$\Rightarrow \nabla^2 \vec{E} = \mu \epsilon \frac{\partial^2 \vec{E}}{\partial t^2} \quad \begin{cases} \frac{\partial^2 E_x}{\partial x^2} + \frac{\partial^2 E_x}{\partial y^2} + \frac{\partial^2 E_x}{\partial z^2} = \mu \epsilon \frac{\partial^2 E_x}{\partial t^2} \\ \frac{\partial^2 E_y}{\partial x^2} + \frac{\partial^2 E_y}{\partial y^2} + \frac{\partial^2 E_y}{\partial z^2} = \mu \epsilon \frac{\partial^2 E_y}{\partial t^2} \\ \frac{\partial^2 E_z}{\partial x^2} + \frac{\partial^2 E_z}{\partial y^2} + \frac{\partial^2 E_z}{\partial z^2} = \mu \epsilon \frac{\partial^2 E_z}{\partial t^2} \end{cases} \quad \nabla^2 = \left(\frac{\partial^2}{\partial x^2} + \frac{\partial^2}{\partial y^2} + \frac{\partial^2}{\partial z^2} \right)$$

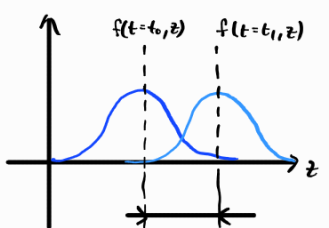
Una possibile sol. \Rightarrow onda piana uniforme

onda piana uniforme

piana: \vec{E} e \vec{H} giacciono su piani //
uniforme: \vec{E} e \vec{H} sono cost. sui piani



• onde: una perturbaz. che viaggia



$$f(z, t) = f\left(t - \frac{z}{v}\right) \quad x = t - z/v$$

affine i val. della funz. coincidano, devono coincidere anche gli argomenti \Rightarrow cioè: $f(x_1) = K, f(x_2) = K \Leftrightarrow x_1 = x_2$

\downarrow onda progressiva, viaggia verso z

$$\Rightarrow E(x, y, z, t) = E(z, t) = E^+(t - z/v) \quad \text{onda piana uniforme cost.}$$

vediamo se (l'onda piana uniforme) soddisfa l'eq. di Helmholtz

$$\begin{cases} \frac{\partial^2 E_x}{\partial x^2} + \frac{\partial^2 E_x}{\partial y^2} + \frac{\partial^2 E_x}{\partial z^2} = \mu \epsilon \frac{\partial^2 E_x}{\partial t^2} \\ \frac{\partial^2 E_y}{\partial x^2} + \frac{\partial^2 E_y}{\partial y^2} + \frac{\partial^2 E_y}{\partial z^2} = \mu \epsilon \frac{\partial^2 E_y}{\partial t^2} \\ \frac{\partial^2 E_z}{\partial x^2} + \frac{\partial^2 E_z}{\partial y^2} + \frac{\partial^2 E_z}{\partial z^2} = \mu \epsilon \frac{\partial^2 E_z}{\partial t^2} \end{cases} \Rightarrow \frac{\partial^2 E}{\partial z^2} = \mu \epsilon \frac{\partial^2 E}{\partial t^2}$$

$$E = E(t - z/v) \Rightarrow \frac{-1}{v} \cdot \frac{-1}{v} \cdot E'' = \mu \epsilon E'' \Rightarrow \frac{1}{v^2} E'' = \mu \epsilon E''$$

$$\text{verificata } (\Leftrightarrow) v^2 = \frac{1}{\mu \epsilon} \Rightarrow v = \frac{1}{\sqrt{\mu \epsilon}} \quad \text{nel vuoto } \begin{cases} \mu = \mu_0 \\ \epsilon = \epsilon_0 \end{cases} \Rightarrow v = c = \frac{1}{\sqrt{\mu_0 \epsilon_0}}$$

onde piane trasverse elettromagnetiche (TEM)

$$\nabla \times \vec{E} = \begin{vmatrix} \hat{u}_x & \hat{u}_y & \hat{u}_z \\ \frac{\partial}{\partial x} & \frac{\partial}{\partial y} & \frac{\partial}{\partial z} \\ E_x & E_y & E_z \end{vmatrix} = \left(\frac{\partial E_z}{\partial y} - \frac{\partial E_y}{\partial z} \right) \hat{u}_x + \left(\frac{\partial E_x}{\partial z} - \frac{\partial E_z}{\partial x} \right) \hat{u}_y + \left(\frac{\partial E_y}{\partial x} - \frac{\partial E_x}{\partial y} \right) \hat{u}_z$$

$$\begin{cases} \nabla \times \vec{E} = -\mu \frac{\partial \vec{H}}{\partial t} \\ \nabla \times \vec{H} = \epsilon \frac{\partial \vec{E}}{\partial t} \end{cases}$$

$\vec{E}(z,t)$ onda piana = $\vec{E}^+(t - \frac{z}{v}) + \vec{E}^-(t + \frac{z}{v})$ costante s.l. piano xy
onda progressiva onda regressiva

$$\nabla \times \vec{E} = \left(\frac{\partial E_x}{\partial y} - \frac{\partial E_y}{\partial z} \right) \hat{u}_x + \left(\frac{\partial E_x}{\partial z} - \frac{\partial E_z}{\partial x} \right) \hat{u}_y + \left(\frac{\partial E_y}{\partial x} - \frac{\partial E_x}{\partial y} \right) \hat{u}_z$$

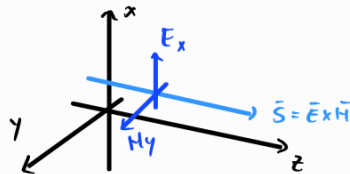
$$= -\frac{\partial E_y}{\partial z} \hat{u}_x + \frac{\partial E_x}{\partial z} \hat{u}_y$$

$\Rightarrow \nabla \times \vec{E} = -\mu \frac{\partial \vec{H}}{\partial t} \Rightarrow \begin{cases} -\frac{\partial E_y}{\partial z} = \frac{\partial H_x}{\partial t} & \text{eq. con coppia } E_y, H_x \\ \frac{\partial E_x}{\partial z} = \frac{\partial H_y}{\partial t} & \text{eq. con coppia } E_x, H_y \\ \phi = \mu \frac{\partial H_z}{\partial t} \end{cases}$

$\nabla \times \vec{H} = \left(\frac{\partial H_x}{\partial y} - \frac{\partial H_y}{\partial z} \right) \hat{u}_x + \left(\frac{\partial H_y}{\partial z} - \frac{\partial H_z}{\partial x} \right) \hat{u}_y + \left(\frac{\partial H_z}{\partial x} - \frac{\partial H_x}{\partial z} \right) \hat{u}_z$ (considero sempre un'onda piana)

$\Rightarrow \nabla \times \vec{H} = \epsilon \frac{\partial \vec{E}}{\partial t} \Rightarrow \begin{cases} -\frac{\partial H_y}{\partial z} = \frac{\partial E_x}{\partial t} & \text{eq. con coppia } E_x, H_y \\ \frac{\partial H_x}{\partial z} = \frac{\partial E_y}{\partial t} & \text{eq. con coppia } E_y, H_x \\ \phi = \frac{\partial E_z}{\partial t} \end{cases}$

- le componenti z di \vec{H} e \vec{E} , H_z e E_z sono o nulle o costanti: in ogni caso non ci interessano perché non hanno dipendenza dal tempo e non sono quindi onde
- le coppie E_x, H_y e E_y, H_x sono indipendenti fra loro \Rightarrow ragioneremo sulla coppia E_x, H_y , tanto poi quello che deduciamo su E_x, H_y sarà valido anche per E_y, H_x
- \vec{E}, \vec{H} sono \perp nello spazio e complementari



$$\frac{\partial E_x}{\partial z} = -\mu \frac{\partial H_y}{\partial t}$$

$E^+(t - \frac{z}{v}) \Rightarrow \frac{1}{v} E^+(t - \frac{z}{v}) = -\mu \frac{\partial H_y^+}{\partial t} \Rightarrow H_y^+(z,t) = \frac{1}{\mu v} E_x^+(t - \frac{z}{v}) + k$
 \uparrow costante magnetostatica che posso = 0

$\Rightarrow H_y = \frac{1}{\mu v} E_x \Rightarrow \frac{E_x}{H_y} = \mu v = \mu \cdot \frac{1}{\epsilon v} = \sqrt{\frac{\mu}{\epsilon}} =: \eta$ $[\eta] = \frac{[V/m]}{[A/m]} = [V/A]$ Impedenza intrinseca del mezzo

$\eta_0 (\mu = \mu_0, \epsilon = \epsilon_0) = 377 \Omega$

\Rightarrow val. costanti, non complessi
 $\hookrightarrow \vec{E}$ e \vec{H} sono in fase nel tempo



andamento sinusoidale

- consideriamo un andamento sinusoidale (potrebbero esserci anche altri andamenti)
- studiamo la componente progressiva

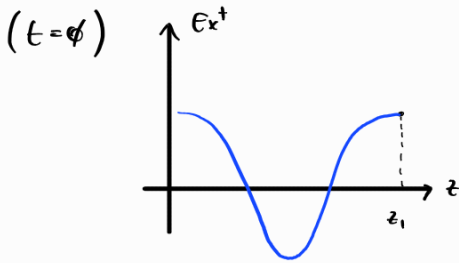
$$E_x^+(t-z/c) = A \cos[\omega(t-z/c)] = A \cos(\omega t - \frac{\omega}{c} z) = A \cos(\omega t - \beta z) \quad [V/m]$$

cost. di propagaz.

$$\mu \frac{\partial H_y}{\partial t} = -\frac{\partial E_x}{\partial z} = -(-A \sin(\omega t - \beta z) \cdot (-\beta)) \Rightarrow H_y^+(t, z) = A\beta \cdot (-\cos(\omega t - \beta z)) \cdot \frac{1}{\omega\mu} = A \cdot \left(\frac{\beta}{\omega\mu}\right) \cos(\omega t - \beta z) \quad [A/m]$$

$$H_y^+(t, z) = \frac{A}{\eta} \cos(\omega t - \beta z)$$

$$\frac{\beta}{\omega\mu} = \frac{\omega/c}{\omega\mu} = \frac{1}{c\mu} = \frac{\sqrt{\mu\epsilon}}{\mu} = \sqrt{\epsilon/\mu} = \frac{1}{\eta}$$



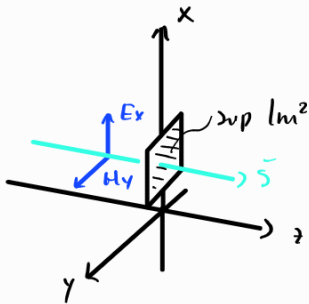
fase in z_1 fase dopo un periodo

$$\beta \cdot z_1 = 0 + 2\pi$$

↑
fase iniziale

$$\Rightarrow z_1 = 2\pi/\beta = \frac{2\pi}{\omega} c = \frac{2\pi c}{\omega} = \frac{c}{\nu} = \lambda$$

$$\Rightarrow \beta = 2\pi/\lambda$$



$$\bar{S} = \bar{E} \times \bar{H} = \left[A \cos(\omega t) \cdot \frac{A}{\eta_0} \cos(\omega t) \right] \hat{u}_z = \frac{A^2}{\eta_0} \cos^2(\omega t) \hat{u}_z \quad [W/m^2]$$

vett. Poynting istantaneo

(un po' in $z=0$ per comodità)

$$S_{medio} = \frac{1}{T} \int_0^T \frac{A^2}{\eta_0} \cos^2(\omega t) dt \quad \text{se la media int. } \neq \emptyset \Rightarrow \text{ vuol dire che in media c'è un flusso netto di potenza lungo l'asse z}$$

$$T = \frac{1}{\nu} = \frac{2\pi}{\omega}$$

$$\Rightarrow \frac{\omega}{2\pi} \int_0^{2\pi/\omega} \frac{A^2}{\eta_0} \cos^2(\omega t) dt \quad \left[\begin{array}{l} \omega t = x \\ dt \cdot \omega = dx \end{array} \right] \Rightarrow \frac{\omega}{2\pi} \cdot \frac{A^2}{\eta_0} \int_0^{2\pi} \cos^2 x dx = \frac{A^2}{2\pi\eta_0} \int_0^{2\pi} \cos^2 x dx = \frac{A^2}{2\pi\eta_0} \cdot \pi = \frac{1}{2} \frac{A^2}{\eta_0}$$

analogia con correnti e tensioni:

$$\left\{ \begin{array}{l} v(t) = A \cos(\omega t) \\ i(t) = \frac{v(t)}{R} \end{array} \right. \Rightarrow p(t) = v(t) \cdot i(t) = A^2 \cos^2(\omega t) \cdot \frac{1}{R} \Rightarrow P_{medio} = \frac{1}{2} \frac{A^2}{R}$$

potemo arrivare alla stessa conclusione considerando:

$$\bar{S} = \bar{E} \times \bar{H} = \frac{A^2}{\eta_0} \cos^2(\omega t) = \frac{A^2}{\eta_0} \left[\frac{1}{2} + \frac{1}{2} \cos(2\omega t) \right] \Rightarrow S_{medio} = \frac{1}{2} \frac{A^2}{\eta_0}$$

componente in continua

↓

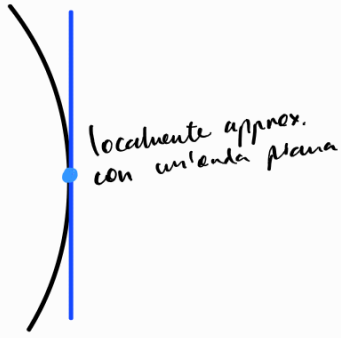
val. medio su un periodo = 0

$$\cos^2 x = \frac{1}{2} + \frac{1}{2} \cos(2x)$$

$$\Rightarrow \bar{S}_{medio} = \frac{1}{2} \frac{A^2}{\eta_0} \quad [W/m^2]$$

- da questo risultato deduciamo che \bar{S} (onda piana nella realtà)
- ↳ se dovessi integrare \bar{S}_{medio} su un piano (quindi all'infinito) otterrei una potenza ∞

• è comunque utile studiare perché sono una buona approx. del mondo reale



regime sinusoidale (dominio dei fasori)

$$v(t) = A \cos(\omega t + \varphi) = \text{Re} [A e^{j\omega t} \cdot e^{j\varphi}] \Rightarrow V = A e^{j\varphi}$$

↑ fasore

$$\frac{\partial}{\partial t} \Leftrightarrow \cdot j\omega \quad \text{derivaz. rispetto al tempo} \quad \Leftrightarrow \text{multiplicaz. per } j\omega \quad \left(\frac{\partial}{\partial t} \underbrace{A e^{j(\omega t + \varphi)}}_{f(t)} = j\omega \underbrace{A e^{j(\omega t + \varphi)}}_{f(t)} = j\omega f(t) \right)$$

(assenza di sorgenti)

$$\begin{cases} \nabla \times \bar{E} = -\mu \frac{\partial \bar{H}}{\partial t} \\ \nabla \times \bar{H} = \epsilon \frac{\partial \bar{E}}{\partial t} + \bar{J} \\ \nabla \cdot \bar{E} = \rho \\ \nabla \cdot \bar{H} = \bar{J} \\ \nabla \cdot \bar{J} = \rho \end{cases} \Rightarrow \begin{cases} \nabla \times \bar{E} = -j\omega \mu \bar{H} \\ \nabla \times \bar{H} = j\omega \epsilon \bar{E} + \bar{J} \end{cases}$$

$$\nabla \times \nabla \times \bar{E} = \nabla \times (-j\omega \mu \bar{H}) = -j\omega \mu \nabla \times \bar{H} = -j\omega \mu (j\omega \epsilon \bar{E} + \bar{J})$$

$$\nabla(\nabla \cdot \bar{E}) - \nabla^2 \bar{E} = (\omega^2 \mu \epsilon - j\omega \mu \bar{J}) \bar{E}$$

$$\Rightarrow \nabla^2 \bar{E} = (j\omega \mu \bar{J} - \omega^2 \mu \epsilon) \bar{E} \Rightarrow \nabla^2 \bar{E} = \gamma^2 \bar{E} \quad \text{eq. di Helmholtz (delle onde)}$$

con $\gamma^2 = -\omega^2 \mu \epsilon + j\omega \mu \bar{J}$ \hookrightarrow lo risolvo nel dom. di fasori, l'ho ricavata considerando l'onda piana come exp. complesso

oss. $\bar{J} \neq \emptyset$!! sto considerando anche mezzi non ideali, adesso riesco a risolvere l'eq. anche in presenza di perdite

considero: onda piana uniforme $\Rightarrow \bar{E} = \bar{E}(z)$

~~$$\frac{\partial^2}{\partial x^2} + \frac{\partial^2}{\partial y^2} + \frac{\partial^2}{\partial z^2} \Rightarrow \frac{\partial^2 \bar{E}}{\partial z^2} = \gamma^2 \bar{E}$$~~

$$\bar{E}(z) = \begin{cases} E_x(z) \hat{u}_x \\ E_y(z) \hat{u}_y \\ E_z(z) \hat{u}_z \end{cases}$$

$$\bar{E}(z) = \bar{E}^+(\varphi) e^{-\gamma z} + \bar{E}^-(\varphi) e^{+\gamma z} \quad (\text{considero solo la progressiva per semplicità})$$

γ : costante di propagaz. [1/m]

$$\gamma = \sqrt{-\omega^2 \mu \epsilon + j\omega \mu \bar{J}} = \alpha + j\beta \quad [1/m]$$

$$\nabla \times \bar{E} = \frac{\partial E_x}{\partial z} \hat{u}_y - \frac{\partial E_y}{\partial z} \hat{u}_x = -j\omega \mu \bar{H} \Rightarrow \begin{cases} H_x = \frac{1}{j\omega \mu} \frac{\partial E_y}{\partial z} \\ H_y = \frac{-1}{j\omega \mu} \frac{\partial E_x}{\partial z} \end{cases}$$

$$\frac{-1}{j\omega \mu} \cdot \frac{\partial}{\partial z} (E_x^+(\varphi) e^{-\gamma z}) = \frac{\gamma}{j\omega \mu} \cdot E_x^+(\varphi) \cdot e^{-\gamma z} = \frac{\gamma}{j\omega \mu} E_x^+(z) = H_y^+(z)$$

$$\frac{E_x^+}{H_y^+} = \frac{j\omega\mu}{\gamma} = \eta \quad [\Omega]$$

complessa! Potrebbe esserci sfasamento tra E e H . Questo sfasamento è dovuto alla presenza / consideraz. delle perdite

$$E_x^+(z) = E_x^+(\phi) e^{-\gamma z} = E_x^+(\phi) e^{-\alpha z} e^{-j\beta z}$$

(ritorno nel dom. del tempo)

$$\uparrow$$

$$\gamma = \alpha + j\beta$$

$$\rightarrow \operatorname{Re} [E_x^+(z) e^{j\omega t}] = \operatorname{Re} [E_x^+(\phi) e^{\alpha z} e^{-j\beta z} e^{j\omega t}] = \operatorname{Re} [|E_x^+(\phi)| e^{j\phi} e^{-\alpha z} e^{-j\beta z} e^{j\omega t}] = |E_x^+(\phi)| e^{-\alpha z} \cdot \cos(\omega t - \beta z + \phi)$$

\uparrow fase
 \uparrow modulo del fasore

$$\Rightarrow E_x^+(z, t) = |E_x^+(\phi)| e^{-\alpha z} \cdot \cos(\omega t - \beta z + \phi)$$

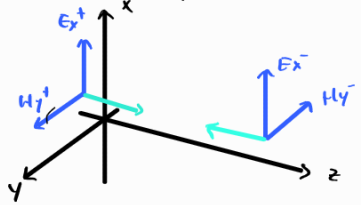
α : cost. di attenuaz. $\neq \phi$ nei mezzi con perdite $[\text{1/m}]$ o $[\frac{\text{Np}}{\text{m}}]$

β : cost. di fase $= \frac{2\pi}{\lambda}$ $[\text{1/m}]$ o $[\frac{\text{rad}}{\text{m}}]$

$$\nabla^2 \vec{E} = \gamma^2 \vec{E} \quad \text{con } \gamma^2 = -\omega^2 \mu \epsilon + j\omega \mu \sigma$$

$$\begin{cases} E_x(z) = E_x^+(z) + E_x^-(z) = E_x(0)e^{-\gamma z} + E_x^+(0)e^{+\gamma z} \\ H_y(z) = \frac{E_x^+(z)}{\eta} - \frac{E_x^-(z)}{\eta} \end{cases} \quad \left(\frac{E_x}{H_y} = \eta, \text{ con } \eta = \frac{j\omega \mu}{\gamma} \right)$$

Il segno meno serve per far valere la regola della mano destra



mezzi ideali

- mezzi ideali \Rightarrow senza perdite $\Rightarrow \sigma = 0$
- ϵ e μ reali

$$\gamma^2 = -\omega^2 \mu \epsilon \Rightarrow \gamma = \sqrt{-\omega^2 \mu \epsilon} \Rightarrow \gamma = +j\omega \sqrt{\mu \epsilon} = +j2\pi f \sqrt{\mu \epsilon} = +j2\pi f \cdot \frac{1}{c} = +j2\pi \frac{1}{\lambda} = +j\beta \Rightarrow \gamma = j\beta \text{ nei mezzi ideali}$$

$\beta = \frac{2\pi}{\lambda}$

$$\Rightarrow E_x^+(z) = E_x^+(0)e^{-j\beta z} \quad \text{se } \sigma = 0$$

Prendo il segno + perché $E_x^+(z) = E_x^+(0)e^{-\gamma z}$. Se γ fosse con un'altra parte reale $E_x^+(z) = E_x^+(0)e^{\gamma z}$ ma questo equivarrebbe a dire un anticipo di fase che non avrebbe senso perché non manco che mi allontano dalla sorgente ho un anticipo di fase

$$\eta = \frac{j\omega \mu}{j\omega \sqrt{\mu \epsilon}} \Rightarrow \eta = \sqrt{\frac{\mu}{\epsilon}}$$

$\hookrightarrow \frac{E_x^+}{H_y^+} = \eta \Rightarrow E$ e H sono in fase nei mezzi ideali

conduttori

buon conduttore: $\omega \mu \sigma \gg \omega^2 \mu \epsilon \Rightarrow \sigma \gg \omega \epsilon$

\uparrow \uparrow
 $|\text{Im}[\gamma^2]|$ $|\text{Re}[\gamma^2]|$

$$\hookrightarrow \gamma^2 \sim j\omega \mu \sigma \Rightarrow \gamma = \sqrt{j} \cdot \sqrt{\omega \mu \sigma} = \frac{\sqrt{2}}{2} \sqrt{\omega \mu \sigma} \cdot (1+j) = \alpha + j\beta$$

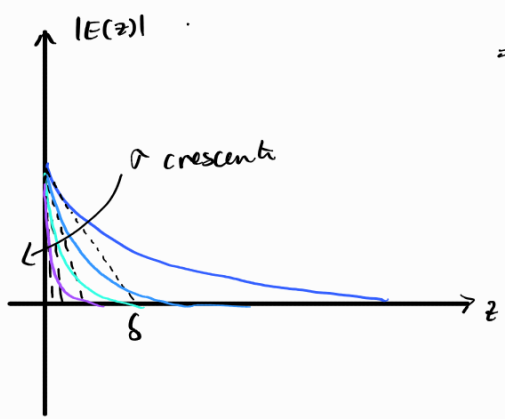
$$\left. \begin{aligned} z^n &= \rho^n [\cos(n\alpha) + js \sin(n\alpha)] \\ z &= \alpha + j\beta \\ \text{(de Moivre)} \end{aligned} \right\} \Rightarrow \begin{aligned} j &= 1 \cdot [\cos(\frac{\pi}{2}) + js \sin(\frac{\pi}{2})] \\ j^{1/2} &= 1 \cdot [\cos(\frac{\pi}{4}) + js \sin(\frac{\pi}{4})] = \frac{\sqrt{2}}{2} (1+j) \end{aligned}$$

$$\Rightarrow \gamma = \frac{\sqrt{2}}{2} \sqrt{\omega \mu \sigma} \cdot (1+j) = \alpha + j\beta \quad \text{in un buon conduttore}$$

$$\alpha = \beta = \frac{\sqrt{2}}{2} \sqrt{\omega \mu \sigma} = \frac{1}{\sqrt{2}} \sqrt{\omega \mu \sigma} = \sqrt{\frac{\omega \mu \sigma}{2}} = \sqrt{\frac{2\pi f \mu \sigma}{2}} = \sqrt{\pi f \mu \sigma} \Rightarrow \alpha = \sqrt{\pi f \mu \sigma}$$

$$E_x^+(z) = E_x^+(0)e^{-\gamma z} = E_x^+(0) \cdot e^{-(\alpha + j\beta)z} = E_x^+(0) \cdot e^{-\alpha z} \cdot e^{-j\beta z}$$

termine di attenuazione $= e^{-\frac{1}{\delta} z}$
 termine oscillante nello spazio



$$\delta = \frac{1}{\alpha} = \frac{1}{\sqrt{\pi f \mu \sigma}} \quad \text{spessore pelle}$$

se $\sigma \rightarrow \infty$ (caso conduttore ideale)

allora $\Rightarrow \delta \rightarrow 0 \Rightarrow$ i conduttori sono impenetrabili da onde EM

$$\beta = \frac{2\pi}{\lambda} = \frac{2\pi}{v \cdot T} = \frac{2\pi \nu}{v} \Rightarrow \frac{2\pi \nu}{v} = \beta \Rightarrow \frac{\omega}{v} = \beta \Rightarrow v = \frac{\omega}{\beta} = c \nu \delta$$

($\delta = \frac{1}{\alpha}$ ma $\alpha = \beta$)

- In un buon conduttore $v \ll c$. Ciò che causa questo rallentamento è il fatto che l'onda cede dell'energia per far scorrere la corrente indotta da essa

$$\eta = \frac{Z_0 \mu}{\gamma} = \frac{Z_0 \mu}{\sqrt{\pi \sigma \mu \nu} (1+\beta)} \cdot \frac{(1-\beta)}{(1-\beta)} = \frac{Z_0 \mu + \omega \mu}{2 \sqrt{\pi \sigma \mu \nu}} = \frac{\omega \mu (1+\beta)}{2 \sqrt{\pi \sigma \mu \nu}} = (1+\beta) \cdot \frac{Z_0 \nu \mu}{\sqrt{4 \pi \sigma \mu \nu}} \Rightarrow \eta = (1+\beta) \sqrt{\frac{\pi \nu \mu}{\sigma}}$$

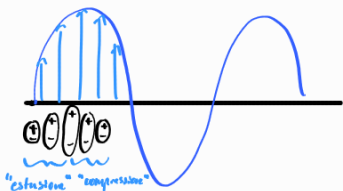
nei conduttori ($\sigma \neq 0$, ho perdite)

$$\Rightarrow \angle |\eta| = 45^\circ$$

- E e H sono sfasati: oscillano sempre alla stessa freq. Rimangono anche \perp nello spazio ma sfasati nel tempo

mezzi con perdite (nei dielettrici)

- pensiamo a una molla che oscilla. In presenza di attrito ho delle perdite di energia. L'analogo succede nei dielettrici: dove i dipoli indotti si "comprimono" e si "estendono" come molla



$$D = \epsilon E$$

$$D = (\epsilon' - j\epsilon'') E \quad (\text{nel dom. di fasori})$$

↳ segno - indica un ritardo dell'effetto rispetto la causa. (se ho un attrito vedo l'effetto rispetto la causa con un certo ritardo). La presenza di j mi indica lo sfasamento, segno - è il ritardo

$$E = \epsilon' - j\epsilon'' \Rightarrow \text{Im}[\epsilon] = \epsilon'' \text{ è il contributo che tiene conto delle perdite}$$

$\Rightarrow E$ e μ complesse

$$\gamma = \sqrt{-\omega^2 \mu \epsilon + j\omega \mu \sigma}$$

comple

hp: caso particolare σ finita, $\epsilon = \epsilon' - j\epsilon''$, e assumiamo perdite solo nei dielettrici $\Rightarrow \mu$ reale)

$$\hookrightarrow \gamma^2 = -\omega^2 \mu (\epsilon' - j\epsilon'') + j\omega \mu \sigma = -\omega^2 \mu \epsilon' + j\omega^2 \mu \epsilon'' + j\omega \mu \sigma = -\omega^2 \mu \epsilon' + j\omega \mu (\underbrace{\omega \epsilon'' + \sigma}_{\sigma_{eq}})$$

$$\Rightarrow \gamma^2 = -\omega^2 \mu \epsilon' + j\omega \mu \sigma_{eq} \quad \text{nei dielettrici (con perdite solo nei dielettrici)}$$

$$\sigma_{eq} = \omega \epsilon'' + \sigma \quad \text{conduttività equivalente}$$

- il termine $\omega \epsilon''$ tiene appunto conto delle perdite e si "comporta" da conduttività.
- dipende da ω ! \Rightarrow più è grande ω , più oscillano i dipoli, più perdite ho per via dell'attrito
- \hookrightarrow ad alta freq. sono dominanti le perdite nel dielettrico, non nel conduttore

vettore di Poynting (dominio dei fasori)

- In def. $\vec{S} = \vec{E} \times \vec{H}$ nel dominio dei fasori non va più bene
- \vec{S} è il risultato di un prodotto \Rightarrow non è isofrequenziale con \vec{E} e \vec{H}

(analisi con corrente estensione: $v(t) \cdot i(t) = p(t)$ nel tempo
 $\frac{1}{2} V \cdot I^* = P$ nei fasori (non è semplicemente $V \cdot I$))

• serve una nuova def. di \vec{S} nel dom. dei fasori: $\vec{S} = \frac{1}{2} \vec{E} \times \vec{H}^*$

• dimostreremo che $\vec{S}_{\text{medio}} = \frac{1}{T} \int_0^T \vec{S}(t) dt = \text{Re}[\vec{S}] = \frac{1}{2} \text{Re}[\vec{E} \times \vec{H}^*]$

\uparrow densità di
potenza media
su un periodo

$$\text{Re}[z] = \frac{1}{2} [z + z^*] = \frac{1}{2} [\text{Re}[z] + j\text{Im}[z] + \text{Re}[z] - j\text{Im}[z]] = \text{Re}[z]$$

notazioni: $\begin{cases} \vec{E} = E \text{ nel dom. del tempo} = \text{Re}[\underline{\vec{E}} e^{j\omega t}] = \frac{1}{2} \{ \underline{\vec{E}} e^{j\omega t} + \underline{\vec{E}}^* e^{-j\omega t} \} \\ \vec{h} = H \text{ nel dom. del tempo} = \text{Re}[\underline{\vec{H}} e^{j\omega t}] = \frac{1}{2} \{ \underline{\vec{H}} e^{j\omega t} + \underline{\vec{H}}^* e^{-j\omega t} \} \end{cases}$
fasori

nel dom. del tempo: $\vec{S} = \vec{E} \times \vec{h} = \frac{1}{4} \left\{ \underline{\vec{E}} e^{j\omega t} \times \underline{\vec{H}} e^{j\omega t} + \underline{\vec{E}} e^{j\omega t} \times \underline{\vec{H}}^* e^{-j\omega t} + \underline{\vec{E}}^* e^{-j\omega t} \times \underline{\vec{H}} e^{j\omega t} + \underline{\vec{E}}^* e^{-j\omega t} \times \underline{\vec{H}}^* e^{-j\omega t} \right\}$

$$= \frac{1}{4} \left\{ \underline{\vec{E}} \times \underline{\vec{H}} e^{j2\omega t} + \underline{\vec{E}} \times \underline{\vec{H}}^* + \underline{\vec{E}}^* \times \underline{\vec{H}} e^{-j2\omega t} + \underline{\vec{E}}^* \times \underline{\vec{H}}^* e^{-j2\omega t} \right\}$$

$$\begin{cases} \underline{\vec{A}} = \underline{\vec{E}} \times \underline{\vec{H}}^* \\ \underline{\vec{B}} = \underline{\vec{E}}^* \times \underline{\vec{H}} \end{cases} \Rightarrow \vec{S} = \vec{E} \times \vec{h} = \frac{1}{4} \{ \underline{\vec{A}} + \underline{\vec{A}}^* \} + \frac{1}{4} \{ \underline{\vec{B}} e^{j2\omega t} + \underline{\vec{B}}^* e^{-j2\omega t} \}$$

$$= \frac{1}{2} \text{Re}[\underline{\vec{A}}] + \frac{1}{2} \text{Re}[\underline{\vec{B}} e^{j2\omega t}]$$

$$= \frac{1}{2} \text{Re}[\underline{\vec{E}} \times \underline{\vec{H}}^*] + \frac{1}{2} \text{Re}[\underline{\vec{E}} \times \underline{\vec{H}} \cdot e^{j2\omega t}]$$

non dipende dal tempo (\vec{E}, \vec{H} fasori) $\text{Re}[e^{j2\omega t}]$ è un coseno

$$\Rightarrow P_m = \frac{1}{T} \int_0^T \vec{S}(t) dt = \frac{1}{2} \text{Re}[\underline{\vec{E}} \times \underline{\vec{H}}^*] + \phi$$

coseno mediato su un periodo

val. cost., non dipende da T

$$= \frac{1}{2} \text{Re}[\underline{\vec{E}} \times \underline{\vec{H}}^*] \Rightarrow \vec{S}_{\text{medio}} = \frac{1}{2} \text{Re}[\underline{\vec{E}} \times \underline{\vec{H}}^*] \text{ nei fasori}$$

flusso di densità di potenza

• considero E_x, H_y (onda piana uniforme)

$$\begin{cases} E_x(z) = E_x^+(0) e^{-\alpha z} \cdot e^{-j\beta z} + E_x^-(0) e^{\alpha z} \cdot e^{j\beta z} \\ H_y(z) = \frac{E_x^+(0)}{\eta} \cdot e^{-\alpha z} \cdot e^{-j\beta z} - \frac{E_x^-(0)}{\eta} \cdot e^{\alpha z} \cdot e^{j\beta z} \end{cases}$$

$$\bar{S}_m = \frac{1}{2} \operatorname{Re} [\bar{E} \times \bar{H}^*] = \frac{1}{2} \operatorname{Re} [E_x(z) \cdot H_y^*(z)] \hat{u}_z$$

$E_x \perp H_y$

$$H_y^*(z) = \frac{E_x^+(0)^*}{\eta^*} e^{-\alpha z} e^{j\beta z} - \frac{E_x^-(0)^*}{\eta^*} e^{\alpha z} e^{-j\beta z} \quad (H_y = \frac{E_x}{\eta}, E_x = E_x^+(0) e^{-\alpha z} e^{-j\beta z} + E_x^-(0) e^{\alpha z} e^{j\beta z})$$

onda regressiva, $z < 0$

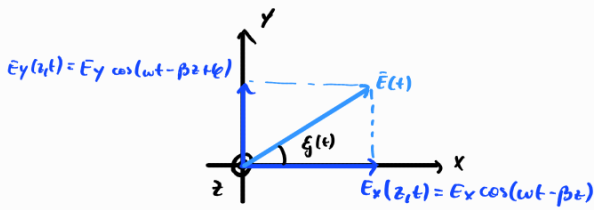
si ricava che:

$$\Rightarrow \bar{S}_m = \frac{1}{2} \left[\underbrace{\frac{|E_x^+(0)|^2}{|\eta|} e^{-2\alpha z} \cdot \cos \alpha \eta}_{\text{densità di pot. media trasportata dall'onda progressiva}} - \underbrace{\frac{|E_x^-(0)|^2}{|\eta|} e^{2\alpha z} \cdot \cos \alpha \eta}_{\text{densità pot. media trasportata dall'onda regressiva (ergo il segno negativo)}} - 2 \underbrace{\frac{|E_x^+(0)| \cdot |E_x^-(0)|}{|\eta|} \cdot \sin(2\beta z + \varphi_{E_x^-(0)} - \varphi_{E_x^+(0)}) \cdot \sin \alpha \eta}_{\text{termine di accoppiamento tra le due onde (densità di potenza dovuta all'accoppiamento)}} \right] \cdot \hat{u}_z$$

• il termine di accoppiamento $\exists \Leftrightarrow \exists E^+, \exists E^-$ e il mezzo ha perdite
 se così non fosse, avrei η reale
 $\hookrightarrow \alpha = 0 \Rightarrow \sin \alpha \eta = 0$

polarizzate onde TEM

hp: propagaz. come \vec{a}_z



- le onde possono essere spaziate tra loro
- ci poniamo in $z=0$ per comodità

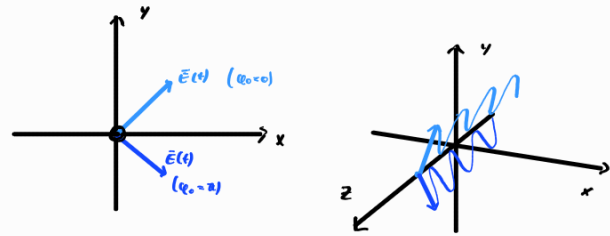
nel dominio del tempo:

$$\begin{cases} E_x(0,t) = E_x \cos(\omega t) \\ E_y(0,t) = E_y \cos(\omega t + \phi) \end{cases}$$

caso 1 $\phi_0 = 0, \pi$ \Rightarrow polarizzaz. lineare: descrive una linea nel tempo sul piano x,y

se $\phi_0 = 0 \Rightarrow |\vec{E}(t)|^2 = E_x^2 \cos^2(\omega t) + E_y^2 \cos^2(\omega t) = (E_x^2 + E_y^2) \cos^2(\omega t)$

$\phi(t) = \arctan\left(\frac{E_y \cos(\omega t + \phi)}{E_x \cos(\omega t)}\right) \Rightarrow \phi(t) = \arctan\left(\frac{E_y}{E_x}\right) \cos t$, non dipende da t
 \uparrow dipende da t
 se ho $\phi_0 = \pi$: $\phi(t) = \arctan(E_y/E_x)$



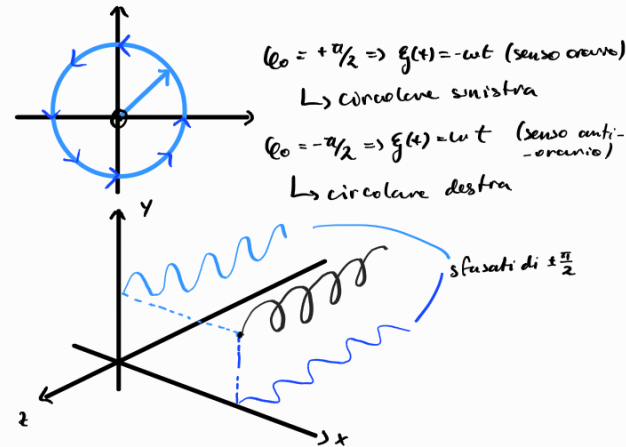
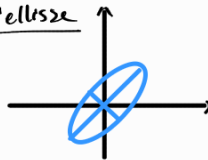
caso 2 $\phi_0 = \pm \pi/2$ \Rightarrow polarizzaz. circolare: descrive una circonferenza nel tempo sul piano x,y

• consideriamo $E_x = E_y$ per semplicità

$|\vec{E}(t)|^2 = E_x^2 \cos^2(\omega t) + E_y^2 \cos^2(\omega t \pm \pi/2) = E_x^2 \cos^2(\omega t) + E_x^2 \sin^2(\omega t) = E_x^2 \cos^2 + \sin^2 = E_x^2$, non dipende da t
 $\phi(t) = \arctan\left(\frac{\mp E_x \sin(\omega t)}{E_x \cos(\omega t)}\right) = \mp \omega t$
 \uparrow dipende da t

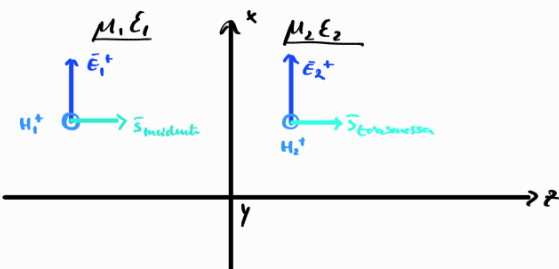
• la rotaz. segue il verso della regola della mano destra

• nel caso gen. $E_x \neq E_y$ descrivono un'ellisse (avrà quindi anche un orientamento)



Incidenza normale

• incidenza normale di un'onda TEM piana, su una discontinuità piana dielettrica



• dominio dei fasori:

• hp: mezzi ideali $\Rightarrow \epsilon_i$ reali, $\sigma = 0$

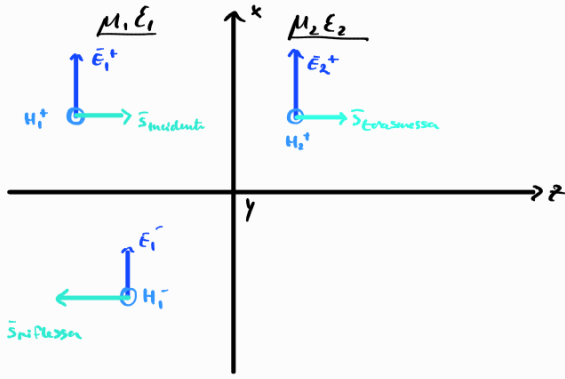
$E_1^+ = E_2^+$ (si deve conservare la componente tangenziale)

tuttavia so anche che $H_1^+ = H_2^+$

$\begin{cases} E_1^+ = E_2^+ \\ H_1^+ = H_2^+ \\ H_1^+ = \frac{E_1^+}{\eta_1} \\ H_2^+ = \frac{E_2^+}{\eta_2} \end{cases}$ dove $\eta_1 = \sqrt{\frac{\mu_1}{\epsilon_1}}$, $\eta_2 = \sqrt{\frac{\mu_2}{\epsilon_2}} \Rightarrow \eta_1 \neq \eta_2$

$$\Rightarrow \frac{E_1^+}{\eta_1} = \frac{E_2^+}{\eta_2} = \frac{E_1^+}{\eta_2} \Rightarrow \eta_1 = \eta_2 \text{ impossibile!}$$

↳ introduco un'onda riflessa per far tornare le cose



mezzo 1

incidenti $\begin{cases} E_1^+(z) = E_1^+(0) e^{-\gamma_1 z} = E_1^+(0) e^{-j\beta_1 z} \\ H_1^+(z) = H_1^+(0) e^{-\gamma_1 z} = H_1^+(0) e^{-j\beta_1 z} = \frac{E_1^+(0)}{\eta_1} e^{-j\beta_1 z} \end{cases}$ ($\gamma_1 = \sqrt{-\omega^2 \mu \epsilon + j\omega \mu \sigma} = j\omega \sqrt{\mu \epsilon} = j\beta_1$)
 $(\eta = \frac{j\omega \mu}{\gamma} = \sqrt{\mu/\epsilon})$

riflessa $\begin{cases} E_1^-(z) = E_1^-(0) e^{+\gamma_1 z} = E_1^-(0) e^{+j\beta_1 z} \\ H_1^-(z) = -\frac{E_1^-(0)}{\eta_1} e^{+j\beta_1 z} \end{cases}$

trasmessa $\begin{cases} E_2^+(z) = E_2^+(0) e^{-\gamma_2 z} = E_2^+(0) e^{-j\beta_2 z} \\ H_2^+(z) = \frac{E_2^+(0)}{\eta_2} e^{-j\beta_2 z} \end{cases}$ (cambia il mezzo)

$$\Rightarrow \begin{cases} E_1^+(0) + E_1^-(0) = E_2^+(0) \\ H_1^+(0) + H_1^-(0) = H_2^+(0) \end{cases}$$

si devono conservare le comp. tangenti di E e H (cond. al contorno)

$$\Rightarrow \begin{cases} E_1^+(0) + E_1^-(0) = E_2^+(0) \\ \frac{E_1^+(0)}{\eta_1} - \frac{E_1^-(0)}{\eta_1} = \frac{E_2^+(0)}{\eta_2} \end{cases} \Rightarrow \Gamma(0) = \frac{E_1^-(0)}{E_1^+(0)} = \frac{\eta_2 - \eta_1}{\eta_2 + \eta_1}$$

coeff. di riflessione (≤ 1)

$$T = \frac{E_2^+(0)}{E_1^+(0)} = \frac{2\eta_2}{\eta_2 + \eta_1}$$

coeff. di trasmissione (potrebbe essere ≥ 1)

↑ aumenta E non viene compensato da una diminuz. di B

$$E_1(z) = E_1^+ + E_1^- = \frac{E_1^+(0)}{\eta_1} e^{-j\beta_1 z} + \frac{E_1^-(0)}{\eta_1} e^{+j\beta_1 z} = E_1^+(0) (e^{-j\beta_1 z} + \Gamma(0) e^{+j\beta_1 z})$$

(diretto come \hat{u}_x)

$$H_1(z) = H_1^+ + H_1^- = \frac{E_1^+(0)}{\eta_1} e^{-j\beta_1 z} - \frac{E_1^-(0)}{\eta_1} \Gamma(0) e^{+j\beta_1 z} = \frac{E_1^+(0)}{\eta_1} (e^{-j\beta_1 z} - \Gamma(0) e^{+j\beta_1 z})$$

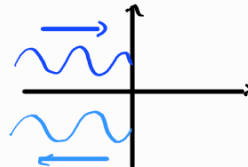
(diretto come \hat{u}_y)

$$E_2(z) = E_2^+(0) T e^{-j\beta_2 z}$$

$$H_2(z) = \frac{E_2^+(0)}{\eta_2} T e^{-j\beta_2 z}$$

$$\Gamma(z) = \frac{E_1^-(z)}{E_1^+(z)} = \frac{E_1^-(0) e^{+j\beta_1 z}}{E_1^+(0) e^{-j\beta_1 z}} = \frac{E_1^-(0) \Gamma(0) e^{+j\beta_1 z}}{E_1^+(0) e^{-j\beta_1 z}} = \Gamma(0) e^{j2\beta_1 z} = \Gamma(z)$$

mezzo 1, $z < 0$



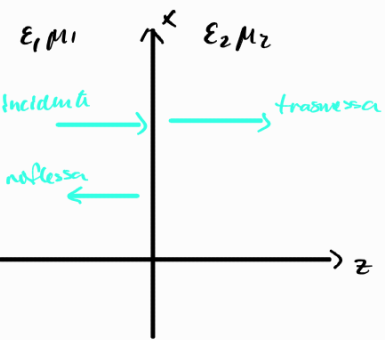
il termine 2 compare all'exp. perché si "sommano" le velocità in verso opposto e quindi si sfasano con doppia della velocità delle singole onde

impedenza d'onda:

$$\mathcal{Z}(z) = \frac{E_1(z)}{H_1(z)} = \eta_1 \frac{1 + \Gamma(z)}{1 - \Gamma(z)}$$

↑
attenzione! NON è $\eta = \frac{E^+}{H^+}$

caso ① mezzo 1, 2 ideali ($\sigma=0$)

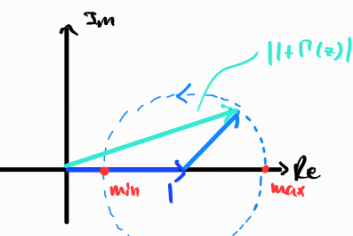


$$E_1(z) = E_1^+(z) + E_1^-(z) = E_1^+(z)(1 + \Gamma(z)) = E_1^+(z)(1 + \Gamma(0)e^{j2\beta_1 z})$$

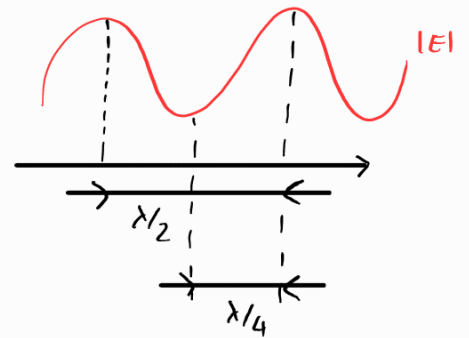
$$\Gamma(z) = \frac{E_1^-(z)}{E_1^+(z)} = \Gamma(0)e^{j2\beta_1 z}$$

$$|E_1(z)| = |E_1^+(z)| \cdot |1 + \Gamma(0)e^{j2\beta_1 z}| = |E_1^+(0)e^{-j\beta_1 z}| \cdot |1 + \Gamma(0)e^{j2\beta_1 z}|$$

$$|E_1^+(0)| = \text{cost.}$$



$$2 \cdot \frac{2\pi}{\lambda_1} \Delta z = 2\pi \Rightarrow \Delta z = \frac{\lambda_1}{2} \text{ distanza tra picchi}$$



~~$H_1(z) = \frac{E_1(z)}{\eta_1}$~~ NO! vale solo: $H_1^+(z) = \frac{E_1^+(z)}{\eta_1}$

$$|H_1(z)| = \frac{E_1^+(z)}{\eta_1} - \frac{E_1^-(z)}{\eta_1} = \frac{E_1^+(z)}{\eta_1} (1 - \Gamma(z)) = \frac{E_1^+(z)}{\eta_1} (1 - \Gamma(0)e^{j2\beta_1 z})$$

i max. di H si trovano in corrispondenza dei minimi di E, e viceversa

$$\bar{S}_m^+ = \bar{S}_{\text{incidente}} = \frac{1}{2} \frac{|E_1^+(0)|^2}{\eta_1} \hat{u}_z \quad (\bar{S}_m = \frac{1}{2} \text{Re} [E_x(z) \cdot H_y^*(z)] \hat{u}_z)$$

$$\bar{S}_m^- = \bar{S}_{\text{riflessa}} = \frac{1}{2} \frac{|E_1^-(0)|^2}{\eta_1} \hat{u}_z = -\frac{1}{2} \frac{|E_1^+(0)|}{\eta_1} |\Gamma(0)|^2 \hat{u}_z = -\bar{S}_{\text{incidente}} |\Gamma(0)|^2$$

$$\bar{S}_{\text{trasmessa}} = \frac{1}{2} \frac{|E_2^+(0)|^2}{\eta_2} = \frac{1}{2} \frac{|E_1^+(0)| \cdot |\Gamma|^2}{\eta_2} \hat{u}_z = \bar{S}_{\text{incidente}} \cdot |\Gamma|^2$$

$$\Rightarrow \bar{S}_{\text{incidente}} + \bar{S}_{\text{riflessa}} = \bar{S}_{\text{trasmessa}}$$

$$\Rightarrow \bar{S}_{\text{incidente}} - \bar{S}_{\text{incidente}} |\Gamma(0)|^2 = \bar{S}_{\text{incidente}} |\Gamma|^2$$

$$\Rightarrow \bar{S}_{\text{incidente}} (1 - |\Gamma(0)|^2) = \bar{S}_{\text{trasmessa}} \quad (|\Gamma|^2 = 1 - |\Gamma(0)|^2)$$

caso ② mezzo 2 non ideale

• considero il mezzo 1 ideale. Per un mezzo non ideale: $\gamma = \alpha + j\beta \Rightarrow$ ho un termine $e^{-\alpha z}$. Considerando che il mezzo 1 si trova per $z < 0$, e la sorgente dell'onda incidente proviene da $-\infty$, avrei che $e^{-\alpha z}$ diverge \Rightarrow considero il mezzo 1 ideale

• $\sigma_2 \neq \emptyset, \epsilon_2 = \epsilon_2' - j\epsilon_2'', \mu_2 = \mu_2' - j\mu_2''$

$$\begin{cases} \eta_2 = \frac{j\omega\mu_2}{\sigma_2} \\ \gamma_2 = \sqrt{-\omega^2\mu_2\epsilon_2 + j\omega\mu_2\sigma_2} = \sqrt{-\omega^2(\mu_2' - j\mu_2'')(\epsilon_2' - j\epsilon_2'') + j\omega(\mu_2' - j\mu_2'')\sigma_2} \end{cases}$$

$\Rightarrow \eta_2 = \sqrt{\frac{j\omega(\mu_2' - j\mu_2'')}{\sigma_2 + j\omega(\epsilon_2' - j\epsilon_2'')}}$

• sta γ che η sono complessi

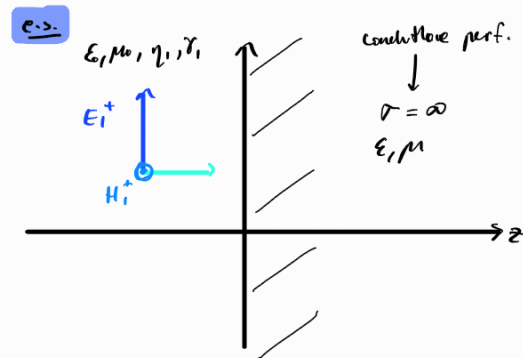
$$\begin{cases} \Gamma(\omega) = \frac{\eta_2 - \eta_1}{\eta_2 + \eta_1} \\ T = \frac{2\eta_2}{\eta_2 + \eta_1} = 1 + \Gamma(\omega) \end{cases} \rightarrow \Gamma(\omega), T \text{ complessi}$$

\hookrightarrow l'onda trasmessa e riflessa non sono più in fase con l'onda incidente

$$\begin{cases} E_2^+(z) = E_1^+(0) T e^{-\alpha_2 z} e^{-j\beta_2 z} \\ H_2^+(z) = \frac{E_1^+(0) T}{\eta_2} e^{-\alpha_2 z} e^{-j\beta_2 z} \end{cases}$$

$$\begin{aligned} S_m &= \frac{1}{2} \text{Re} [E_x(z) \times H_y^*(z)] \hat{u}_z \\ S_{\text{trasmessa}} &= \frac{1}{2} \text{Re} \left\{ T E_1^+(0) e^{-\alpha_2 z} e^{-j\beta_2 z} \cdot \frac{T^* E_1^+(0)^*}{\eta_2^*} e^{-\alpha_2 z} e^{j\beta_2 z} \right\} \hat{u}_z \\ &= \frac{1}{2} \cdot \frac{|E_1^+(0)|^2}{|T|^2} \cdot e^{-2\alpha_2 z} \cdot \frac{1}{|\eta_2|} \cos \theta \hat{u}_z \\ &= \frac{1}{2} \cdot \frac{|E_1^+(0)|^2}{|T|^2} \cdot e^{-2\alpha_2 z} \cdot \text{Re} \left[\frac{1}{\eta_2^*} \right] \hat{u}_z \end{aligned}$$

$\vec{S} = \vec{E} \times \vec{H}$
 attenua con e^{-2x} attenua con e^{-x} attenua con e^{-x}



$\epsilon(z)? \mu(z)?$

$\eta_2 = \sqrt{\frac{j\omega\mu}{\sigma + j\omega\epsilon}} = \emptyset \text{ [}\Omega\text{]} \quad (\sigma \rightarrow \infty)$

$\eta_1 = \sqrt{\frac{\mu}{\epsilon}} = 377 \text{ [}\Omega\text{]}$

$\Gamma(\omega) = \frac{\eta_2 - \eta_1}{\eta_2 + \eta_1} = -1 \Rightarrow$ riflessione totale $\Rightarrow |E_i^-(0)| = |E_i^+(0)| \Rightarrow E_i^+(0) = -E_i^-(0)$

- il campo tangente si conserva
- il campo nel conduttore è \emptyset

\Rightarrow per Poisson \exists un'onda riflessa t.c. $E_1^-(z) + E_1^+(z) = \phi$ ($= E_1^+$ trasmessa)

$$\begin{aligned} \Rightarrow E(z) &= E_1^+(z) + E_1^-(z) = E_1^+(z) e^{-j\beta_1 z} + E_1^-(z) e^{j\beta_1 z} \\ &= E_1^+(z) e^{-j\beta_1 z} + E_1^+(z) \Gamma(z) e^{j\beta_1 z} \\ &= E_1^+(z) \cdot \underbrace{(e^{-j\beta_1 z} + e^{j\beta_1 z})}_{2 \cos(\beta_1 z)} \end{aligned}$$

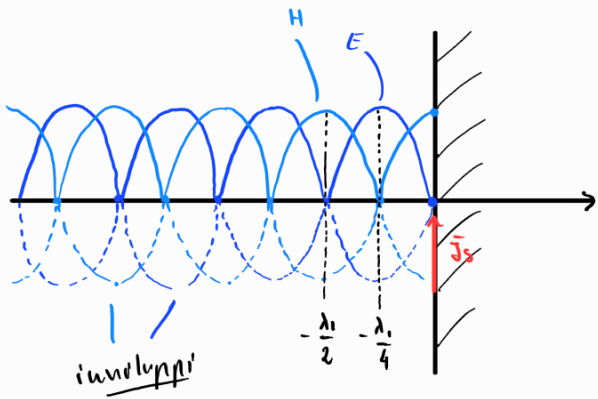
ampiezza doppia di E_1 ma nulla di H !

$\Rightarrow |E(z)| = 2 |E_1^+(z)| \cdot |\cos(\beta z)|$

$\Rightarrow |E_{\max}| = 2 |E_1^+(z)|$ onda riflessa e incidente danno vita a interferenza costruttiva
 $\Rightarrow |E_{\min}| = \phi$ onda incidente e riflessa danno vita a interferenza distruttiva

\hookrightarrow max per $\beta z = \frac{2\pi}{\lambda_1} z = -\frac{\pi}{2} \Rightarrow z = -\frac{\lambda_1}{4}$

$$|H(z)| = |H_1^+(z) + H_1^-(z)| = \left| \frac{E_1^+(z)}{\eta_1} - \frac{E_1^-(z)}{\eta_1} \right| = \frac{|E_1^+(z)|}{\eta_1} \cdot \underbrace{|e^{-j\beta_1 z} - e^{j\beta_1 z}|}_{2 \cos(\beta_1 z)} = \frac{|E_1^+(z)|}{\eta_1} \cdot 2 |\cos(\beta_1 z)|$$



$\phi = \phi$
 $\bullet E_{1t} = E_{2t}$ è soddisfatto

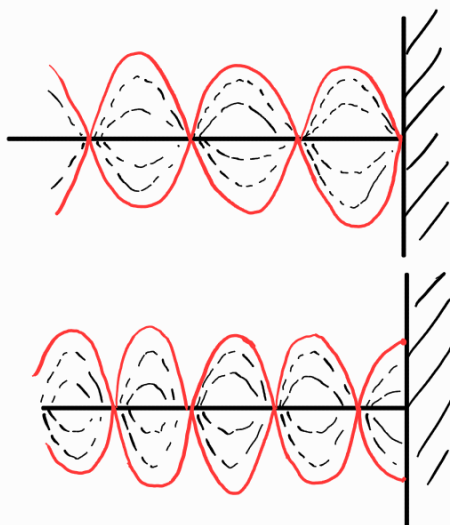
\bullet tuttavia all'interfaccia $|H_1(z)| \neq \phi \neq |H_2(z)|$. Come risolvere questo prob.?

$\hookrightarrow \exists$ una corrente sup. di carica \bar{J}_s ! ($H_{2t} - H_{1t} = J_s$)

\bullet involuppo: andamento dei picchi nel tempo



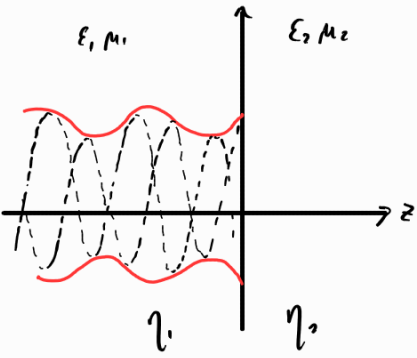
(onda viaggiante)



(\bar{E}) puramente stazionario

(\bar{H}) puramente stazionario

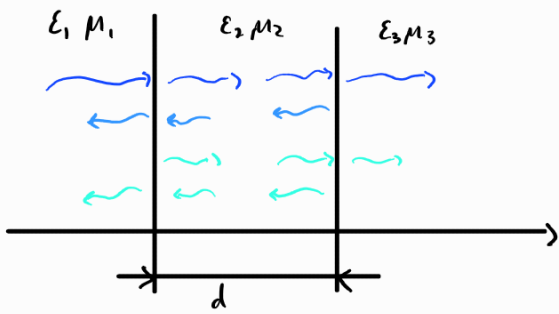
Caso generale di un conduttore non ideale: $\sigma \neq \emptyset$ finito



$$|\Gamma(\omega)| = \left| \frac{\eta_2 - \eta_1}{\eta_2 + \eta_1} \right| < 1$$

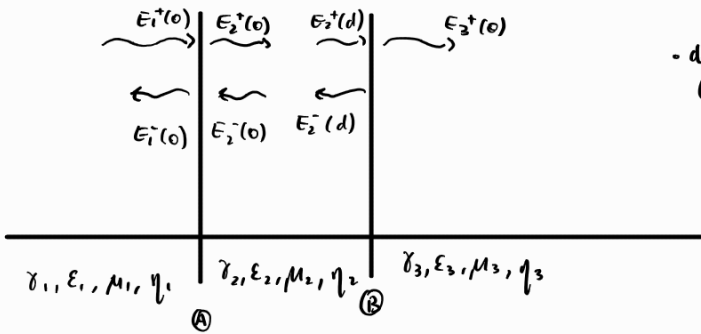
\Rightarrow onda riflessa ha un'ampiezza minore dell'incidente

\hookrightarrow campo tot. non è più puramente stazionario
ma solo stazionario



• tutte le componenti riflesse danno vita a loro volta ad altre componenti riflesse / trasmesse, sempre più deboli

consideriamo:



- dove ogni onda è la somma di rispettivi contributi (e.s. $E_2^+(0)$ somma di tutti i contributi progressivi in θ nel mezzo 2)

interfaccia \textcircled{B} : $E_2^-(d) + E_2^+(d) = E_3^+(d)$ con $\frac{E_2^-(d)}{E_2^+(d)} = \Gamma_B = \frac{\eta_3 - \eta_2}{\eta_3 + \eta_2}$, $\frac{E_3^+(d)}{E_2^+(d)} = T_B = \frac{2\eta_3}{\eta_3 + \eta_2} = 1 + \Gamma_B$

interfaccia \textcircled{A} : $E_1^+(0) + E_1^-(0) = E_2^+(0) + E_2^-(0)$

attenzione: $\Gamma_A = \frac{\eta_2 - \eta_1}{\eta_2 + \eta_1}$ **NO!** questa espressione non tiene conto del contributo $E_2^-(0)$

$E_2^-(0) = E_2^-(d) \cdot e^{-\gamma_2 d} = E_2^+(d) \cdot \Gamma_B \cdot e^{-\gamma_2 d} = E_2^+(0) \cdot \Gamma_B \cdot e^{-2\gamma_2 d} = E_2^+(0) \cdot \Gamma_B \cdot e^{-2\gamma_2 d} (= \Gamma^-(z))$ (espresso tutto in funz. di $E_2^+(0)$ - potrei anche fare tutto in funz. di qualche altro, è puramente arbitrario)

$E_2^+(0) = E_2^+(d)$ propagata fino $x=0$ ($d = \Delta z$)
 $z_2 - z_1 = 0 - d = -d$
 $E_2^+(d) = E_2^+(0)$ propagata fino $x=d$ ($d = \Delta z = d - 0$)

$\begin{cases} E_1^+(0)(1 + \Gamma_A) = E_2^+(0)(1 + \Gamma_B e^{-2\gamma_2 d}) & \textcircled{I} \text{ (E)} \\ E_1^+(0)(1 - \Gamma_A) = E_2^+(0)(1 - \Gamma_B e^{-2\gamma_2 d}) & \textcircled{II} \text{ (H)} \end{cases}$

$\Rightarrow \frac{\textcircled{I}}{\textcircled{II}} \Rightarrow \eta_1 \frac{1 + \Gamma_A}{1 - \Gamma_A} = \eta_2 \frac{1 + \Gamma_B e^{-2\gamma_2 d}}{1 - \Gamma_B e^{-2\gamma_2 d}}$ Z_{2A} impedenza d'onda

$\Rightarrow \Gamma_A = \frac{Z_{2A} - \eta_1}{Z_{2A} + \eta_1}$

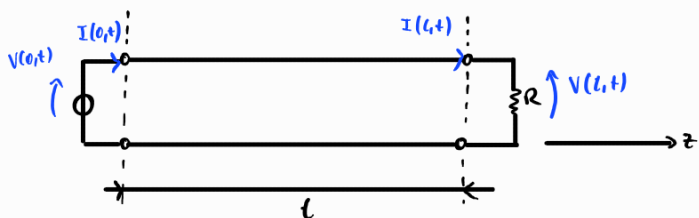
$Z_{2A} = \eta_2 \frac{1 + \Gamma_B e^{-2\gamma_2 d}}{1 - \Gamma_B e^{-2\gamma_2 d}}$ \uparrow interfaccia B

$\Rightarrow E_1^+(0)(1 + \Gamma_A) = E_2^+(0)(1 + \Gamma_B e^{-2\gamma_2 d})$
 $\Rightarrow E_2^+(0) = E_1^+(0) \frac{1 + \Gamma_A}{1 + \Gamma_B e^{-2\gamma_2 d}}$

ho trovato $E_2^+(0)$ in funz. di $E_1^+(0)$ (che conosco), $E_1^-(0)$ pure lo conosco ($E_1^- = E_1^+(0) \cdot \Gamma_A$), $E_2^-(0)$ l'ho trovato ($= E_2^+(0) \cdot \Gamma_B e^{-2\gamma_2 d}$)

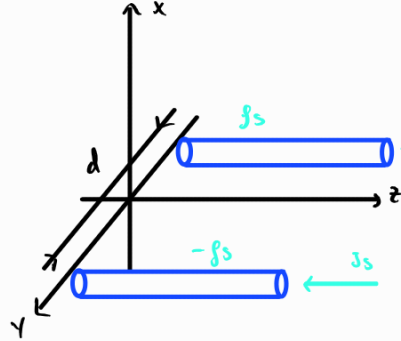
\hookrightarrow riesco a trovare tutto

linee di trasmissione



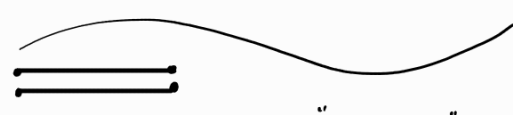
$\begin{cases} V(0,t) = V(l,t) \\ I(0,t) = I(l,t) \end{cases}$ idealmente (ragionevole se $l \ll \lambda$)

\hookrightarrow se l paragonabile a λ , o addirittura $l \gg \lambda$ questo non vale più!

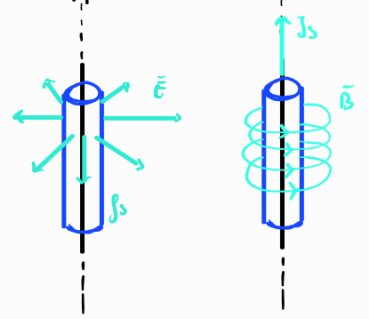


hp: $d \ll \lambda$

\Rightarrow le componenti J_s e J_s variano "lentamente" con z (\sim costanti)

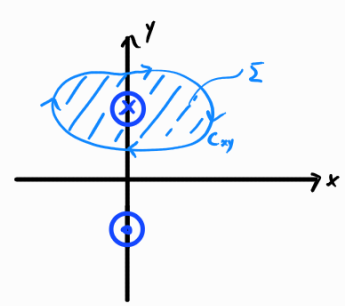


sappiamo anche che:



\Rightarrow per cui M_z e $E_z = \emptyset$

consideriamo adesso il piano xy:



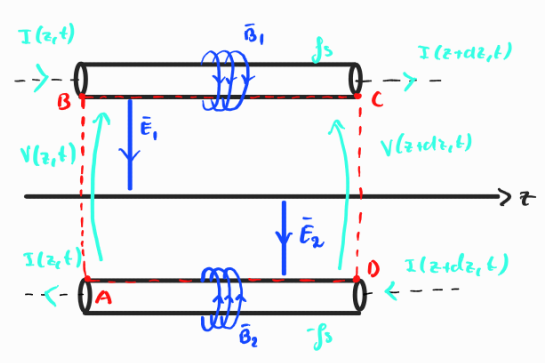
nessuna componente lungo z
 $\int_{C_{xy}} \vec{E} \cdot d\vec{l} = -\frac{\partial}{\partial t} \iint_{\Sigma} \mu \vec{H} \cdot \vec{u}_n d\Sigma$ tuttavia $\vec{H} \cdot \vec{u}_n = \emptyset$
 $\Rightarrow \int_{C_{xy}} \vec{E} \cdot d\vec{l} = \emptyset$
 $\vec{u}_n = \vec{u}_z$
 troviamo che in regime tempo-variante il campo \vec{E} è irrotazionale! (sul piano xy!)

\hookrightarrow posso def. una diff. di pot. ΔV

$V(z,t) = - \int_C \vec{E} \cdot d\vec{l}$

$\int_{C_{xy}} \vec{H} \cdot d\vec{l} = \epsilon_0 \frac{\partial}{\partial t} \iint_{\Sigma} \vec{E} \cdot \vec{u}_n d\Sigma + \iint_{\Sigma} \vec{j} \cdot \vec{u}_n d\Sigma = I(z,t)$
 \emptyset ($E_z = \emptyset$)

$\hookrightarrow \int_{C_{xy}} \vec{H} \cdot d\vec{l} = I(z,t)$



$\int_{C_{\partial \Sigma}} \vec{E} \cdot d\vec{l} = -\mu_0 \frac{\partial}{\partial t} \iint_{\Sigma_{\partial z}} \vec{H} \cdot \vec{u}_n d\Sigma$
 $-\underbrace{V(z,t)}_{\text{integr. su AB}} + \underbrace{\emptyset}_{\text{su BC}} + \underbrace{V(z+d,t)}_{\text{su CD}} + \underbrace{\emptyset}_{\text{su DA}}$

$\Rightarrow V(z+d,t) - V(z,t) = -\mu_0 \frac{\partial}{\partial t} \iint_{\Sigma_{\partial z}} \vec{H} \cdot \vec{u}_n d\Sigma = -\frac{\partial}{\partial t} \iint_{\Sigma_{\partial z}} \vec{B} \cdot \vec{u}_n d\Sigma = -\frac{\partial}{\partial t} \Phi_{\Sigma_{\partial z}}(\vec{B})$

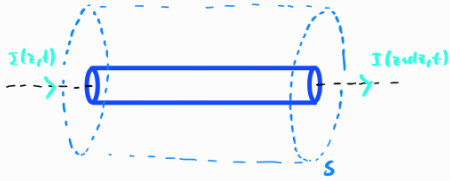
ma sappiamo che: $\Phi_{\Sigma_{\partial z}}(\vec{B}) = L dz \cdot I(z,t)$ ($L = \frac{\Phi_{\Sigma_{\partial z}}(\vec{B})}{I(z,t)}$)

induttanza per unità di lunghezza [H/m]

$$\Rightarrow V(z+dz, t) - V(z, t) = -\frac{\partial}{\partial t} [L dz \cdot I(z, t)]$$

$$\Rightarrow \frac{V(z+dz, t) - V(z, t)}{dz} = -\frac{\partial}{\partial t} [L \cdot I(z, t)]$$

$$\Rightarrow \frac{\partial V(z, t)}{\partial z} = -L \cdot \frac{\partial I(z, t)}{\partial t}$$



$$\iint_S \vec{j} \cdot \vec{u}_n dS = -\frac{\partial}{\partial t} \iiint_V \rho dV$$

$$\Rightarrow I(z+dz, t) - I(z, t) = -\frac{\partial}{\partial t} [q(z, t) \cdot dz] \neq 0$$

$$\Rightarrow \frac{I(z+dz, t) - I(z, t)}{dz} = -\frac{\partial}{\partial t} [q(z, t)]$$

$$\Rightarrow \frac{\partial I(z, t)}{\partial z} = -\frac{\partial q(z, t)}{\partial t}$$

$$\Rightarrow \frac{\partial I(z, t)}{\partial z} = -C \frac{\partial V(z, t)}{\partial t}$$

$$q(z, t) = CV(z, t)$$

↑
sera [F/m]

ciò stiamo consentendo che ci sia un accumulo o perdita di carica \Rightarrow NON c'è la conservaz. di carica

\hookrightarrow correnti entranti \neq correnti uscenti

dominio del tempo

$$\begin{cases} \frac{\partial V(z,t)}{\partial z} = -L \frac{\partial I(z,t)}{\partial t} & (1) \\ \frac{\partial I(z,t)}{\partial t} = -C \frac{\partial V(z,t)}{\partial z} & (2) \end{cases}$$

→ derivo la (1) rispetto z

$$\hookrightarrow \frac{\partial^2 V(z,t)}{\partial z^2} = -L \frac{\partial}{\partial t} \left[\frac{\partial I(z,t)}{\partial z} \right] \stackrel{(2)}{=} LC \frac{\partial^2 V(z,t)}{\partial t^2}$$

scambio ordine di integrab.

$$\Rightarrow \begin{cases} \frac{\partial^2 V(z,t)}{\partial z^2} = LC \frac{\partial^2 V(z,t)}{\partial t^2} \\ \frac{\partial^2 I(z,t)}{\partial z^2} = LC \frac{\partial^2 I(z,t)}{\partial t^2} \end{cases} \quad \text{equazioni di telegraf}$$

analogamente trovo: $\frac{\partial^2 I(z,t)}{\partial z^2} = LC \frac{\partial^2 I(z,t)}{\partial t^2}$

le sol. dell'eq. di telegraf danno 2 onde di tensione e 2 di corrente (regressive e progressive)

$$\begin{cases} V(z,t) = V^+(t-z/v) + V^-(t+z/v) \\ I(z,t) = I^+(t-z/v) + I^-(t+z/v) \end{cases}$$

allora $V(z,t), I(z,t)$ rispettano l'eq. di telegraf: a patto che:

$$v^2 = \frac{1}{LC} \quad I = C/S = 1$$

$$LC = \left[\frac{H}{m} \right] \cdot \left[\frac{F}{m} \right] = \left[\frac{V \cdot s}{A \cdot m} \right] \cdot \left[\frac{C}{V \cdot m} \right] = \frac{s^2}{m^2} \Rightarrow v = \frac{1}{\sqrt{LC}} \quad [m/s] \text{ è eff. una vel.}$$

$$[L] = \left[\frac{V \cdot s}{A} \right]; [C] = \left[\frac{C}{V} \right] \quad [A] = \left[\frac{C}{s} \right]$$

$$\Rightarrow v = \frac{1}{\sqrt{LC}} = \frac{1}{\sqrt{\mu \epsilon}}$$

$$\Rightarrow LC = \mu \epsilon$$

Solo per linee TEM!!!

$$Z_c = \frac{V^+(z,t)}{I^+(z,t)} \quad \text{impedenza caratteristica della linea}$$

$$\frac{\partial V(z,t)}{\partial z} = -L \frac{\partial I(z,t)}{\partial t}$$

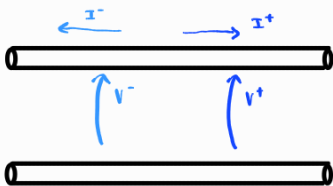
$$\Rightarrow V^+(z,t) = V(t-z/v); I^+(z,t) = I(t-z/v) \Rightarrow \frac{1}{v} \cdot v^+ = -L \cdot \frac{\partial I^+}{\partial t} \Rightarrow \frac{1}{v} v^+ = -L I^+ + \text{non mi interessa (è una componente statica)}$$

integrando in dt

$$\hookrightarrow \frac{V^+}{I^+} = Lv = L \cdot \frac{1}{\sqrt{LC}} \Rightarrow Z_c = \frac{V^+}{I^+} = \sqrt{\frac{L}{C}} \quad [2] \quad \text{reale}$$

↑ siano nel dom. del tempo, non potrebbe essere diversamente

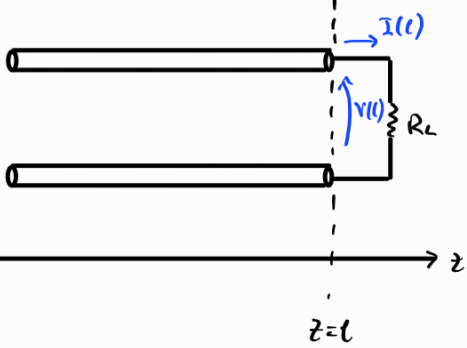
attenzione: non è una resistenza omica, cioè non comporta una perdita di potenza



nel caso di onde regressive: $\frac{1}{v} v^- = -L \frac{\partial I^-}{\partial t} \Rightarrow \frac{1}{v} v^- = -L I^- \Rightarrow \frac{V^-}{I^-} = -Lv$

$$\Rightarrow \frac{V^-(t+z/v)}{I^-(t+z/v)} = -Z_c$$

(per un certo t fissato, la dipendenza dal tempo è sottintesa cioè sentuo $V(z,t)$ come $V(z)$)



• $V(t) = R_L \cdot I(t)$ (la legge di Ohm vale sempre e comunque su R_L)

• $V(t) = V^+(t) + V^-(t)$

• $I(t) = I^+(t) + I^-(t) = \frac{V^+(t)}{z_c} - \frac{V^-(t)}{z_c}$

$$\Rightarrow \begin{cases} V^+(t) + V^-(t) = R_L (I^+(t) + I^-(t)) \\ V^+(t) + V^-(t) = z_c (I^+(t) - I^-(t)) \end{cases}$$

caso ① $R_L = z_c \Rightarrow$ carico adattato

$\Rightarrow I^+(t) + I^-(t) = I^+(t) - I^-(t) \Rightarrow I^-(t) = 0$

ne segue che anche $V^-(t) = 0$

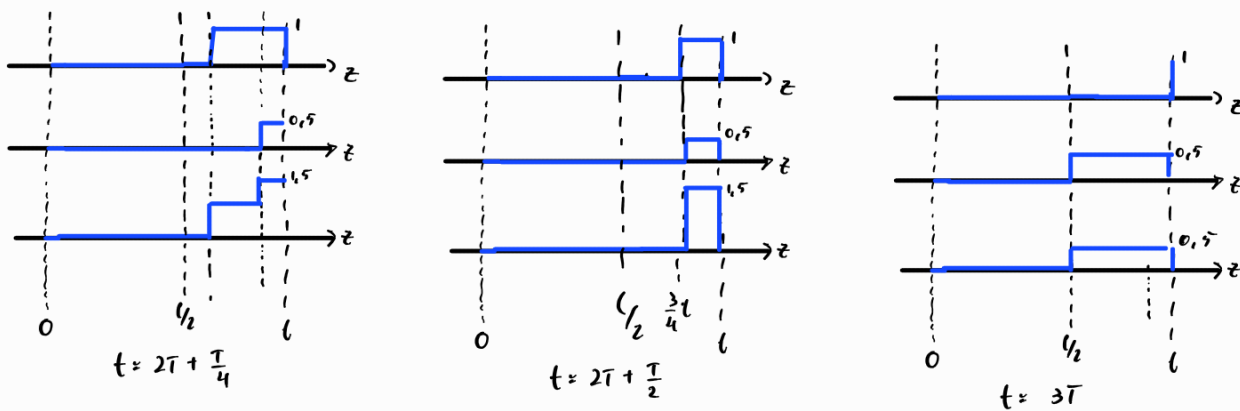
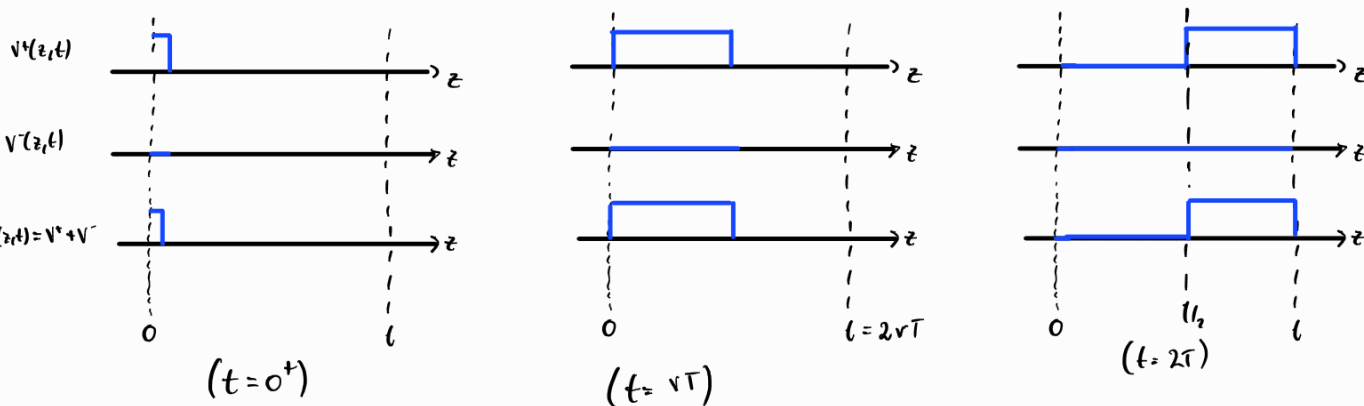
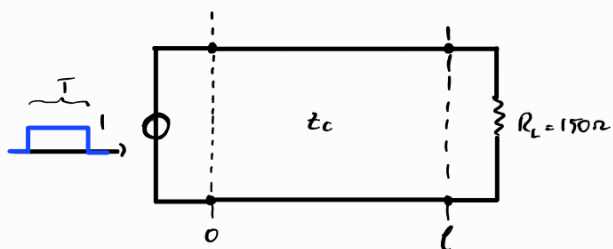
(non ho componenti riflesse)

caso ② $R_L \neq z_c$

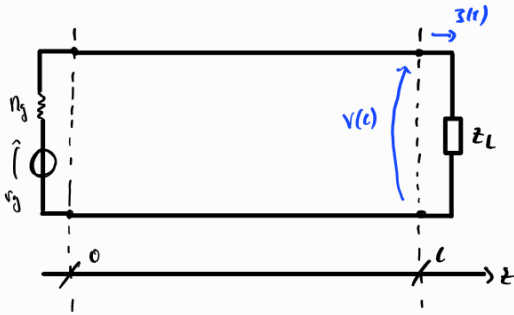
def. $\Gamma_L = \frac{V^-(z,t)}{V^+(z,t)}$

$$\Rightarrow \begin{cases} V^+(t) + V^-(t) = R_L (I^+(t) + I^-(t)) \\ V^+(t) + V^-(t) = z_c (I^+(t) - I^-(t)) \end{cases} \Rightarrow z_c I^+ - z_c I^- = R_L I^+ + R_L I^- \Rightarrow \frac{I^-}{I^+} = \frac{z_c - R_L}{z_c + R_L}$$

$\hookrightarrow \begin{cases} I^- = -\frac{V^-}{z_c} \\ I^+ = \frac{V^+}{z_c} \end{cases} \Rightarrow \Gamma_L = \frac{V^-(t)}{V^+(t)} = \frac{R_L - z_c}{R_L + z_c} \quad (-1 \leq \Gamma_L \leq 1)$



regime sinusoidale stazionario (dom. fasori)



$$v(t) = v_g \cos(\omega t + \phi_0) = \operatorname{Re} [v_g e^{j\phi_0} \cdot e^{j\omega t}]$$

(fenduzochenti si prende come fase di riferimento) $\phi_0 = 0$

\Rightarrow eq. dei telegrafi nei fasori:

$$\begin{cases} \frac{d^2 V(z)}{dz^2} = -\omega^2 LC V(z) \\ \frac{d^2 I(z)}{dz^2} = -\omega^2 LC I(z) \end{cases}$$

$$\begin{aligned} \Rightarrow \lambda^2 = -\omega^2 LC &\Rightarrow \lambda_{1,2} = \pm j\omega \cdot \sqrt{LC} \\ &= \pm j\omega \cdot \frac{1}{v} \\ &= \pm j2\pi f \cdot \frac{1}{\lambda} \\ &= \pm j \frac{2\pi}{\lambda} \\ &= \pm j\beta \end{aligned}$$

\Rightarrow trovo le sol. delle eq. diff.

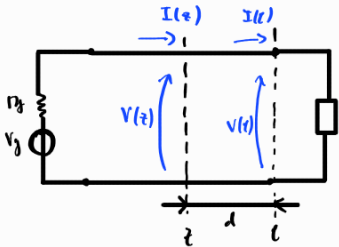
$$L) \begin{cases} V(z) = v^+(0)e^{-j\beta z} + v^-(0)e^{+j\beta z} \\ I(z) = i^+(0)e^{-j\beta z} + i^-(0)e^{+j\beta z} \end{cases}$$

$$\begin{cases} v(l) = Z_L \cdot i(l) \\ v(l) = v^+(l) + v^-(l) = Z_C i^+(l) - Z_C i^-(l) \end{cases}$$

$$\Rightarrow \Gamma_L = \frac{v^-(l)}{v^+(l)} = \frac{Z_L - Z_C}{Z_L + Z_C}$$

complesso (Z_C complesso)

$L) v^-(l)$ e $v^+(l)$ sfasati



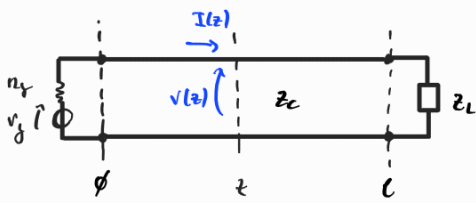
$$\Gamma(z) = \frac{v^-(z)}{v^+(z)} = \frac{v^-(0)e^{j\beta z}}{v^+(0)e^{-j\beta z}} = \frac{v^-(0) \cdot e^{-j\beta l} \cdot e^{j\beta z}}{v^+(0) \cdot e^{j\beta l} \cdot e^{-j\beta z}} \Rightarrow \Gamma(z) = \Gamma_L \cdot e^{-2j\beta(l-z)}$$

$$\Rightarrow \Gamma(d) = \Gamma_L \cdot e^{-2j\beta d} \quad (d = l-z)$$

$$\begin{cases} v(z) = v^+(0)e^{-j\beta z} + v^-(0)e^{+j\beta z} = v^+(z) + v^-(z) = v^+(z)(1 + \Gamma(d)) \Rightarrow v(z) = v^+(0)e^{-j\beta z} [1 + \Gamma(z)] \end{cases}$$

$$\begin{cases} i(z) = i^+(0)e^{-j\beta z} + i^-(0)e^{+j\beta z} \Rightarrow \frac{v^+(0)}{Z_C} e^{-j\beta z} - \frac{v^-(0)}{Z_C} e^{+j\beta z} \end{cases}$$

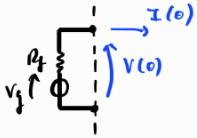
$$i^+(z) = \frac{v^+(z)}{Z_C} \quad i^-(z) = -\frac{v^-(z)}{Z_C} \Rightarrow i(z) = \frac{v^+(0)}{Z_C} e^{-j\beta z} [1 - \Gamma(z)]$$



$$V(z) = V^+(z) + V^-(z) = V^+(z)[1 + \Gamma(z)] = V^+(0)e^{-\gamma z} [1 + \Gamma(z)]$$

$$I(z) = I^+(z) + I^-(z) = I^+(z)[1 - \Gamma(z)] = \frac{V^+(0)}{Z_c} e^{-\gamma z} [1 - \Gamma(z)]$$

in $z=0$



$$\Rightarrow V(0) = V_g - I(0)R_g \quad (LKT)$$

$$\Rightarrow V^+(0)[1 + \Gamma(0)] = V_g - R_g \frac{V^+(0)}{Z_c} [1 - \Gamma(0)]$$

dove $\Gamma(0) = \Gamma(z=0) = \Gamma_L e^{-2\gamma l}$

$$\Gamma(z) = \Gamma_L \cdot e^{-2\gamma\beta(l-z)}$$

$$= \frac{z_L - Z_c}{z_L + Z_c}$$

caso gen. adattato alla linea ($R_g = Z_c$)

R_g, Z_c reali

$$\Rightarrow V^+(0)[1 + \Gamma(0)] = V_g - \frac{V_g}{Z_c} \frac{V^+(0)}{Z_c} [1 - \Gamma(0)] \Rightarrow V^+(0) = \frac{V_g}{2}$$

caso adattato alla linea ($Z_L = Z_c$)

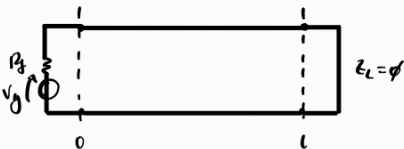
$$\Gamma_L = \frac{Z_L - Z_c}{Z_L + Z_c} = 0 \Rightarrow V^-(z) = 0 \quad \text{non c'è componenti riflessa (progressiva)}$$

$$V(z) = \frac{V_g}{2} e^{-\gamma z}, \quad I(z) = \frac{V_g}{2Z_c} e^{-\gamma z}$$

$$|V(z)| = \frac{|V_g|}{2} \text{ cost.}$$



caso $Z_L = 0$ (cortocircuito)



$$\Rightarrow \Gamma_L = \frac{0 - Z_c}{0 + Z_c} = -1$$

$$\Rightarrow V(z) = \frac{V_g}{2} \cdot e^{-\gamma z} \cdot [1 - e^{-2\gamma\beta(l-z)}]$$

$$= \frac{V_g}{2} e^{-\gamma z} \cdot [e^{\gamma\beta(l-z)} - e^{-\gamma\beta(l-z)}]$$

$$= \frac{V_g}{2} \cdot e^{-\gamma z} \cdot 2j \sin[\beta(l-z)]$$

$$\Rightarrow |V(z)| = |V_g| \cdot |\sin(\beta d)|$$

$\Rightarrow V(z)$ è puramente stazionaria

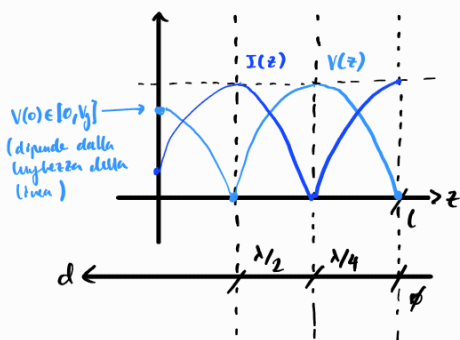
max. per $\beta d = (2n+1)\pi/2$

$$\Rightarrow \frac{2\pi}{\lambda} d = (2n+1)\pi/2$$

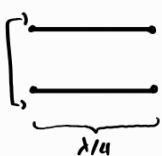
$$\Rightarrow d = (2n+1)\lambda/4 \quad n \in \mathbb{N}$$

$$\Rightarrow I(z) = \frac{V_g}{2Z_c} e^{-\gamma z} [1 + e^{-2\gamma\beta(l-z)}]$$

$$\Rightarrow |I(z)| = \frac{|V_g|}{Z_c} \cdot |\cos(\beta d)|$$



le mi pongo in $d = \lambda/4$:

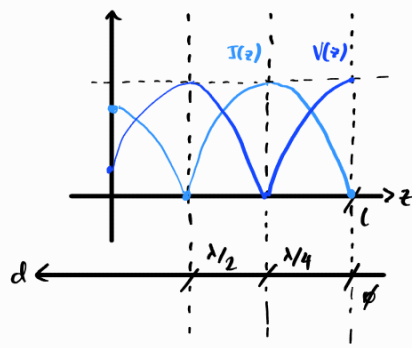


Cioè se realizzo una linea di trasm. lunga $d = \lambda/4$, con un $Z_L = 0$ (cioè un corto) vedo una $Z_{eq} = \infty$ cioè un cortocircuito perché arrivo tensione max = V_g e corrente nulla

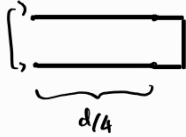
Caso $Z_L \rightarrow \infty$ (aperto)

$\Rightarrow \Gamma_L = \frac{Z_L - Z_c}{Z_L + Z_c} = 1 \Rightarrow |\Gamma_L| = 1$

$V(z) = \frac{V_g}{2} e^{-j\beta z} \cdot [1 + e^{-j2\beta(l-z)}] \Rightarrow |V(d)| = |V_g| \cdot |\cos(\beta d)|$
 e analoga: $\Rightarrow |I(d)| = |\frac{V_g}{Z_c}| \cdot |\sin(\beta d)|$



in $\lambda/4$:



questa volta vedo un corto!
(corrente massima, tensione 0)

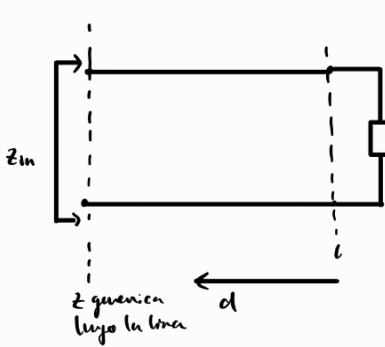
cioè il corto $Z_L = \infty$ (aperto) si comporta da corto circuito

Caso gen. non adattato alla linea ($Z_g \neq Z_c$)

(LKT in $z=0$) $\Rightarrow V^+(0) \cdot [1 + \Gamma(0)] = V_g - \frac{Z_g}{Z_c} \cdot [1 - \Gamma(0)] \cdot V^+(0)$

$\Rightarrow V^+(0) \left\{ 1 + \Gamma(0) + \frac{Z_g}{Z_c} [1 - \Gamma(0)] \right\} = V_g \Rightarrow V^+(0) = \frac{V_g}{1 + \Gamma_L e^{-j2\beta l} + \frac{Z_g}{Z_c} \cdot [1 - e^{-j2\beta l}]}$ (se $Z_g = Z_c \Rightarrow V^+(0) = V_g/2$)
 complesso!

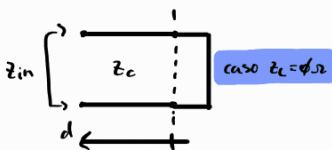
• cioè l'onda progressiva V^+ amplificata nella linea non è detto che sia in fase con V_g



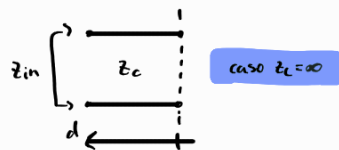
$Z_{in}(z) = \frac{V(z)}{I(z)} = \frac{V^+(z) e^{-j\beta z} [1 + \Gamma(z)]}{I^+(z) e^{-j\beta z} [1 - \Gamma(z)]} = Z_c \cdot \frac{1 + \Gamma(z)}{1 - \Gamma(z)}$
 $(\Gamma(z) = \Gamma_L e^{-j2\beta(l-z)})$

$\Rightarrow Z_{in}(d) = Z_c \cdot \frac{1 + \Gamma(d)}{1 - \Gamma(d)} = Z_c \cdot \frac{1 + \Gamma_L e^{-j2\beta(l-d)}}{1 - \Gamma_L e^{-j2\beta(l-d)}} \Rightarrow Z_{in}(d) = Z_c \cdot \frac{Z_L + jZ_c \tan(\beta d)}{Z_c + jZ_L \tan(\beta d)}$

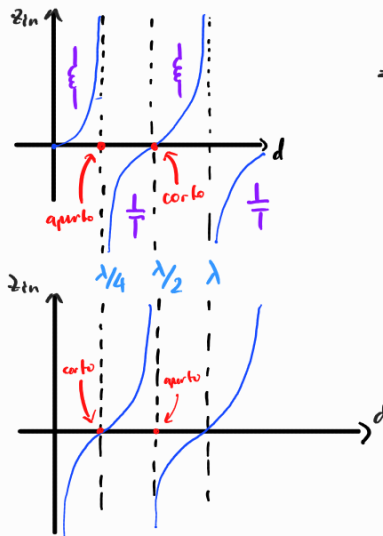
legge delle trasformaz. delle impedenze



Caso $Z_c = jX$



Caso $Z_c = 0$



$\Rightarrow Z_{in}(d) = jZ_c \tan(\beta d)$
 sempre immaginaria (reattura)

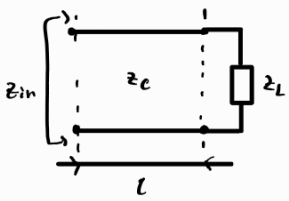
se $\text{Im}[Z] < 0 \Rightarrow$ impedenza capacitiva (X_{sc})
 se $\text{Im}[Z] > 0 \Rightarrow$ impedenza induttiva (X_{sl})

$\Rightarrow Z_{in}(d) = Z_c \cdot \frac{1}{jZ_L \tan(\beta d)} = -jZ_c Z_L \cdot \frac{1}{\tan(\beta d)} = -jZ_c Z_L \cotan(\beta d)$

**rapporto onda stazionaria (ROS)
standing wave ratio (SWR)**

$ROS = \frac{|V_{max}(z)|}{|V_{min}(z)|} = \frac{|V^+ \cos| \cdot |1 + \Gamma_L|}{|V^+ \cos| \cdot |1 - \Gamma_L|} = \frac{|1 + \Gamma_L|}{|1 - \Gamma_L|}$

$1 \leq ROS \leq \infty \quad \begin{cases} \infty & \text{se } |\Gamma_L| = 1 \\ 1 & \text{se } |\Gamma_L| = 0 \end{cases}$

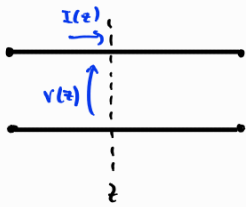


così notevoli:

* $z_c = z_L \Rightarrow B_{in}(z) = z_L = z_c$

* $l = \frac{\lambda}{4} \Rightarrow B_{in}(z = \frac{\lambda}{4}) = \frac{z_c^2}{z_L}$ (invertitore di impedenza / trasformazione)

flusso di potenza (media)



In z:

$\Rightarrow P(z) = \frac{1}{2} Re [V(z) \cdot I^*(z)] = \frac{1}{2} Re [V^+(z) \cdot e^{-j\beta z} \cdot [1 + \Gamma(z)] \cdot \frac{V^+(z)}{z_c} \cdot [1 - \Gamma^*(z)]]$

$(\Gamma(z) = \Gamma_L \cdot e^{-2j\beta(l-z)})$
 \uparrow
 $\frac{z_c - z_L}{z_c + z_L}$

$\Rightarrow P(z) = \frac{1}{2} Re \left[\frac{|V^+(z)|^2}{z_c} \cdot \underbrace{(1 - |\Gamma(z)|^2)}_{2Im} \right]$
 $\left[\begin{matrix} a+jb - (a-jb) \\ = 2jb \end{matrix} \right]$

$\Rightarrow P(z) = \frac{1}{2} \cdot \frac{|V^+(z)|^2}{z_c} \cdot (1 - |\Gamma(z)|^2) \Rightarrow P(z) = \frac{1}{2} \cdot \frac{|V^+(z)|^2}{z_c} \cdot (1 - |\Gamma_L|^2)$ (non dipende da z)

$P^+(z) = \frac{1}{2} Re [V^+(z) \cdot I^{*+}(z)] = \frac{1}{2} Re [V^+(z) e^{-j\beta z} \cdot \frac{V^+(z)}{z_c} \cdot e^{+j\beta z}] \Rightarrow P^+(z) = \frac{1}{2} \frac{|V^+(z)|^2}{z_c}$

$P^-(z) = \frac{1}{2} Re [V^-(z) \cdot I^{-*}(z)] = \frac{1}{2} Re [V^-(z) e^{+j\beta z} \cdot \frac{-V^-(z)}{z_c} \cdot e^{-j\beta z}] \Rightarrow P^-(z) = -\frac{1}{2} \frac{|V^-(z)|^2}{z_c}$
 \uparrow
 $[I^-(z) = -\frac{V^-(z)}{z_c} \cdot e^{-j\beta z}]$

- per $z_c = \phi$ o $z_c = \infty \Rightarrow |\Gamma_L| = 1 \Rightarrow P(z) = \phi$ (come ci aspettiamo d'altronde, cortocircuito e aperto non assorbono potenza)
- anche nel caso di carichi reattivi $z_L = jX \Rightarrow |\Gamma_L| = 1 \Rightarrow P(z) = \phi$ (come è giusto che sia, sono elementi passivi - $P_{media} = \phi$)

\uparrow
 $\left[\left| \frac{z_c - jX}{z_c + jX} \right| = \frac{z_c^2 + X^2}{z_c^2 + X^2} = 1 \right]$

carta di Smith

$\Gamma = \rho + j\eta$

$\bar{z}_L = \frac{z_L}{z_c}$ (impedenza di carico, normalizzata all'impedenza della linea)

$\Rightarrow \bar{z}_{in}(z) = z_c \cdot \frac{1 + \Gamma(z)}{1 - \Gamma(z)} = \frac{1 + \Gamma(z)}{1 - \Gamma(z)}$ (per $z_c = 1$)
 $\bar{z} = r + jx \Rightarrow r + jx = \frac{1 + \rho + j\eta}{1 - \rho - j\eta}$

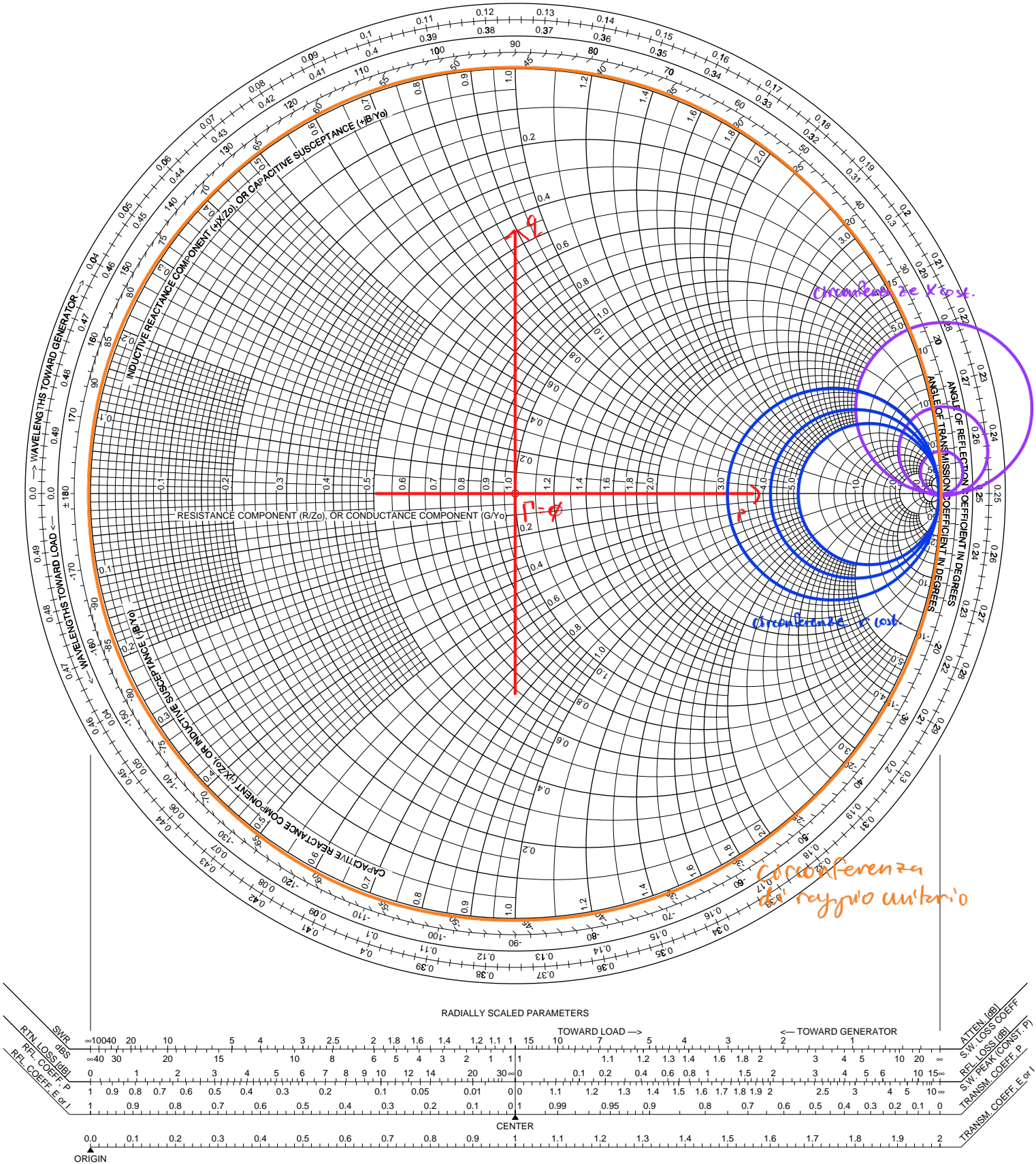
$\Rightarrow \begin{cases} (\rho - \frac{x}{1+r})^2 + \eta^2 = \frac{1}{(1+r)^2} \quad (Re) \\ (\rho - 1)^2 + (\eta - \frac{1}{x})^2 = \frac{1}{x^2} \quad (Im) \end{cases}$

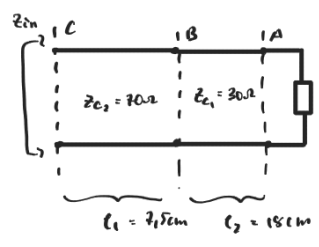
se $r \wedge x \cos \theta$.
 \hookrightarrow le eq. descrivono delle circonferenze

Smith Chart

by WA3VPZ

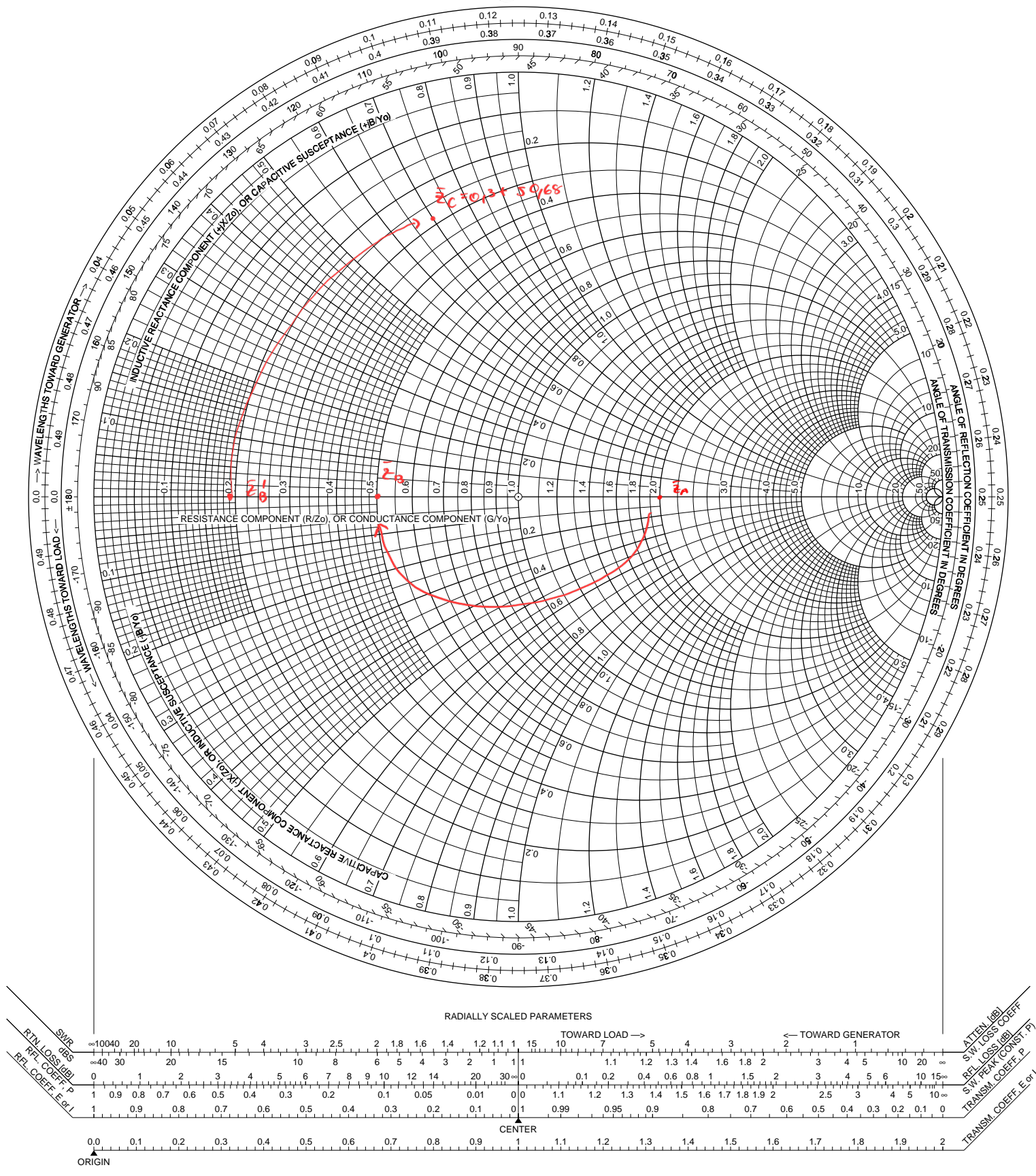
al di fuori della circonferenza di raggio unitario Γ_0 impedenze negative, non mi interessano



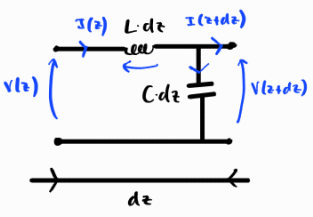


$v = |GHE \rightarrow \lambda = \frac{c}{v} = 30 \text{ cm}$

- ① $\bar{z}_A = 2$
 $\frac{l_1}{\lambda} = 0,25 \rightarrow$ mezzo $\frac{1}{2}$ giro
- ② $\bar{z}_B = \bar{z}_A \cdot z_{c1} \cdot \frac{1}{z_{c2}} = 0,21$
 (normalizzato) (normalizzato)
- ③ $\frac{l_2}{\lambda} = 0,5 \rightarrow 0,5 + 0,1$
 (giro)
- ④ $z_c = \bar{z}_B \cdot z_{c2} = 22 + j47,5 \Omega$



modello circuitale (senza perdite)



• l'induttanza tiene conto del campo magnetico generato dalle correnti, la capacità tiene conto della tensione
 $L = [H/m]$
 $C = [F/m]$

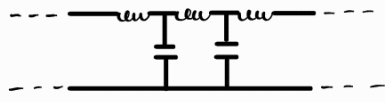
$$\Rightarrow \begin{cases} V(z+dz) = V(z) - \underbrace{J\omega L \cdot I(z)}_{V_e(z)} dz \\ I(z+dz) = I(z) - \underbrace{J\omega C V(z+dz)}_{I_c(z)} \cdot dz \end{cases}$$

$$\Rightarrow \frac{V(z+dz) - V(z)}{dz} = -J\omega L I(z) \Rightarrow \frac{dV(z)}{dz} = -J\omega L I(z)$$

$$\Rightarrow \frac{I(z+dz) - I(z)}{dz} = -J\omega C V(z+dz) \Rightarrow \frac{dI(z)}{dz} = -J\omega C V(z)$$

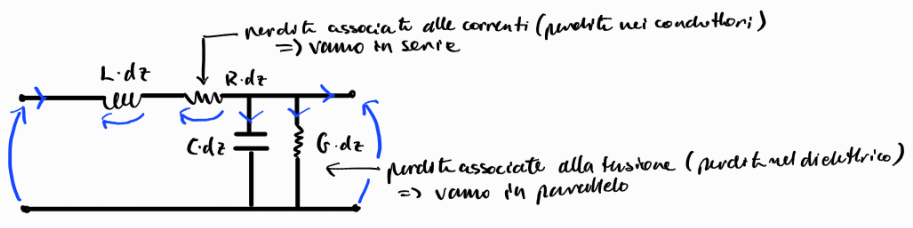
$$\Rightarrow \begin{cases} \frac{d^2 V(z)}{dz^2} = -\omega^2 LC V(z) \\ \frac{d^2 I(z)}{dz^2} = -\omega^2 LC I(z) \end{cases}$$

ritroviamo l'eq. dei telegrafi
 \hookrightarrow è un modello valido
 $(\gamma^2 = -\omega^2 LC, z_c = \sqrt{L/C})$



• non è un passa basso perché la freq. di taglio è \gg freq. di lavoro

caso con perdite



$$\begin{cases} V(z+dz) = I(z)(R+J\omega L)dz + V(z) \\ I(z+dz) = -V(z)(G+J\omega C)dz + I(z) \end{cases} \Rightarrow \dots \Rightarrow \begin{cases} V(z) = V^+(0)e^{-\gamma z} + V^-(0)e^{+\gamma z} \\ I(z) = I^+(0)e^{-\gamma z} + I^-(0)e^{+\gamma z} \end{cases}$$

con $\gamma = \sqrt{(R+J\omega L)(G+J\omega C)}$

$z_c = \frac{V^+(0)}{I^+(0)} = \sqrt{\frac{R+J\omega L}{G+J\omega C}}$ \leftarrow con perdite ho z_c complex.

• faremo l'ipotesi che le perdite saranno "piccole": $\begin{cases} \omega L \gg R \\ \omega C \gg G \end{cases}$

$z_c \sim \sqrt{L/C}$ (reale)

$\gamma = \sqrt{-\omega^2 LC + J\omega RC + J\omega LG + \alpha^2} \sim \sqrt{-\omega^2 LC + J\omega(RC+LG)}$ $\Rightarrow \gamma = J\omega \sqrt{LC} \cdot \sqrt{1 - \frac{J\omega(RC+LG)}{\omega^2 LC}}$ $\sim J\omega \sqrt{LC} \cdot (1 - \frac{J}{2} \frac{RC+LG}{\omega^2 LC}) = \underbrace{J\omega \sqrt{LC}}_{\beta} + \underbrace{\frac{CR+LG}{2\sqrt{LC}}}_{\alpha}$
 [rad/m] [Np/m]

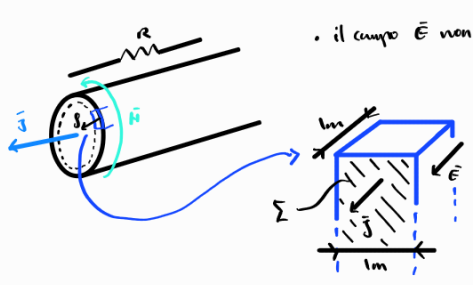
$\Rightarrow \alpha = \frac{R}{2z_c} + \frac{Gz_c}{2}$
 α_c α_0

α_c : perdite associate ai conduttori
 α_0 : perdite associate ai dielettrici

$\sqrt{1+x} \sim 1 + \frac{x}{2}$ per x piccolo
 (essendo R, G piccoli: numeratore e denominatore)

calcolo di R

Hq. buon conduttore ($\sigma \gg \omega \epsilon$) $\Rightarrow \alpha \gg \beta$



• il campo E non può penetrare in profondità $\Rightarrow \vec{j} = \sigma \vec{E} \Rightarrow \vec{E}, \vec{j}$ rimangono confinati nella corona circolare "esterna" di spessore δ (per la maggior parte)

$$P_{dissipata} = \frac{1}{2} R |I|^2$$

$$\gamma_c = \alpha + j\beta = \frac{1}{\delta} (1 + j) \quad (\text{in un buon conduttore } \alpha = \beta = \frac{1}{\delta})$$

$$\Rightarrow P_{dissipata} = \frac{1}{2} \iiint_V r |\vec{E}|^2 dV = \frac{1}{2} \int_0^\infty r |\vec{E}(r)|^2 dr$$

\vec{E} varia solo in r ,
è cost. nelle altre
direzioni

$$|\vec{E}(r)| = |E(\rho)| \cdot |e^{-\gamma_c r}| = |E(\omega)| \cdot |e^{-\alpha r} \cdot e^{-j\beta r}| = |E(\omega)| e^{-\alpha r} = \frac{|j\omega|}{\sigma} \cdot e^{-r/\delta}$$

$$\Rightarrow P_{dissipata} = \frac{1}{2} \frac{|j\omega|^2}{\sigma} \int_0^\infty e^{-2\alpha r} dr = \frac{|j\omega|^2}{4\sigma\alpha} = \frac{|j\omega|^2 \delta}{4\sigma}$$

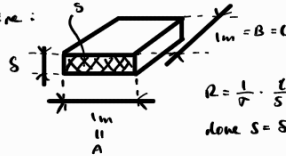
$$I = \iint_S \vec{j} \cdot \hat{u}_n dS = \int_0^\infty j(\rho) d\rho = \int_0^\infty j(\omega) e^{-\gamma_c r} dr = j(\omega) \int_0^\infty e^{-\gamma_c r} dr = \frac{j(\omega)}{\gamma_c} = \frac{j(\omega) \delta}{1 + j} \Rightarrow |I| = \frac{|j\omega| \delta}{\sqrt{2}}$$

$$\Rightarrow \frac{|j\omega|^2 \delta}{4\sigma} = \frac{1}{2} |I|^2 R = \frac{1}{2} \frac{|j\omega|^2}{2} \delta^2 \cdot R \Rightarrow R_s = \frac{1}{\sigma \delta} [\Omega] = 1^2 / \square$$

Inchiamo
resistenza
superficiale: R_s

è come dire:

un blocco di $1m \times 1m \times \text{"infinito"}$



$$R = \frac{l}{\sigma \cdot S}$$

$$\text{dove } S = S \cdot A = \delta \cdot \frac{1m}{1m}$$

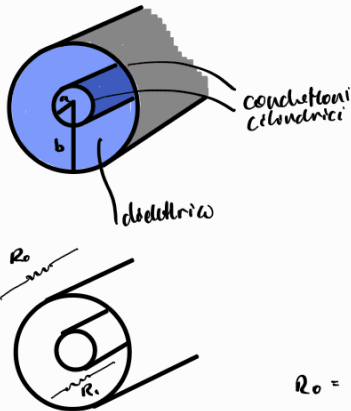
$$\Rightarrow R = \frac{1}{\sigma \delta}$$

$$\Rightarrow R = R_s \cdot \frac{1m}{2\pi a} \quad (R = \rho \cdot \frac{l}{S} \text{ con } l = 1m, S = S \cdot 2\pi a, \rho = \frac{1}{\sigma})$$



in RF uso solo una piccola S quindi tendenzialmente R grande

conduttore coassiale con perdite



$$\epsilon = \epsilon' - j\epsilon''$$

$$z_0 = \sqrt{j\epsilon}$$

$$L = \frac{\mu_0}{2\pi} \ln(b/a) \quad [H/m]$$

$$C = \frac{2\pi\epsilon'}{\ln(b/a)}$$

$$R_s = \frac{1}{\sigma \delta} \uparrow = \sqrt{\frac{\pi \nu \mu}{\sigma}} = \sqrt{\frac{\omega \mu}{2\sigma}} \quad [\Omega/\square]$$

$$\delta = \frac{1}{\sqrt{\pi \nu \mu \sigma}}$$

$$|V_{max}| = |E_{max}| \cdot \ln\left(\frac{b}{a}\right) \cdot r \uparrow$$

raggio

$$\left. \begin{aligned} R_0 &= R_s \cdot \frac{1}{2\pi b} \\ R_1 &= R_s \cdot \frac{1}{2\pi a} \end{aligned} \right\} \Rightarrow R^{TOT} = R_0 + R_1 = \frac{R_s}{2\delta} \left(\frac{1}{a} + \frac{1}{b} \right)$$

li sommo perché passano
la stessa corrente nei
due conduttori \Rightarrow sono in serie

$$\frac{G}{C} = \frac{\sigma_0}{\epsilon}$$

con $\sigma_0 = \omega \epsilon''$ (conduttività equivalente)

ϵ della capacità
(ϵ' in questo caso)

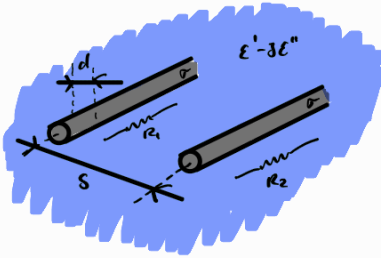
$$\Rightarrow G = \frac{2\pi}{\ln(b/a)} \cdot \omega \epsilon''$$

$$\Rightarrow z_c = \sqrt{\frac{L}{C}} = \frac{1}{2\pi} \ln(b/a)$$

$$\Rightarrow \left\{ \begin{aligned} \alpha_c &= \frac{R}{2z_c} \\ \alpha_0 &= \frac{G \cdot z_c}{2} = \frac{\pi}{\lambda} \cdot \frac{\epsilon''}{\epsilon'} \end{aligned} \right.$$

per tutte le strutture TEM

linea bifilare



$$C = \frac{\pi \epsilon'}{\operatorname{arccosh}(s/2a)}$$

$$L = \frac{\mu}{2\pi} \operatorname{arccosh}(s/2a)$$

$$Z_c = \frac{\eta}{2} \operatorname{arccosh}(s/2a)$$

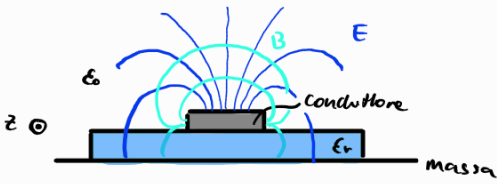
$$R = \frac{2Q_s}{\pi d} \cdot \left(\frac{s/2a}{\sqrt{(s/2a)^2 - 1}} \right)$$

$R_1 + R_2$

fattore correttivo che tiene conto dell'induzione tra i due conduttori. Altrimenti che $\rightarrow 1$ per $\frac{s}{d} \rightarrow \infty$ cioè per conduttori sottili e distanti.

linee quasi-TEM

e.s. microstriscia (l'onda si propaga verso z)

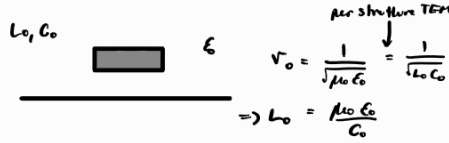


• passando da un mezzo all'altro ($\epsilon_0 \rightarrow \epsilon_r$) cambia la velocità dell'onda e quindi non può essere TEM

• ho un po' di onda in ϵ_0 e un po' in ϵ_r

• per soddisfare le condizioni al contorno fra aria e dielettrico deve \exists una piccola componente trasversale lungo z \Rightarrow non è un'onda puramente TEM. In prima battuta però la considero TEM perché c'è una piccola componente

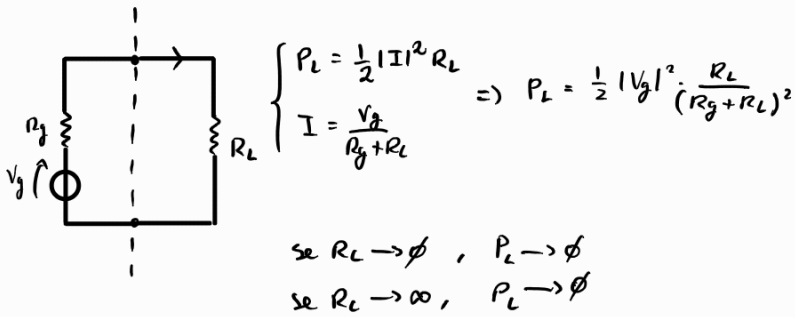
$L = L_0$ (non dipende dal dielettrico) \Rightarrow



$$L \rightarrow \begin{cases} z_0 = \sqrt{\frac{L_0}{C}} \\ v = \frac{1}{\sqrt{L_0 C}} \end{cases}$$

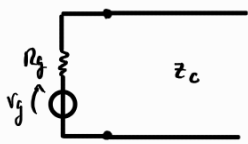
$L_0 C = \mu_0 \epsilon_{eff}$ $\epsilon_0 \leq \epsilon_{eff} \leq \epsilon_r$ dipende da come è fatta la struttura

adattamento di impedenza



• per trovare il massimo: $\frac{\partial P_L}{\partial R_L} = 0 \Rightarrow \frac{\partial P_L}{\partial R_L} = \frac{1}{(R_g + R_L)^2} - \frac{2R_L}{(R_g + R_L)^3} = 0 \Rightarrow R_L = R_g$ per avere max. trasferimento al carico

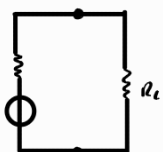
$\hookrightarrow (R_L = R_g) \Rightarrow P_{L|max} = \frac{1}{8} \frac{|V_g|^2}{R_g} = P_d$ potenza disponibile (la max potenza che un generatore può trasferire al carico)



per $z_c = R_g \Rightarrow v^+(0) = \frac{V_g}{2}$

$\Rightarrow P^+(0) = \frac{1}{2} \cdot \frac{|V^+(0)|^2}{z_c} = \frac{|V_g|^2}{8 R_g}$ cioè la max. erogazione di potenza si ha con l'adattamento alla linea

$P_L = P^+(0) (1 - |\Gamma_L|^2)$ se il carico non è adattato rimette una parte della potenza nella linea



$$P_L = P^+(0) (1 - |\Gamma_L|^2) = \frac{|V_g|^2}{8 R_g} \left[1 - \frac{(R_L - R_g)^2}{(R_L + R_g)^2} \right] \quad (|\Gamma_L| = \frac{R_L - R_g}{R_L + R_g})$$

$$\Rightarrow P_L = \frac{|V_g|^2}{8 R_g} \cdot \frac{4 R_L R_g}{(R_L + R_g)^2} = \frac{1}{2} |V_g|^2 \frac{R_L}{(R_L + R_g)^2}$$

\hookrightarrow la teoria delle linee include le equaz. di elettrotecnica

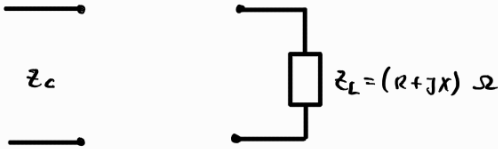
consideriamo la linea infinitamente corta \Rightarrow parametri concentrati \Rightarrow (se così non fosse non vedrei $z_{in} = R_L$)

è un modello a parametri concentrati

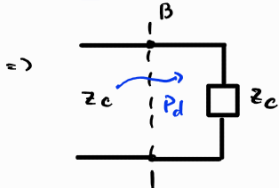
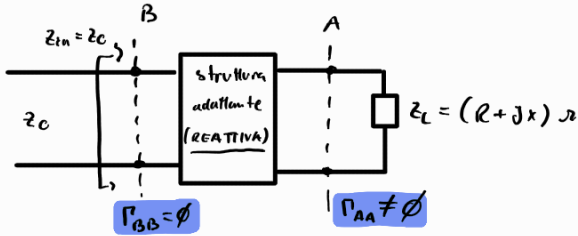
struttura di adattamento

$$z_c \neq z_L \Rightarrow \Gamma_L = \frac{z_L - z_c}{z_L + z_c} \neq 0$$

↳ per via del disadattamento delle impedenze una parte della potenza viene riflessa



per z_c, z_L fissi \Rightarrow introduco una linea di adattamento

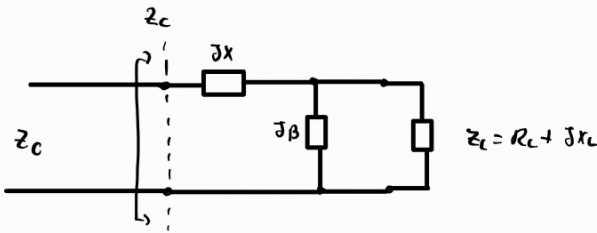


($z_L +$ struttura) assorbono la max potenza \Rightarrow come se la ripartiscono?

↳ struttura è reattiva \Rightarrow non assorbe potenza reale

nonostante $\Gamma_{AA} \neq 0$, per effetto di riverberazioni multiple tutta la potenza reale finisce a z_L

reti ad "L"



$$z_c = jX + \frac{1}{jB + \frac{1}{R_L + jX_L}}$$

$$\begin{cases} R_L - z_c = B(XR_L - X_L z_c) & [Re] \\ X(1 - BX_L) = Bz_c R_L - X_L & [Im] \end{cases}$$

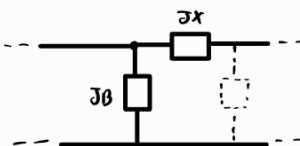
$$\Rightarrow \begin{cases} B = \frac{X_L \pm \sqrt{\frac{R_L}{z_c} \cdot \sqrt{R_L^2 + X_L^2 - z_c R_L}}}{R_L^2 + X_L^2} \\ X = \frac{1}{B} + \frac{X_L z_c}{R_L} - \frac{z_c}{B R_L} \end{cases}$$

ci sono specifiche particolari vanno bene sia la sol. + che quella -

il problema è che: $R_L^2 + X_L^2 - z_c R_L \geq 0 \Rightarrow$ se così non fosse B sarebbe immaginaria e jB avrebbe parte reale (struttura non più solo reattiva)

verificato per $G_L < G_c = \frac{1}{z_c}$

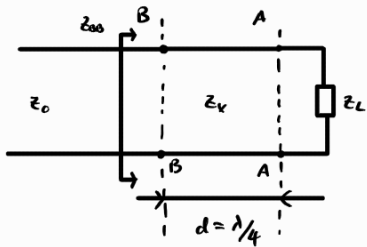
se non è verificato cambio struttura:



$$\Rightarrow \begin{cases} X = \pm \sqrt{R_L(z_c - R_L)} - X_L \\ B = \pm \frac{\sqrt{(z_c - R_L)/R_L}}{z_c} \end{cases}$$

- trasformatore $N/4$
- trasformatore $N/4$ con neutralizzazione
- stub semplice
- doppio stub

trasformatore $\lambda/4$



$$Z_{0B} = Z_X \frac{Z_L + jZ_X \tan(\beta d)}{Z_X + jZ_L \tan(\beta d)}$$

per $d = \frac{\lambda}{4} \Rightarrow Z_{0B} = \frac{Z_X^2}{Z_L} = Z_0 \Rightarrow Z_X = \sqrt{Z_0 Z_L}$

adattamento

- un altro svantaggio è che funziona a una sola freq.
- altro svantaggio è che devo realizzare una linea di un preciso valore che non è sempre commercialmente trovabile

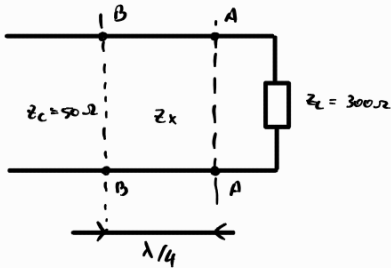
$$\beta = \frac{2\pi}{\lambda} \Rightarrow \beta \cdot \frac{\lambda}{4} = \frac{2\pi}{\lambda} \cdot \frac{\lambda}{4} = \frac{\pi}{2}$$

$$\Rightarrow \tan\left(\beta \cdot \frac{\lambda}{4}\right) \rightarrow \infty$$

Z_X, Z_0 reali puri sono impedenze di linea

$\Rightarrow Z_L$ deve essere pur forza reale cioè questa struttura può adattarsi solo a carichi reali

↑
è molto limitati

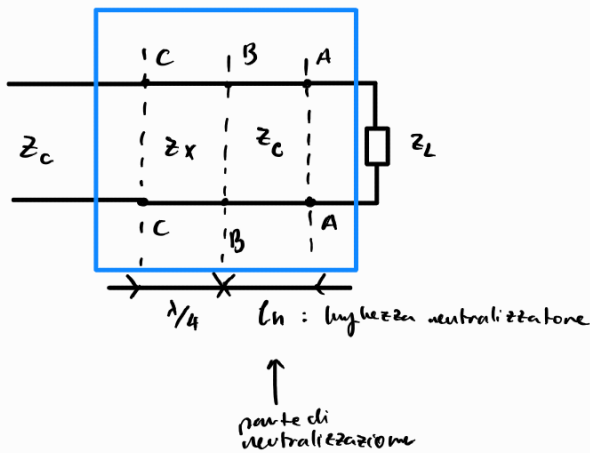


$$Z_X = \sqrt{300 \cdot 50} = 122,5 \Omega$$

come prima, $\Gamma_{BB} = \emptyset$ ma $\Gamma_{AA} \neq \emptyset$

↳ me lo spiega sempre con le rinvierazioni;

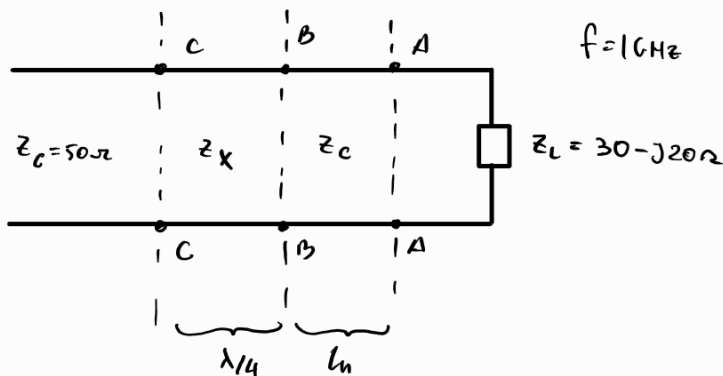
trasformatore $\lambda/4$ con neutralizzazione



↑
parte di neutralizzazione

il neutralizzatore fa sì che in B vedo solo impedenza reale

C.S.



$$\Gamma_{CC} = \emptyset$$

$$f = 1 \text{ GHz}$$

$$\bar{Z}_L = \frac{Z_L}{Z_0} = \frac{30 - j20}{50} = 0,6 - j0,4 = \bar{Z}_{BA}$$

$$\lambda = \frac{c}{f} = 0,3 \text{ m}$$

$$\Rightarrow \text{ruoto di } 0,082 \lambda$$

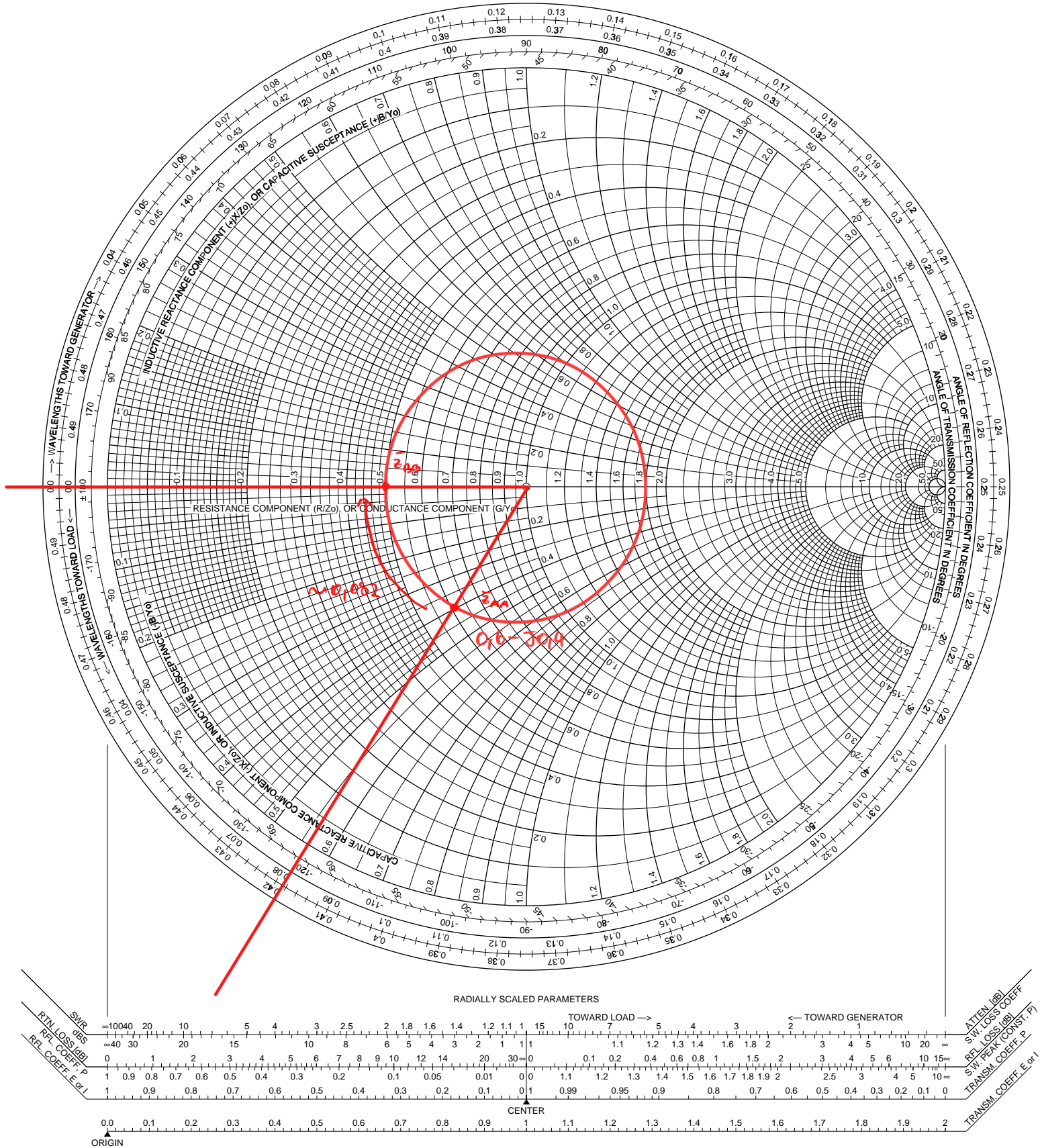
$$\Rightarrow \underline{ln = 0,082 \lambda = 2,46 \text{ cm}}$$

$$\Rightarrow Z_{0B} = \bar{Z}_{BA} \cdot Z_0 = 24,5 \Omega$$

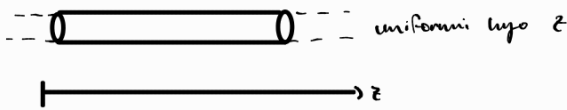
$$\Rightarrow Z_X = \sqrt{Z_{0B} \cdot Z_0} = 35 \Omega$$

Smith Chart

by WA3VPZ



linee non TEM



$$\begin{cases} \vec{E}(x,y,z) = \vec{E}(x,y) \cdot e^{-\gamma z} \\ \vec{H}(x,y,z) = \vec{H}(x,y) \cdot e^{-\gamma z} \end{cases} \quad \gamma \text{ complesso: } \gamma = \alpha + j\beta$$

(con le onde TEM \vec{E} era cost. sul piano xy , non aveva questa dipendenza (x,y))

$\vec{E}(x,y,z) = E_x(x,y,z)\hat{u}_x + E_y(x,y,z)\hat{u}_y + E_z(x,y,z)\hat{u}_z$ (molto più generico del caso di linee TEM)
 (analoga per \vec{H}) era trascurabile nelle TEM

confronta con TEM

continua a valere: $\begin{cases} \nabla^2 \vec{E} = -k^2 \vec{E} \\ \nabla^2 \vec{H} = -k^2 \vec{H} \end{cases}$ con $k^2 = \omega^2 \mu \epsilon$ (eq. Helmholtz)

$$\nabla^2 = \frac{\partial^2}{\partial x^2} + \frac{\partial^2}{\partial y^2} + \frac{\partial^2}{\partial z^2} = \nabla_t^2 + \frac{\partial^2}{\partial z^2}$$

∇_t^2 : trasverso

ma $\frac{\partial^2 \vec{E}}{\partial z^2} = \gamma^2 \vec{E}(x,y,z)$

$$\nabla^2 \vec{E} = -k^2 \vec{E} \Rightarrow \nabla_t^2 \vec{E} = -(\gamma^2 + k^2) \vec{E}$$

analoga: $\nabla_t^2 \vec{H} = -(\gamma^2 + k^2) \vec{H} \Rightarrow \begin{cases} \nabla_t^2 \vec{E} = -(\gamma^2 + k^2) \vec{E} \\ \nabla_t^2 \vec{H} = -(\gamma^2 + k^2) \vec{H} \end{cases}$

2-3 eq. scalari

(in assenza di sorgenti)

$$\nabla \times \vec{E} = -j\omega \mu \vec{H} \Rightarrow \begin{cases} \frac{\partial E_z}{\partial y} + \gamma E_y = -j\omega \mu H_x \\ -\gamma E_x - \frac{\partial E_z}{\partial x} = -j\omega \mu H_y \\ \frac{\partial E_y}{\partial x} - \frac{\partial E_x}{\partial y} = -j\omega \mu H_z \end{cases}$$

$$\nabla \times \vec{H} = j\omega \epsilon \vec{E} \Rightarrow \begin{cases} \frac{\partial H_z}{\partial y} + \gamma H_y = j\omega \epsilon E_x \\ -\gamma H_x - \frac{\partial H_z}{\partial x} = j\omega \epsilon E_y \\ \frac{\partial H_y}{\partial x} - \frac{\partial H_x}{\partial y} = j\omega \epsilon E_z \end{cases}$$

ostiamo E_z e H_z come var. indipendenti (esprimono tutto in funz. di E_z e H_z)

$$\Rightarrow \begin{cases} E_x = -\frac{1}{\gamma^2 + k^2} \left(\gamma \frac{\partial E_z}{\partial x} + j\omega \mu \frac{\partial H_z}{\partial y} \right) & H_x = \frac{1}{\gamma^2 + k^2} \left(j\omega \epsilon \frac{\partial E_z}{\partial y} - \gamma \frac{\partial H_z}{\partial x} \right) \\ E_y = \frac{1}{\gamma^2 + k^2} \left(-\gamma \frac{\partial E_z}{\partial y} + j\omega \mu \frac{\partial H_z}{\partial x} \right) & H_y = -\frac{1}{\gamma^2 + k^2} \left(j\omega \epsilon \frac{\partial E_z}{\partial x} + \gamma \frac{\partial H_z}{\partial y} \right) \end{cases}$$

$$\underline{\gamma^2 + k^2 = k_c^2}$$

E_z e H_z le ricaviamo dalle eq. di Helmholtz

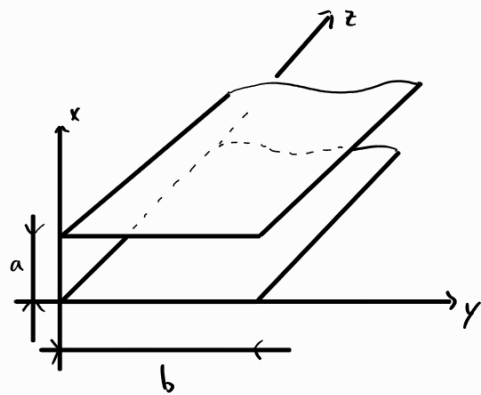
$$\hookrightarrow \begin{cases} \nabla_t^2 E_z = -k_c^2 E_z \\ \nabla_t^2 H_z = -k_c^2 H_z \end{cases}$$

$E_z = \phi$; $H_z = \psi \Rightarrow$ TEM per def. non ammette componenti lungo la direz. di propagaz.

$$E_z = \emptyset; H_z \neq \emptyset \Rightarrow \text{TE (trasverso elettrico)}$$

$$E_z \neq \emptyset; H_z = \emptyset \Rightarrow \text{TM (trasverso magnetico)}$$

$$E_z \neq \emptyset; H_z \neq \emptyset \Rightarrow \text{ibridi}$$



trascurare gli effetti di bordo cioè considerare la struttura che si estende all'∞

Caso TEM

$$E_z = H_z = \emptyset \Rightarrow \vec{E} \text{ e } \vec{H} \text{ nulli a meno che: } \gamma^2 + k^2 = \emptyset \quad (\text{ottengo } \frac{0}{0} \text{ forma indet.})$$

$$\Rightarrow \gamma^2 + k^2 = \emptyset \Rightarrow \gamma^2 = -k^2 = -\omega^2 \mu \epsilon \Rightarrow \gamma = \pm j\omega \sqrt{\mu \epsilon} = \pm j\beta \quad (\text{uguale al caso già trovato per le linee TEM})$$

$$\begin{cases} \nabla_t^2 \vec{E} = \emptyset \\ \nabla_t^2 \vec{H} = \emptyset \end{cases} \Rightarrow \vec{E} \text{ "statico"} \quad \nabla_t^2 \vec{H} = -(\gamma^2 + k^2) \vec{H}$$

$$\text{supponendo } \begin{cases} E_x = E_0 \\ E_y = \emptyset \end{cases} \Rightarrow \begin{cases} H_y = \frac{\gamma}{j\omega \mu} E_x \\ H_x = \emptyset \end{cases}$$

Caso TM

$$H_z = \emptyset; E_z \neq \emptyset$$

$$\Rightarrow \nabla_t^2 E_z = -k_c^2 E_z \quad \text{con } E_z(x, y, z) = E_z(x, y) \quad (\text{perché trascurare gli effetti di bordo})$$

↳ praticamente considero il conduttore esteso all'∞ anche lungo y

$$\hookrightarrow \frac{\partial^2 E_z}{\partial x^2} = -k_c^2 E_z$$

$$E_z(x) = A \sin(k_c x) + B \cos(k_c x) \quad \text{con } A, B, k_c \text{ da det.}$$

$$E_z \text{ in corrispondenza dei conduttori } E_z = \emptyset \quad \text{perché } E = \frac{E_{//}}{\emptyset} + E_{\perp} \quad \text{ma } E_z = E_{//} \quad (\text{condiz. al contorno})$$

$$\Rightarrow E_z(0) = E_z(a) = \emptyset$$

$$E_z(0) = \phi \Rightarrow B = \phi$$

$$E_z(a) = \phi \Rightarrow k_c \cdot a = m\pi \quad (\text{scarto } A = \phi \text{ semo' } \Rightarrow E_z = \phi \text{ e ricando nel modo TEM, ma sto cercando gli altri'})$$

ho ∞ modi!

$$m = 1, \dots, \infty \quad (\neq 0 \text{ semo' } k_c = \phi) \Rightarrow \text{TM}_m$$

$$\hookrightarrow k_c = \frac{m\pi}{a}$$

$$\Rightarrow E_z(x) = A \sin\left(\frac{m\pi x}{a}\right) \cdot e^{-\gamma z}$$

(fino ad adesso avevamo sottointeso il termine $e^{-\gamma z}$)

adesso ricavo le altre componenti di \vec{E}

$$\begin{cases} E_x = -\frac{1}{k_c^2} \cdot \frac{\partial E_z}{\partial x} = -\frac{\partial A}{m\pi} \cos\left(\frac{m\pi x}{a}\right) \cdot e^{-\gamma z} \\ E_y = \phi \end{cases}$$

$$\begin{cases} H_x = \phi \\ H_y = -A \frac{j\omega \epsilon_0}{m\pi} \cos\left(\frac{m\pi x}{a}\right) \cdot e^{-\gamma z} \end{cases}$$

($H_z = 0$ in quanto TE)

studiamo γ :

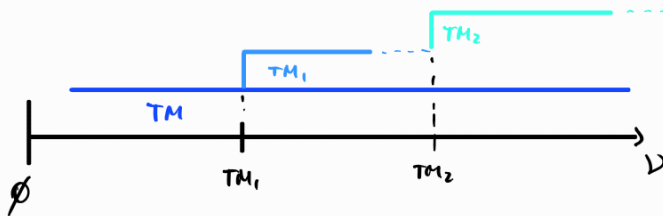
$$\gamma = \sqrt{k_c^2 - k^2} = \sqrt{\left(\frac{m\pi}{a}\right)^2 - \omega^2 \mu \epsilon}$$

$$\Rightarrow \left(\frac{m\pi}{a}\right)^2 - \omega^2 \mu \epsilon < \phi \quad \text{per avere } \gamma = j\beta \quad (\text{se fosse } \gamma \text{ reale cioe' } \gamma = \alpha \text{ avrei attenuaz., con } \gamma \text{ imm. ho propagaz.})$$

$\hookrightarrow \omega > \omega_c$ con $\omega_c = \frac{1}{\sqrt{\mu \epsilon}} \cdot \frac{m\pi}{a}$ pulsaz. di taglio, pulsaz. oltre la quale possono esistere modi raffrontati

$$\omega_c = 2\pi \nu_c = 2\pi \frac{c}{\lambda_c} \Rightarrow \lambda_c = 2a \frac{v}{\omega_c} \Rightarrow \lambda_c = \frac{2a}{h} \quad (v_c = \frac{v}{2a})$$

se voglio una struttura TEM
 $\hookrightarrow \lambda < \lambda_c = \frac{2a}{m}$ (altezza d'onda compatibile con dimensione della banda)
 semo' nascono modi non TEM



TM_1 : velocità di propagaz.?

$$\beta = \frac{2\pi}{\lambda} \quad \text{ma } \lambda = \frac{v_f}{\nu} \Rightarrow \beta = \frac{\omega}{v_f}$$

$$\gamma = j\omega \sqrt{\mu \epsilon} \cdot \underbrace{\sqrt{1 - \left(\frac{\omega_c}{\omega}\right)^2}}_{\beta} \quad (\omega > \omega_c)$$

$$v_f = \frac{\omega}{\beta \sqrt{\mu \epsilon}} = \frac{1}{\sqrt{\mu \epsilon} \cdot \sqrt{1 - \left(\frac{\omega_c}{\omega}\right)^2}} \Rightarrow v_f = \frac{v}{\sqrt{1 - \left(\frac{\omega_c}{\omega}\right)^2}}$$

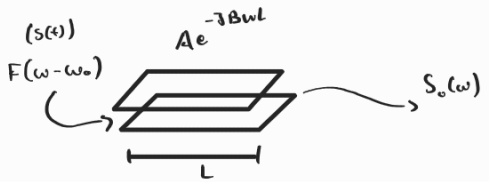
$$v_{\text{TEM}} \neq v_{\text{TM}_m}$$

velocità di fase
(è una velocità "apparente")

\hookrightarrow dispersione intranodale

nel vuoto $v=c \Rightarrow v_f > c$!!

va bene comunque perché non è la velocità dell'energia che invece non può superare quella della luce

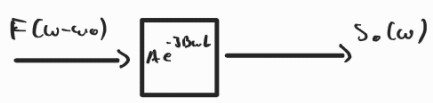


$$s(t) = f(t) \cdot \cos(\omega_0 t) = \text{Re} [f(t) e^{j\omega_0 t}]$$

$$\begin{aligned} f(t) &\rightarrow F(\omega) \\ s(t) &\rightarrow F(\omega - \omega_0) \quad (\text{considero solo } \omega > \omega_0) \end{aligned}$$



$$\Rightarrow S_0(\omega) = F(\omega - \omega_0) \cdot A e^{-j\beta \omega L}$$



nell'intorno di $\omega_0 \Rightarrow \beta(\omega) \sim \underbrace{\beta(\omega_0)}_{\beta_0} + \frac{\partial \beta}{\partial \omega} \Big|_{\omega=\omega_0} (\omega - \omega_0) + \dots = \beta_0 + \beta_0' \cdot \Delta \omega$

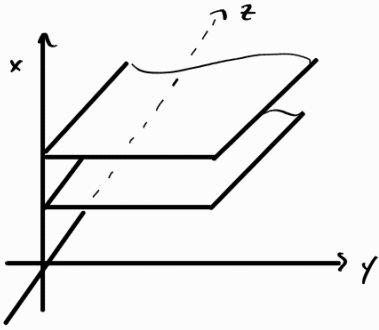
$$\begin{aligned} \Rightarrow S_0(\omega) &= A F(\omega - \omega_0) e^{-j\beta_0 L} \cdot e^{-j\beta_0' L \Delta \omega} \xrightarrow{\text{antitransformo}} s_0(t) = A f(t - \beta_0' L) \cdot \cos(\omega_0 t + \beta_0 L) \\ &\quad \underbrace{t - \beta_0' L = \tau}_{\Rightarrow \tau = \beta_0' L} \quad \underbrace{\cos(\omega_0 t + \beta_0 L)}_{v_f = \frac{\omega_0}{\beta_0}} \\ &\quad \Rightarrow \tau = \frac{1}{v_g} L \\ &\quad \hookrightarrow v_g = \frac{1}{\beta_0'} \end{aligned}$$

$$\frac{1}{\frac{d\beta}{d\omega}} = v_g = \sqrt{1 - \left(\frac{\omega_0}{\omega}\right)^2} < v \quad (\omega > \omega_0)$$

$$v_f = \frac{v}{\sqrt{1 - \left(\frac{\omega_0}{\omega}\right)^2}} = \frac{\omega}{\beta(\omega)}$$

Ma v_g che v_f dipendono da ω

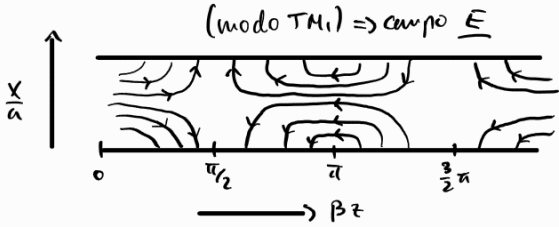
nel modo TEM il problema non si pone: $\beta = \omega \sqrt{\mu \epsilon} \Rightarrow v_f = \frac{\omega}{\beta} = \frac{1}{\mu \epsilon} = v$; $v_g = \frac{1}{\mu \epsilon} = v$



$$Z_{TM} = \frac{E_t}{H_t} = \frac{E_x}{E_y} \Rightarrow Z_{TM} = \eta \sqrt{1 - \left(\frac{\omega_c}{\omega}\right)^2}$$

$$F: \sqrt{1 - \left(\frac{\omega_c}{\omega}\right)^2}$$

$$\begin{cases} \omega > \omega_c & Z_{TM} \text{ reale} \\ \omega < \omega_c & Z_{TM} \text{ immaginaria} \Rightarrow \text{il modo non si può propagare} \end{cases}$$



\Rightarrow le curve indotte sui conduttori sup. e inf. sono dello stesso segno

\hookrightarrow non posso def. una corrente e tensione

CASO TĒ

$$TE: E_z = \phi; H_z \neq \phi$$

$$\Rightarrow \nabla_t^2 H_z = -k_c^2 H_z$$

$$H_z(x, z) = [A \sin(k_c x) + B \cos(k_c x)] e^{-\gamma z}$$

$$E_y \propto \frac{\partial H_z}{\partial x}$$

$$E_y(0, a) = \phi \Rightarrow A = \phi$$

condiz. al contorno:
campo // al condutt $\equiv \phi$

$$\Rightarrow H_z = B \cos(k_c x) e^{-\gamma z}$$

$$\begin{cases} E_x = \phi \\ E_y = -\frac{j\omega\mu}{k_c} B \sin(k_c x) e^{-\gamma z} \\ H_z = \frac{j\beta}{k_c} B \cos(k_c x) e^{-\gamma z} \\ H_y = \phi \end{cases}$$

$$E_y(a, y) = \phi \Rightarrow k_c = \frac{m\pi}{a} \quad (TE_m)$$

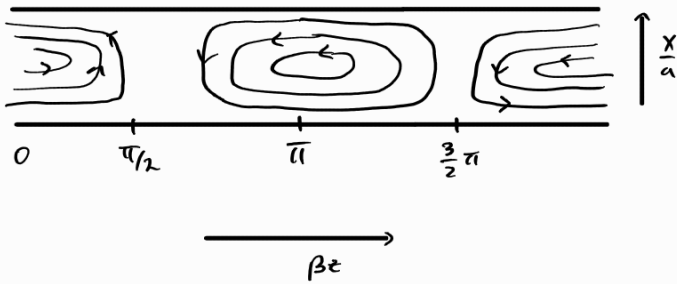
$$\gamma = j\beta = jk \sqrt{1 - \left(\frac{\omega_c}{\omega}\right)^2}$$

$$Z_{TE} = \frac{E_t}{H_t} = -\frac{E_y}{H_x} \Rightarrow Z_{TE} = \frac{\eta}{\sqrt{1 - \left(\frac{\omega_c}{\omega}\right)^2}}$$

per far rispettare la regola della mano destra

non c'è carica indotta! \Rightarrow questo perché $E_x = E_z = E_n = \phi$

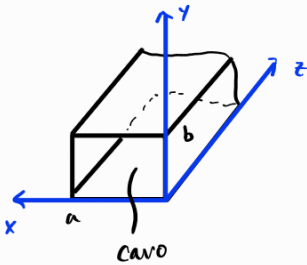
(modo TE₁) ⇒ campo H



Le correnti sono lungo y !
(regola della mano destra)

↳ ciò che viaggia lungo la linea (cioè i campi compresi tra le guide) sono ciò che trasportano potenza: Non tensioni e correnti (ed è vero anche per linee TEM)

guida d'onda rettangolare



∄ sol. "statica" ⇒ ∄ TEM
(servono almeno 2 conduttori)

TEM richiede un campo "elettrostatico" sul piano trasverso (campo invariante sul piano trasverso) ⇒ posso def. un pot.

↳ ma ho una sup. equipot. ⇒ $E = -\nabla V$ ma $V = \text{cost.}$

↳ $E \equiv \emptyset$ unica sol. elettrostatica (è una gabbia di Faraday)

CASO TM

$$E_z \neq \emptyset ; H_z = \emptyset$$

$$\nabla_t^2 E_z = -k_c^2 E_z \Rightarrow \frac{\partial^2 E_z}{\partial x^2} + \frac{\partial^2 E_z}{\partial y^2} = -k_c^2 E_z$$

separaz. delle variabili ⇒ $E_z(x,y) = F(x) \cdot G(y)$

$$\Rightarrow F''(x) \cdot G(y) + F(x) \cdot G''(y) = -k_c^2 F(x) \cdot G(y)$$

$$\frac{F''(x)}{F(x)} + \frac{G''(y)}{G(y)} = -k_c^2 \Leftrightarrow \frac{F''(x)}{F(x)} = -k_x^2 \quad \frac{G''(y)}{G(y)} = -k_y^2$$

$$\Rightarrow \frac{F''(x)}{F(x)} = -k_x^2 ; \frac{G''(y)}{G(y)} = -k_y^2 \quad \text{con } k_x^2 + k_y^2 = k_c^2$$

$$\Rightarrow \begin{cases} F(x) = A' \sin(k_x x) + B' \cos(k_x x) \\ G(y) = C' \sin(k_y y) + D' \cos(k_y y) \end{cases} \Rightarrow E_z(x,y) = F(x) \cdot G(y) \quad \text{con } A', B', C', D' \text{ da det. con le condiz. dalle condiz. al contorno}$$

$$\left. \begin{aligned} E_z(0,y) = \phi &\Rightarrow B' = \phi \\ E_z(x,0) = \phi &\Rightarrow D' = \phi \end{aligned} \right\} \Rightarrow E_z(x,y) = A' \sin(k_x x) \cdot \sin(k_y y) \cdot e^{-\gamma z}$$

\uparrow
 $A'C'$

$$E_z(a,y) = \phi \Rightarrow k_x a = m\pi \Rightarrow k_x = m \frac{\pi}{a} \quad m = 1, 2, \dots$$

$$E_z(x,b) = \phi \Rightarrow k_y b = n\pi \quad n = 1, 2, \dots$$

m e $n \neq \phi$ (seno $E_z \equiv \phi$)

↳ modo TM_{mn} ($\Rightarrow TM_{11}$ è il modo a freq. più bassa)

$$\gamma = \sqrt{k_c^2 - k^2} = \sqrt{k_c^2 - \omega^2 \mu \epsilon} = \sqrt{\left(\frac{m\pi}{a}\right)^2 + \left(\frac{n\pi}{b}\right)^2 - \omega^2 \mu \epsilon} \Rightarrow \omega > \omega_c \quad \text{con} \quad \omega_c = \frac{1}{\sqrt{\mu \epsilon}} \cdot \sqrt{\left(\frac{m\pi}{a}\right)^2 + \left(\frac{n\pi}{b}\right)^2}$$

$< \phi$ per potenze propaganti

$$\left\{ \begin{aligned} E_x &= -\frac{j\beta k_x}{k_c^2} A \cos(k_x x) \cdot \sin(k_y y) e^{-j\beta z} \\ E_y &= -\frac{j\beta k_y}{k_c^2} A \sin(k_x x) \cdot \cos(k_y y) e^{-j\beta z} \\ H_x &= \frac{j\omega \epsilon k_y}{k_c^2} A \sin(k_x x) \cdot \cos(k_y y) e^{-j\beta z} \\ H_y &= -\frac{j\omega \epsilon k_x}{k_c^2} A \cos(k_x x) \cdot \sin(k_y y) e^{-j\beta z} \end{aligned} \right.$$

(anche E_y essendo $E_{||}$ deve annullarsi in $x=0; x=a$)

(anche E_x essendo $E_{||}$ deve annullarsi in $y=0; y=b$)

↳ ponendo k_y e $k_x = m \frac{\pi}{a}$ e $n \frac{\pi}{b}$ rispettivamente è tutto verificato

($H_z = \phi$ in quanto TM)

CASO TE

$$E_z = \phi \quad ; \quad H_z \neq \phi$$

$$\nabla_t^2 H_z = -k_c^2 H_z$$

$$\Rightarrow H_z(x,y) = F(x) \cdot G(y) \quad ; \quad k_c^2 = k_x^2 + k_y^2$$

$$\Rightarrow H_z(x,y) = [A'' \sin(k_x x) + B'' \cos(k_x x)] \cdot [C'' \sin(k_y y) + D'' \cos(k_y y)]$$

$$E_x = -\frac{j\omega \mu}{k_c^2} \cdot \frac{\partial H_z}{\partial y} = -\frac{j\omega \mu k_y}{k_c^2} \cdot [A'' \sin(k_x x) + B'' \cos(k_x x)] \cdot [C'' \cos(k_y y) - D'' \sin(k_y y)]$$

$$E_y = \frac{j\omega \mu}{k_c^2} \cdot \frac{\partial H_z}{\partial x} = \frac{j\omega \mu k_x}{k_c^2} \cdot [A'' \cos(k_x x) - B'' \sin(k_x x)] \cdot [C'' \sin(k_y y) + D'' \cos(k_y y)]$$

$$\text{condiz. al contorno} \Rightarrow E_x(x,0) = \phi \Rightarrow C'' = \phi$$

$$\Rightarrow E_y(0,y) = \phi \Rightarrow A'' = \phi$$

↳ $H_z(x,y) = B'' \cos(k_x x) \cos(k_y y) \cdot e^{-j\beta z}$

$$E_x(x,b) = \phi \Rightarrow k_y = \frac{m\pi}{b}$$

$$E_y(a,y) = \phi \Rightarrow k_x = \frac{n\pi}{a}$$

\Rightarrow modo TE_{mn}

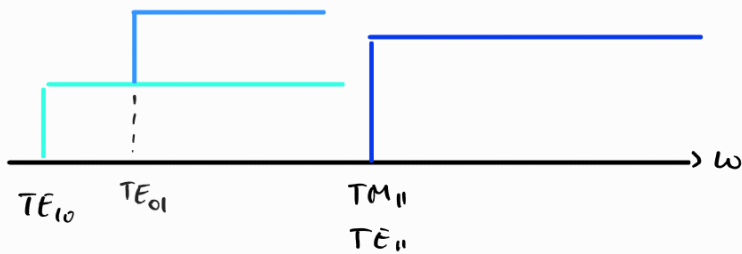
i modi m e n possono annullarsi separatamente (ma non contemporaneamente, senno ricado nel caso TEM)

$$\begin{cases} E_x = \frac{j\omega\mu ky}{k_c^2} B \cos(k_x x) \sin(k_y y) e^{-j\beta z} \\ E_y = -\frac{j\omega\mu kx}{k_c^2} B \sin(k_x x) \cos(k_y y) e^{-j\beta z} \\ H_x = \frac{j\beta kx}{k_c^2} B \sin(k_x x) \cos(k_y y) e^{-j\beta z} \\ H_y = \frac{j\beta ky}{k_c^2} B \cos(k_x x) \sin(k_y y) e^{-j\beta z} \end{cases}$$

($E_z = \phi$ in quanto TE)

$$\gamma = \sqrt{k_c^2 - k^2} = \sqrt{\left(\frac{m\pi}{a}\right)^2 + \left(\frac{n\pi}{b}\right)^2 - \omega^2\mu\epsilon}$$

$$\omega_c = \frac{1}{\sqrt{\mu\epsilon}} \cdot \sqrt{\left(\frac{m\pi}{a}\right)^2 + \left(\frac{n\pi}{b}\right)^2}$$



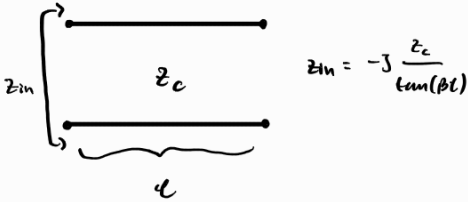
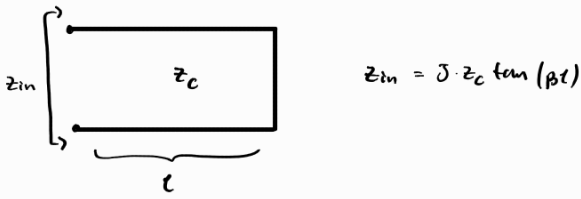
(se $a > b$)

↳ TE_{10} modo fondamentale (quello che parte a freq. più bassa)

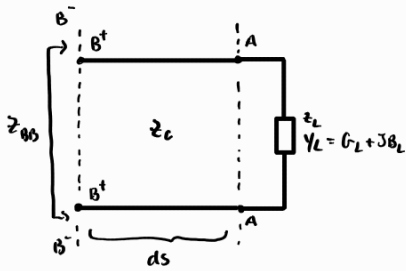
stub

• tratto di linea che mostra impedenza puramente reattiva

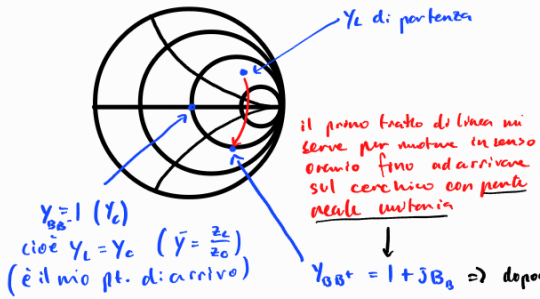
$$(z_{in}(d) = z_c \cdot \frac{z_L + jz_c \tan(\beta d)}{z_c + jz_L \tan(\beta d)})$$



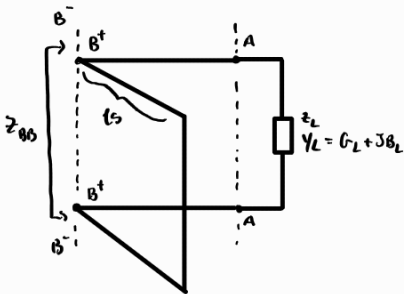
stub parallelo



supponiamo di voler adattare z_L a z_c : $z_{BB} = z_c$ ($Y_{BS} = Y_c$)

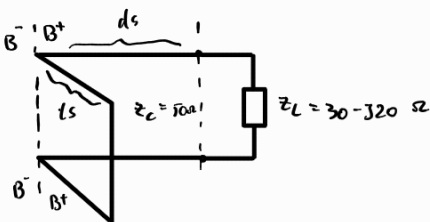


$Y_{00} = 1 (Y_c)$ cioè $Y_L = Y_c$ ($\bar{Y} = \frac{z_c}{z_0}$) (è il mio pt. di arrivo)
 $Y_{00} = 1 + jB_0 \Rightarrow$ dopodiché introduco $\bar{Y}_S = -jB_0$ t.c. ho: $\bar{Y}_S + Y_{00} = 1$



2 parametri di progetto: * ds * lunghezza dello stub (ls)

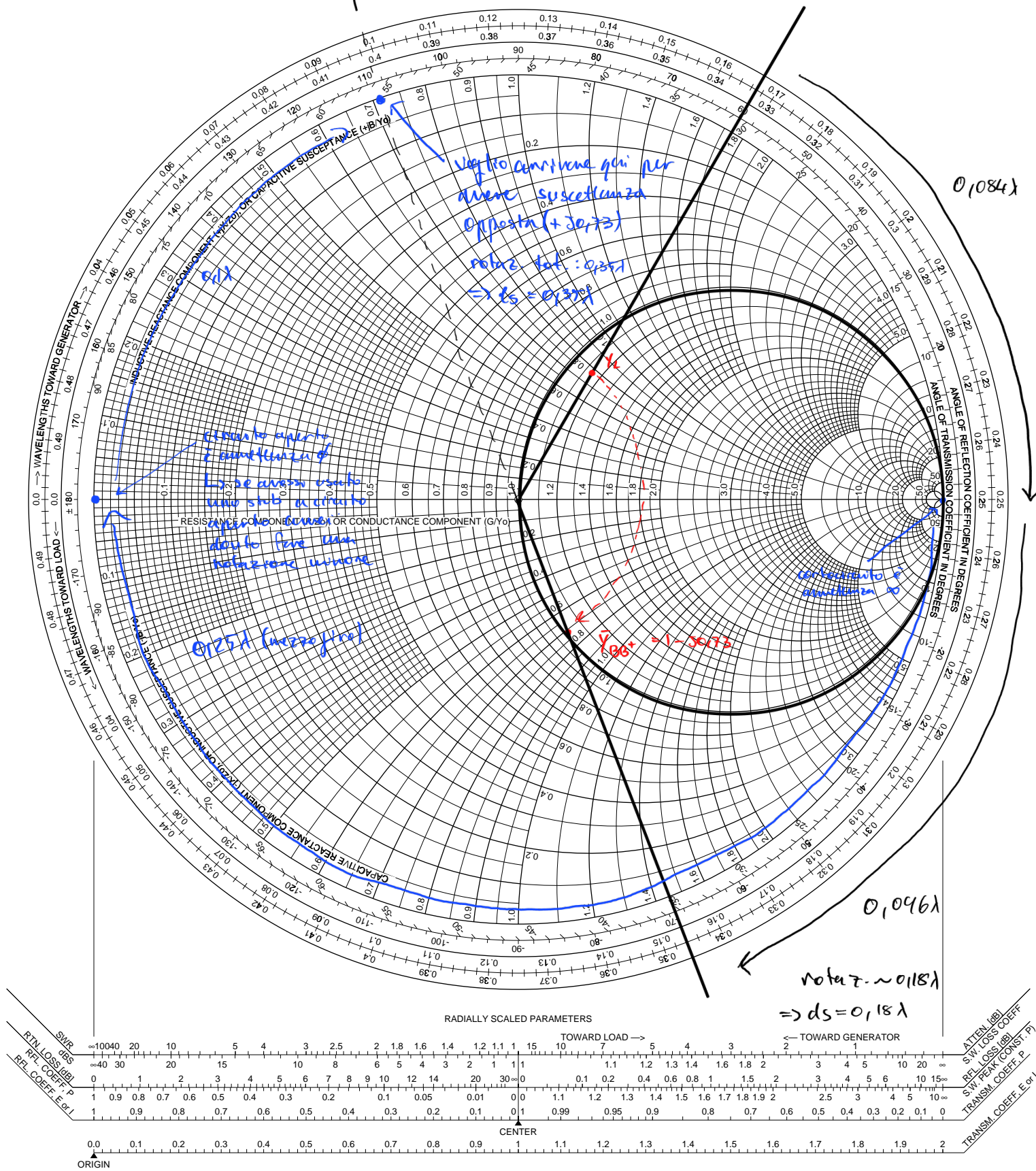
c. > 1



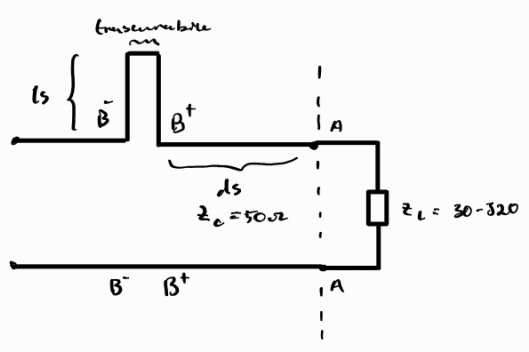
$$\bar{Y}_L = \frac{Y_L}{Y_c} = \frac{\frac{30 - j20}{50}}{\frac{1}{50}} = \frac{30}{30 - j20} = \frac{50 \cdot (30 + j20)}{30^2 + 20^2} = 1.15 + j0.77$$

Smith Chart

by WA3VPZ



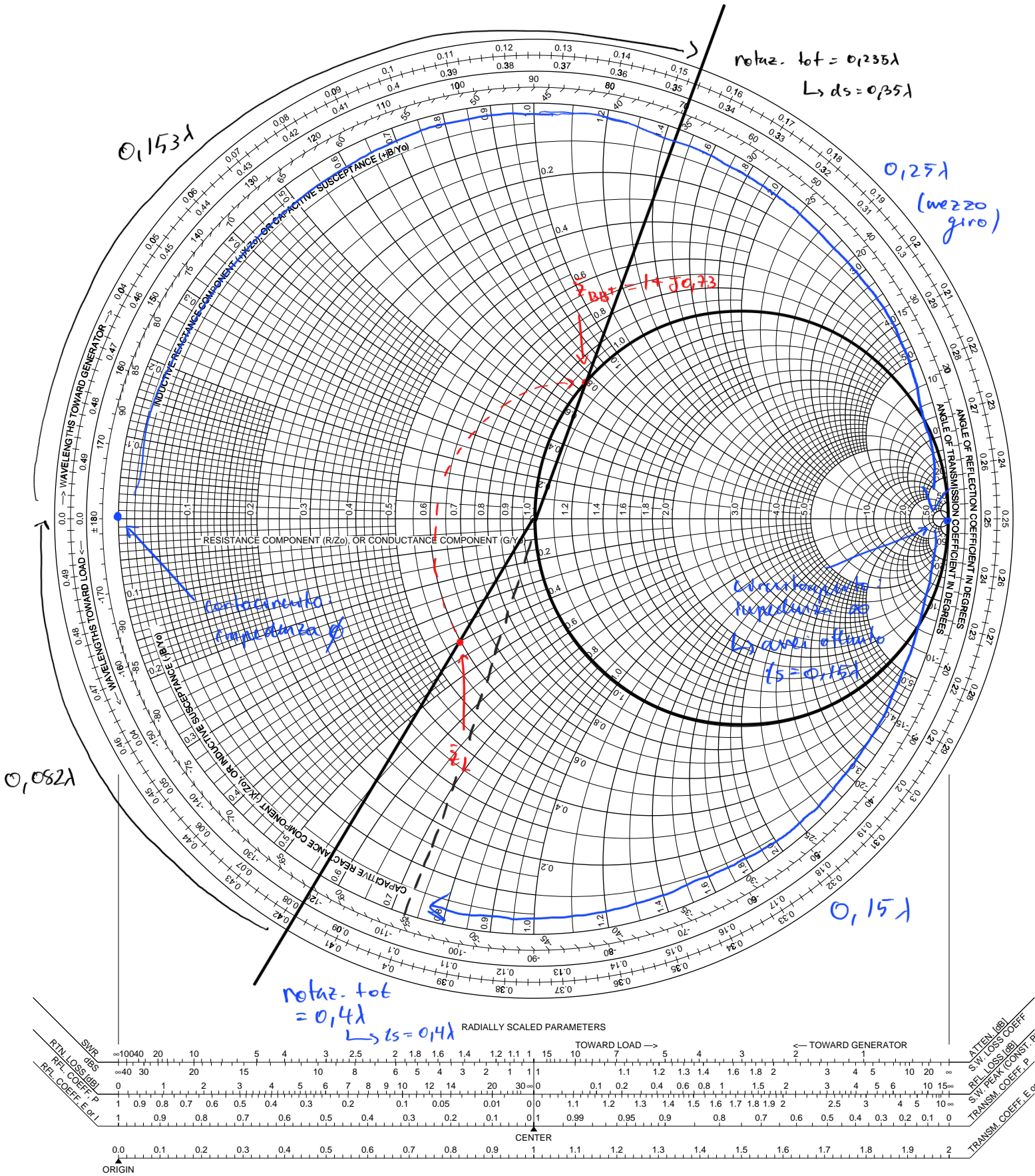
stuf serie



$$\bar{z}_L = \frac{z_L}{z_c} = 0,6 - j0,4$$

Smith Chart

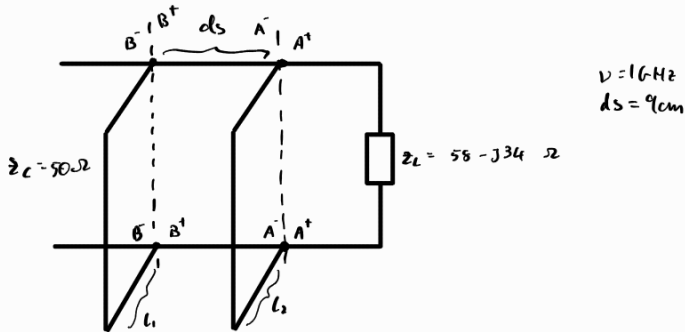
by WA3VPZ



- un inconveniente è che la ds varia in base alla rotaz. (regolare ts non è un problema), che potrebbe essere un fastidio nella realizzazione fisica di un circuito

↳ in una struttura a doppio stub

doppio stub



stub // \Rightarrow uso ammettenze $\Rightarrow Y_L = 0,013 + j0,0075$

$\Rightarrow \bar{Y}_L = \frac{Y_L}{Y_c} = 0,64 + j0,38 \Omega$

$\lambda = \frac{c}{\nu} = 30 \text{ cm}$

in AA^+ : siamo in \bar{Y}_L) stub 1 ↳ lo stub agisce sulla parte immaginaria (ha suscettanza puramente immaginaria)

in AA^- : siamo in $\bar{Y}_{AA^-} = 0,64 + j b_{AA}$) tratto di linea ds

in BB^+ : siamo in $\bar{Y}_{BB^+} = 1 + j b_{BB}$) stub 2

in BB^- : siamo in $\bar{Y}_{BB^-} = 1$ ($Z_c = Z_L$)

$ds = 9 \text{ cm} \Rightarrow ds = \frac{9}{30} \lambda = 0,3 \lambda$ (rotaz. oraria)

- dobbiamo introdurre il punto sul cerchio a parte reale unitaria

cerchio di partenza: $Re[\Gamma] = 0,64$

cerchio di destinaz.: $Re[\Gamma] = 1$

Smith Chart

by WA3VPZ

ruoto il cerchio di arrivo in senso antiorario di 0,3λ

secondo job mi dice portate qui

cerchio di rimpinzimento

$$Y_L = 0,6 + j0,32$$

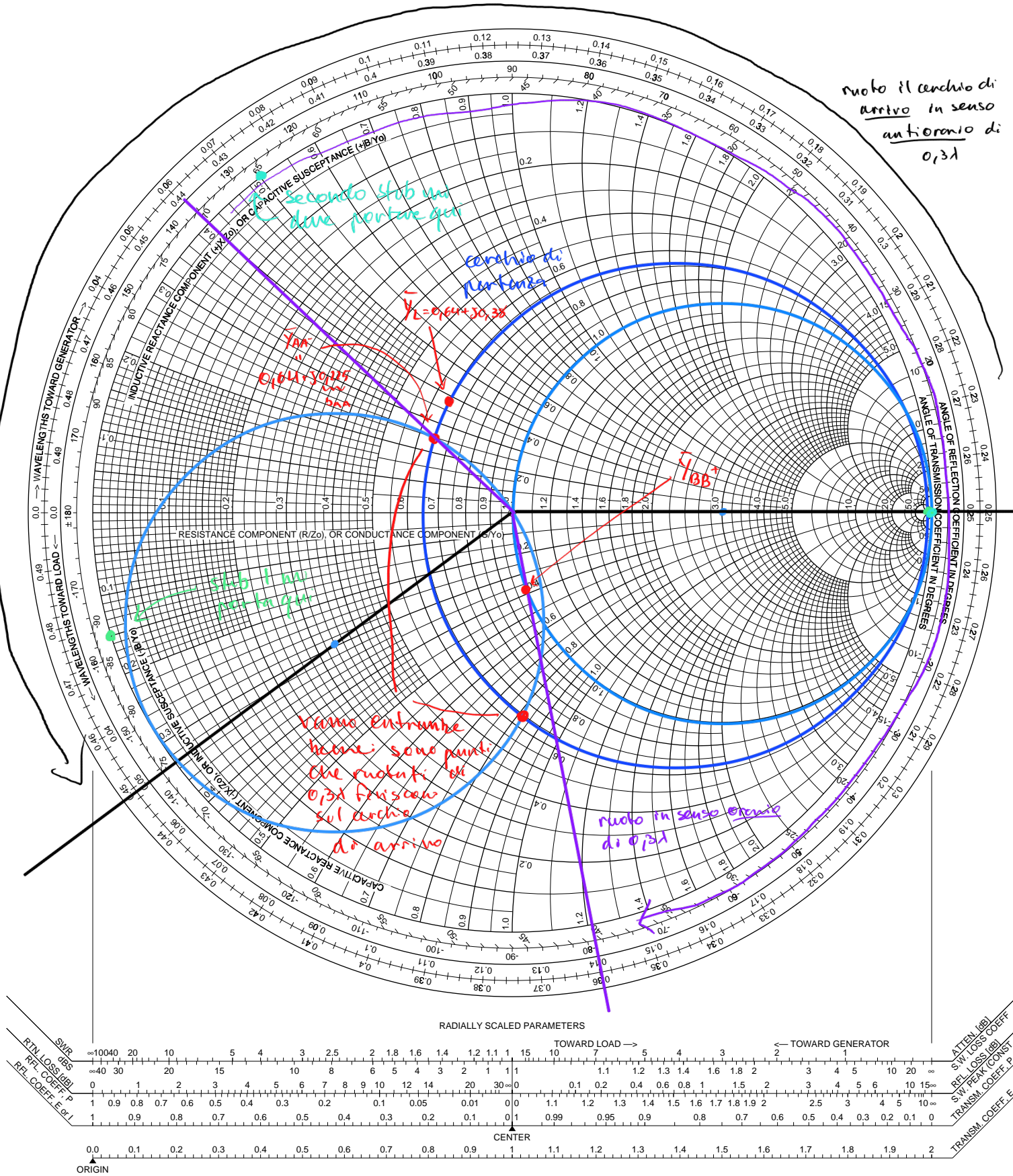
Y_{in} = 0,6 + j0,32

Y_{BB}

Y_{BB} + j0,32

vicino entrambe hanno: sono punti che ruotano di 0,3λ fra loro sul cerchio di arrivo

ruoto in senso orario di 0,3λ



RADIALLY SCALED PARAMETERS

TOWARD LOAD →

← TOWARD GENERATOR

CENTER

ORIGIN

ATTEN (dB)
S.W. LOSS COEFF
REF LOSS (dB)
S.W. PEAK (CONST. P)
TRANSM. COEFF. P
TRANSM. COEFF. E, ρ₁

stub 1: mi deve far passare da 0,38 a 0,225 (parti in mm)

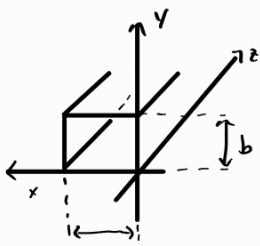
\Rightarrow stub 1 dovrà avere una suscettanza di 0,155

stub 2: mi deve far passare da 0,4 a ϕ

stub ① (coincidente) \Rightarrow nuovo $0,226\lambda = l_1$

stub ② (coincidente) \Rightarrow nuovo $0,324\lambda = l_2$

(posso anche fare in c.a., o uno c.a. e uno c.c., o uno serie e uno parallelo, ecc. ecc.)



può supportare:

TM_{mn} ($m, n \neq 0$) \Rightarrow TM_{11} è il modo minimo

TE_{mn} ($m \neq 0, n \neq 0$) \Rightarrow TE_{10} è il modo minimo

$$m=1; n=0 \Rightarrow \begin{cases} k_x = \pi/a \\ k_y = 0 \end{cases} \Rightarrow v_c = \frac{v}{\sqrt{2}} ; \lambda_c = 2a$$

• si sceglie $b = \frac{a}{2}$ (tanto anche facendo b più piccolo la banda max. rimane uguale)

• inoltre fare b piccolo aumenta le perdite per effetto Joule $\Rightarrow b = \frac{a}{2}$ minimizza questo perdita

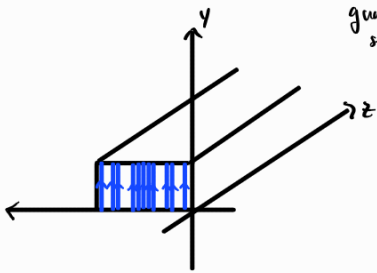
TE₁₀

$$(k_x = \pi/a ; k_y = 0) \Rightarrow k_c^2 = k_x^2 + k_y^2 = k_x^2 \quad (E_z = 0, \text{ onda TE})$$

$$\begin{cases} E_x = 0 \\ E_y = -\frac{j\omega\mu\beta}{k_x} \sin\left(\frac{\pi}{a}x\right)e^{-j\beta z} \\ H_x = \frac{j\beta B}{k_x} \sin\left(\frac{\pi}{a}x\right)e^{-j\beta z} = -\frac{E_y}{Z_{TE10}} \Rightarrow \frac{-E_0}{Z_{TE10}} \sin\left(\frac{\pi}{a}x\right)e^{-j\beta z} \\ H_y = 0 \\ H_z = B \cos\left(\frac{\pi}{a}x\right)e^{-j\beta z} \end{cases}$$

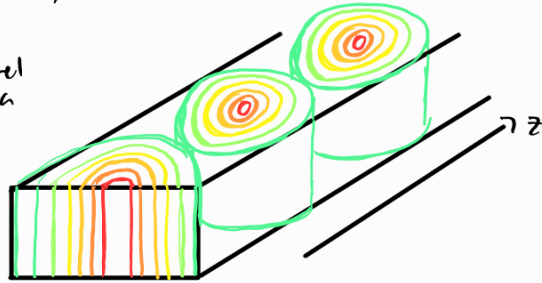
$$\text{con } Z_{TE} = \frac{-E_y}{H_x} = \frac{\omega\mu}{\beta} = \frac{\omega\mu}{k \cdot \sqrt{1 - (\frac{\omega_c}{\omega})^2}} \quad \left(\beta(\omega) = k \sqrt{1 - (\frac{\omega_c}{\omega})^2} \right)$$

$$\Rightarrow Z_{TE} = \frac{\eta}{\sqrt{1 - (\frac{\omega_c}{\omega})^2}} \quad \text{Impedenza nodale}$$



guardando E_y osservo un andamento sinusoidale lungo x sul piano xy

campo massimo nel centro e si annulla agli estremi



$$v_c = \frac{v}{\sqrt{2}} ; \lambda_c = 2a$$

$$v_f = \frac{v}{\sqrt{1 - (\frac{\omega_c}{\omega})^2}} ; v_g = v \sqrt{1 - (\frac{\omega_c}{\omega})^2} \quad (v = \frac{1}{\mu\epsilon})$$

$$\lambda_{guida} = \frac{v_f}{v} = \frac{v}{\sqrt{1 - (\frac{\omega_c}{\omega})^2}} \cdot \frac{1}{v} = \frac{\lambda}{\sqrt{1 - (\frac{\omega_c}{\omega})^2}} \quad v = \lambda v$$

• non essendo onda TEM, la config. dei capi non mi permette di def. tensione e corrente

$$P = \frac{1}{2} \text{Re} \left[\int_{\Sigma} \vec{E} \times \vec{H}^* \cdot \hat{u}_z d\Sigma \right]$$

definisco la potenza trasportata dall'onda all'interno della guida come flusso del vett. di Poynting

$$\vec{E} \times \vec{H}^* \begin{cases} E_y \times H_z \text{ diretto come } \hat{u}_z \Rightarrow \hat{u}_x \cdot \hat{u}_z = 0 \\ E_y \times H_x \text{ diretto come } -\hat{u}_z \Rightarrow -\hat{u}_z \cdot \hat{u}_z \neq 0 (= -1) \end{cases}$$

$$\Rightarrow P = \frac{1}{2} \text{Re} \left[- \int_{\Sigma} E_y H_x^* d\Sigma \right] = \frac{1}{2} \text{Re} \left[\int_0^a \int_0^b \frac{|E_0|^2}{Z_{TE10}} \sin^2\left(\frac{\pi}{a}x\right) dx dy \right]$$

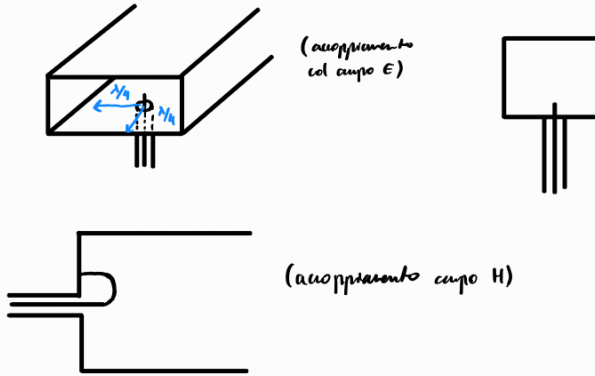
$$= \frac{1}{2} \cdot b \cdot \frac{|E_0|^2}{Z_{TE10}} \int_0^a \sin^2\left(\frac{\pi}{a}x\right) dx$$

$$\Rightarrow P = \frac{|E_0|^2 \cdot b \cdot a}{4 Z_{TE10}}$$

si trova anche da $\alpha_c = \frac{R_s \cdot 2\sqrt{\epsilon_0}}{\eta^2 ab} \left(a + \frac{b\lambda^2}{2a^2}\right) \left[\frac{R_p}{m}\right]$

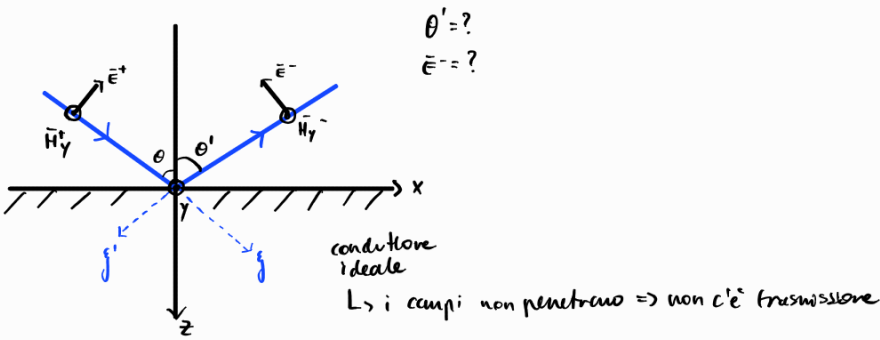
al dim. di b, aumenta l'attenuaz. (perchè non si fa b troppo piccolo)

come accoppiamo una linea TEM con una non TEM?



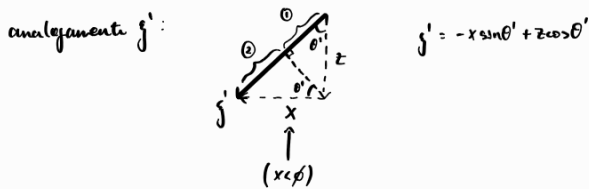
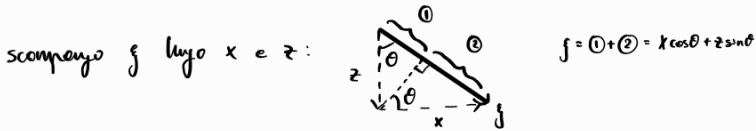
incidenza obliqua di onde TEM (su un conduttore)

Caso TM



nel semispazio sup.:

$$\bar{E}(x,z) = \bar{E}^+(x,z) + \bar{E}^-(x,z) = \bar{E}^+(0,0)e^{-j\beta z} + \bar{E}^-(0,0)e^{+j\beta z}$$



$$\begin{cases} \bar{E}^+(0,0) = E^+(0,0)\cos\theta\hat{u}_x - E^+(0,0)\sin\theta\hat{u}_z \\ \bar{E}^-(0,0) = -E^-(0,0)\cos\theta\hat{u}_x - E^-(0,0)\sin\theta\hat{u}_z \end{cases}$$

$$\Rightarrow \begin{cases} E_x(x,z) = E^+\cos\theta e^{-j\beta(x\sin\theta + z\cos\theta)} - E^-\cos\theta' e^{+j\beta(-x\sin\theta' + z\cos\theta')} \\ E_z(x,z) = -E^+\sin\theta e^{-j\beta(x\sin\theta + z\cos\theta)} - E^-\sin\theta' e^{+j\beta(-x\sin\theta' + z\cos\theta')} \\ H_y(x,z) = H^+ e^{-j\beta(x\sin\theta + z\cos\theta)} + H^- e^{+j\beta(-x\sin\theta' + z\cos\theta')} \end{cases}$$

$$\eta = \frac{E^+}{H^+} ; \eta = \frac{E^-}{H^-}$$

in $z=0, \forall x \Rightarrow E_x(x,0) = 0$ (condiz. al contorno)

$$\Rightarrow E^+ \cos \theta e^{-j\beta x \sin \theta} = E^- \cos \theta' e^{-j\beta x \sin \theta'} \quad \text{può essere vero } (\Leftrightarrow) -j\beta k \sin \theta = -j\beta k \sin \theta'$$

$$\Rightarrow \theta = \theta'$$

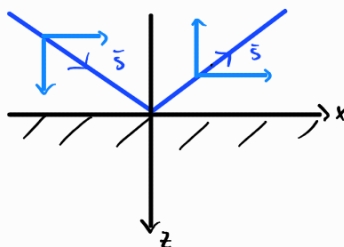
ne consegue che $E^+ = E^-$

$$\begin{cases} E_x(x,z) = E^+ \cos \theta e^{-j\beta(x \sin \theta + z \cos \theta)} - E^- \cos \theta' e^{+j\beta(-x \sin \theta' + z \cos \theta')} \\ E_z(x,z) = -E^+ \sin \theta e^{-j\beta(x \sin \theta + z \cos \theta)} - E^- \sin \theta' e^{+j\beta(-x \sin \theta' + z \cos \theta')} \\ H_y(x,z) = H^+ e^{-j\beta(x \sin \theta + z \cos \theta)} + H^- e^{+j\beta(-x \sin \theta' + z \cos \theta')} \end{cases}$$

$$\Rightarrow \begin{cases} E_x = E^+ \cos \theta \left[e^{-j\beta z \cos \theta} - e^{+j\beta z \cos \theta} \right] e^{-j\beta x \sin \theta} \\ E_z = -E^+ \sin \theta \left[e^{-j\beta z \cos \theta} + e^{+j\beta z \cos \theta} \right] e^{-j\beta x \sin \theta} \\ H_y = \frac{E^+}{\eta} \left[e^{-j\beta z \cos \theta} + e^{+j\beta z \cos \theta} \right] e^{-j\beta x \sin \theta} \end{cases}$$

$$\Rightarrow \begin{cases} E_x = -2j E^+ \cos \theta \cdot \sin(\beta z \cos \theta) \cdot e^{-j\beta x \sin \theta} \\ E_z = -2 E^+ \sin \theta \cos(\beta z \cos \theta) e^{-j\beta x \sin \theta} \\ H_y = \frac{2 E^+}{\eta} \cos(\beta z \cos \theta) e^{-j\beta x \sin \theta} \end{cases}$$

$\underbrace{\cos(\beta z \cos \theta)}_{\text{termine onda}} \underbrace{e^{-j\beta x \sin \theta}}_{\text{propagaz. nel verso positivo asse } x}$
 movimento sinuz. lungo z



$$\bar{S}_z = \frac{1}{2} \text{Re} [E_x \times H_y^*] = 0$$

cioè lungo z non c'è flusso netto di potenza reale

$$\bar{S}_x = \frac{1}{2} \text{Re} [E_z \times H_y^*] \neq 0$$

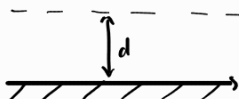
ho propagaz. / flusso netto di densità di potenza lungo l'asse x

$$\begin{aligned} E_x(x,0) &= 0 \\ E_x(x,d) &= 0 \end{aligned} \quad \forall x$$

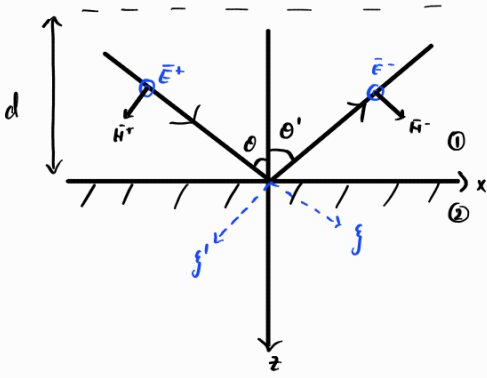
$$\Leftrightarrow \sin(\beta z \cos \theta) = 0$$

$$\hookrightarrow \beta z \cos \theta = n\pi \Rightarrow \frac{2\pi}{\lambda} d \cos \theta = n\pi \Rightarrow d = n \frac{\lambda}{2 \cos \theta}$$

a multipli di questa distanza è come se ci fosse un piano conduttore perché si annulla la comp. tangente E_x



CASO TE



$$\begin{cases} E_y(x,z) = E^+ e^{-j\beta(x \sin\theta + z \cos\theta)} + E^- e^{+j\beta(-x \sin\theta' + z \cos\theta')} \\ H_x(x,z) = -\frac{E^+}{\eta} \cos\theta e^{-j\beta(x \sin\theta + z \cos\theta)} + \frac{E^-}{\eta} \cos\theta' e^{+j\beta(-x \sin\theta' + z \cos\theta')} \\ H_z(x,z) = \frac{E^+}{\eta} \sin\theta e^{-j\beta(x \sin\theta + z \cos\theta)} + \frac{E^-}{\eta} \sin\theta' e^{+j\beta(-x \sin\theta' + z \cos\theta')} \end{cases}$$

condiz. al contorno: in $z=0, \forall x \Rightarrow E_y(x,0)=0 \Rightarrow E^+ e^{-j\beta x \sin\theta} = -E^- e^{-j\beta x \sin\theta'}$

$\Rightarrow \theta = \theta' ; E^+ = -E^-$

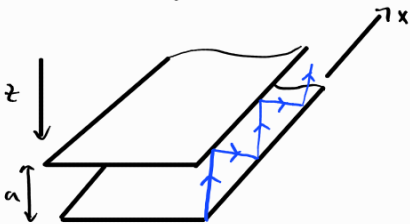
In $d = \frac{n\lambda}{2\cos\theta} \Rightarrow$ cancella E_y (come nel caso TM)

chiamo $\begin{cases} \beta_x = \beta \sin\theta \\ \beta_z = \beta \cos\theta \end{cases}$

$$\begin{cases} E_y = -2jE^+ \sin(\beta_z \cos\theta) e^{-j\beta_x \sin\theta} \\ H_x = -\frac{2E^+}{\eta} \cos\theta \cos(\beta_z \cos\theta) e^{-j\beta_x \sin\theta} \\ H_z = \frac{2jE^+}{\eta} \sin\theta \sin(\beta_z \cos\theta) e^{-j\beta_x \sin\theta} \end{cases}$$

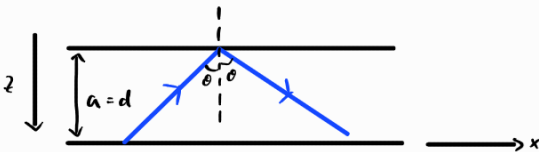
onda p.p. incidente onda p.p. incidente
in dir. lungo z lungo x

interpretaz. onde guidate tra piani conduttori come sovrapposizione di onde piane



supporta onde non TEM con modi TM_m v TE_m .

Vedremo: modi come una onda TEM che rimbalza tra le guide

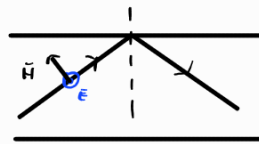
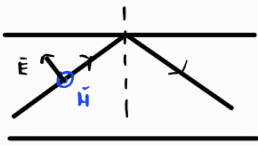


$a = d = m \frac{\lambda}{2\cos\theta_m}$ distanza cui si annulla il campo E

$\Rightarrow \cos\theta_m = m \frac{\lambda}{2a} \quad \lambda_c = \frac{2a}{m}$

$= \frac{\lambda}{\lambda_c}$

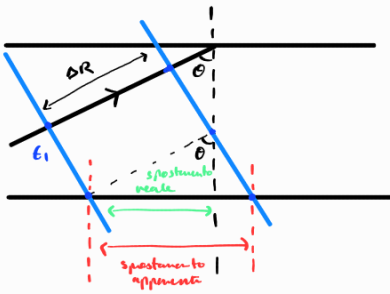
$= \frac{v}{v_c} \Rightarrow \omega < \omega_c \Rightarrow \cos\theta_m = \frac{v}{v_c} > 1 \Rightarrow$ non si può propagare l'onda



E ha componenti nel verso di propagaz. $\Rightarrow \cos\theta$ è quella che avevamo chiamato modo TM (che avevano visto essere onda non TEM)

annullamento qui ossemmo il modo TEM

- in entrambi i casi, li interpreto invece come un'onda TEM che incide in modo obliquo, polarizzata TE o TM
- cioè la differenza tra una linea di trasmissione TEM e una non TEM è che nella TEM, l'onda TEM si propaga dritta lungo la linea, mentre nella linea non TEM è sempre un'onda TEM si propagandosi, ma in direz. obliqua



$$\frac{\Delta R}{\Delta t} = v = \frac{1}{\mu\epsilon}$$

$$\frac{\Delta x}{\Delta t} = \frac{\Delta R}{\sin\theta} \cdot \frac{1}{\Delta T} = v_f$$

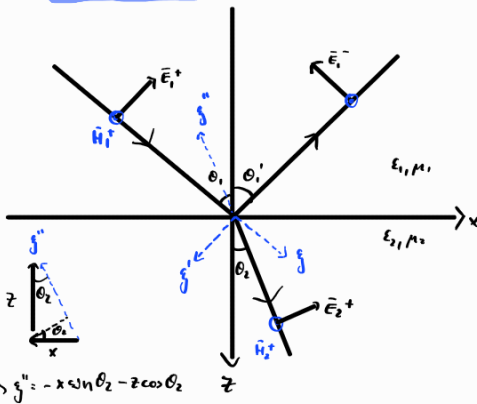
$$\Rightarrow v_f = \frac{v}{\sin\theta} = \frac{v}{1 - \cos^2\theta} = \frac{v}{1 - (\frac{u_s}{c})^2} \gg v$$

è una velocità lungo x apparente: è la velocità che dovrebbe avere un'osservatore lungo l'asse x per misurare la sup. equifase

$$\Rightarrow v_g = v \cdot \sin\theta = v \cdot \sqrt{1 - (\frac{u_s}{c})^2}$$

Incidenza obliqua - mezzi dielettrici

Caso TM



$$E_1 = E_1^+ + E_1^- = E_1^+(0,0)e^{-j\beta_1 z} + E_1^-(0,0)e^{+j\beta_1 z}$$

$$= E_1^+ e^{-j\beta_1(x\sin\theta_1 + z\cos\theta_1)} + E_1^- e^{+j\beta_1(-x\sin\theta_1' + z\cos\theta_1')}$$

$$\Rightarrow \hat{z}'' = -x\sin\theta_2 - z\cos\theta_2$$

$$\Rightarrow \text{mezzo ①} \begin{cases} E_{1x} = E_1^+ \cos\theta_1 e^{-j\beta_1(x\sin\theta_1 + z\cos\theta_1)} - E_1^- \cos\theta_1' e^{+j\beta_1(-x\sin\theta_1' + z\cos\theta_1')} \\ E_{1z} = -E_1^+ \sin\theta_1 e^{-j\beta_1(x\sin\theta_1 + z\cos\theta_1)} - E_1^- \sin\theta_1' e^{+j\beta_1(-x\sin\theta_1' + z\cos\theta_1')} \end{cases}$$

$$\Rightarrow \text{mezzo ②} \begin{cases} E_{2x} = E_2^+ \cos\theta_2 e^{+j\beta_2(-x\sin\theta_2 - z\cos\theta_2)} \\ E_{2z} = -E_2^+ \sin\theta_2 e^{+j\beta_2(-x\sin\theta_2 - z\cos\theta_2)} \end{cases}$$

$$\text{in } z=0, \forall x \Rightarrow E_{1x}(x,0) = E_{2x}(x,0) \Rightarrow E_1^+ \cos\theta_1 e^{-j\beta_1 x \sin\theta_1} - E_1^- \cos\theta_1' e^{+j\beta_1 x \sin\theta_1'} = E_2^+ e^{-j\beta_2 x \sin\theta_2} \quad \forall x$$

$$\text{per cui } \Rightarrow \beta_1 \sin\theta_1 = \beta_2 \sin\theta_1' = \beta_2 \sin\theta_2$$

$\Rightarrow \theta_1' = \theta_1$ e inoltre $\beta_1 \sin \theta_1 = \beta_2 \sin \theta_2$

$\beta = \omega \sqrt{\mu \epsilon} \Rightarrow \omega \sqrt{\mu_1 \epsilon_1} \sin \theta_1 = \omega \sqrt{\mu_2 \epsilon_2} \sin \theta_2 \Rightarrow n_1 \sin \theta_1 = n_2 \sin \theta_2$
 $n = \sqrt{\mu_r \epsilon_r}$

def. impedenza d'onda: $z_{z1} = \frac{E_{1x}^+}{H_{1y}^+} = -\frac{E_{1x}^-}{H_{1y}^-}$ $z_{z2} = \frac{E_{2x}^+}{H_{2y}^+}$

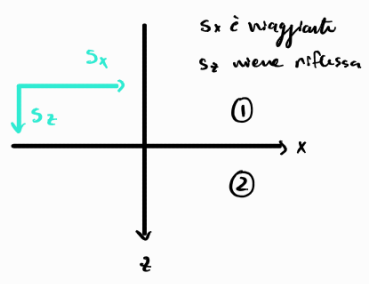
$z_{z1} = \frac{E_1^+ \cos \theta_1}{H_1^+} = \eta_1 \cos \theta_1$

$z_{z2} = \frac{E_2^+ \cos \theta_2}{H_2^+} = \eta_2 \cos \theta_2 = \eta_2 \sqrt{1 - \sin^2 \theta_2} = \eta_2 \sqrt{1 - \left(\frac{n_2}{n_1}\right)^2 \sin^2 \theta_1}$

$\Rightarrow \begin{cases} E_{1x}^+(x,0) + E_{1x}^-(x,0) = E_{2x}^+(x,0) \\ H_{1y}^+(x,0) + H_{1y}^-(x,0) = H_{2y}^+(x,0) \end{cases}$ (condiz. al contorno - le componenti tangenti si deve conservare)

$\Rightarrow \begin{cases} E_{1x}^+(x,0) + E_{1x}^-(x,0) = E_2^+(x,0) \\ \frac{E_{1x}^+}{z_{z1}} - \frac{E_{1x}^-}{z_{z1}} = \frac{E_2^+(x,0)}{z_{z2}} \end{cases} \Rightarrow \begin{cases} E_{1x}^- = \Gamma \cdot E_{1x}^+ \\ E_{2x}^+ = T E_{1x}^+ \end{cases}$ con $\Gamma = \frac{z_{z2} - z_{z1}}{z_{z2} + z_{z1}}$ e $T = 1 + \Gamma = \frac{2z_{z2}}{z_{z2} + z_{z1}}$

campi totali nel mezzo ① $\Rightarrow \begin{cases} E_x(x,z) = E_1^+ \cos \theta_1 e^{-j\beta_{1x}x} \cdot [e^{-j\beta_{1z}z} + \Gamma e^{+j\beta_{1z}z}] \\ E_z(x,z) = E_1^+ \sin \theta_1 e^{-j\beta_{1x}x} \cdot [-e^{-j\beta_{1z}z} + \Gamma e^{+j\beta_{1z}z}] \\ H_y(x,z) = \frac{E_1^+}{\eta_1} e^{-j\beta_{1x}x} \cdot [e^{-j\beta_{1z}z} - \Gamma e^{+j\beta_{1z}z}] \end{cases}$
 onda prog. verso z onda rif. lungo z
 onda prog. verso x
 in generale ho un'onda stazionaria ma non puramente perché ampiezza onda incidente \neq onda riflessa ($\Gamma \neq 1$ in gen.)

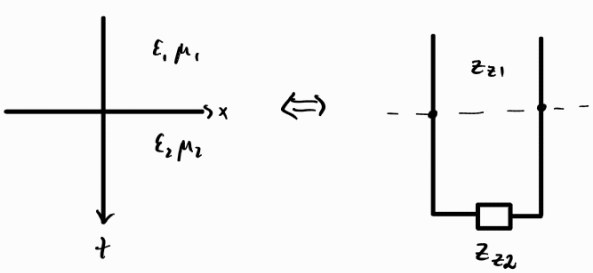


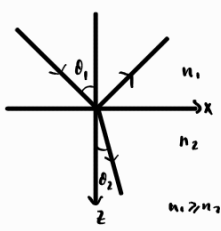
riflessione tot. per $|\Gamma|=1 \Rightarrow |\Gamma|=1$ se z_{z2} puramente immaginario ?

z_{z2} puramente imm. se $1 - \left(\frac{n_1}{n_2}\right)^2 \leq 0 \Rightarrow \sin \theta_1 \geq \frac{n_2}{n_1} \Rightarrow (\theta_1)_c = \arcsin\left(\frac{n_2}{n_1}\right)$ angolo critico

se $|\Gamma|=1$, Γ complx., non è detto che $T=1+\Gamma=0$
 \hookrightarrow cioè, se l'onda è tutta riflessa, non è detto che i campi sono nulli nel mezzo 2!
 \Rightarrow si ha un'onda evanescente

analogia con le linee di trasmissione:





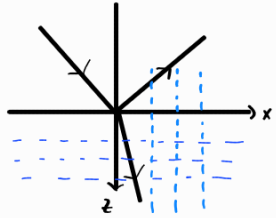
ci portiamo nella condizione di TIR $\Rightarrow \theta_1 > \theta_c = \arcsin\left(\frac{n_2}{n_1}\right)$
 $\Rightarrow \sin\theta_1 > \frac{n_2}{n_1}$

$\beta_{1x} = \beta_{2x}$ altrimenti la condiz. al contorno non sono soddisfatte $\forall x$
 $\Rightarrow k_1 \sin\theta_1 = k_2 \sin\theta_2 \Rightarrow n_1 \sin\theta_1 = n_2 \sin\theta_2$

$$\beta_{2z} = k_2 \cos\theta_2 = k_2 \sqrt{1 - \sin^2\theta_2} = k_2 \sqrt{1 - \left(\frac{n_1}{n_2}\right)^2 \sin^2\theta_1}$$

$$\left(\frac{n_1}{n_2}\right)^2 \sin^2\theta_1 > \left(\frac{n_1}{n_2}\right)^2 \left(\frac{n_2}{n_1}\right)^2 = 1 \quad (\text{TIR}) \Rightarrow k_2 \sqrt{1 - \left(\frac{n_1}{n_2}\right)^2 \sin^2\theta_1} \Rightarrow \beta_{2z} = -j k_2 \sqrt{\left(\frac{n_1}{n_2}\right)^2 \sin^2\theta_1 - 1} = -j \alpha_{2z}$$

$$\Rightarrow \begin{cases} e^{-j\beta_{2z}z} = e^{-\alpha_{2z}z} & \text{l'onda si attenua lungo } z \\ e^{-j\beta_{2x}x} & \text{l'onda si sposta lungo } x \end{cases} \Rightarrow \text{onda evanescente}$$

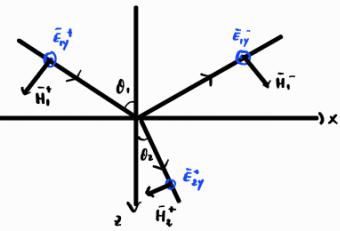


tutta la densità di pot. è riflessa \Rightarrow l'attenuazione non è legata alla dissipazione di potenza ma alla riflessione

sup. equipotenziali $\Rightarrow z \text{ cost.}$
 sup. equifase $\Rightarrow x \text{ cost.}$

sup. equipot. \neq sup. equifase \Rightarrow onda evanescente

caso TE



condiz. al contorno:
$$\begin{cases} E_{1y}^+ + E_{1y}^- = E_{2y}^+ \\ H_{1x}^+ + H_{1x}^- = H_{2x}^+ \end{cases}$$

$$\Gamma = \frac{E_{1y}^-}{E_{1y}^+}; \quad T = \frac{E_{2y}^+}{E_{1y}^+} \quad (z_L) \quad z_{22} = -\frac{E_{2y}^+}{H_{2x}^+}; \quad z_{21} = -\frac{E_{1y}^-}{H_{1x}^-} \quad (\text{segni meno per rispettare la regola della mano destra})$$

$$z_L = -\frac{E_{1y}^+}{H_{2x}^+ \cos\theta_2} = \frac{\eta_2}{\cos\theta_2} = \frac{\eta_2}{\sqrt{1 - \left(\frac{n_1}{n_2}\right)^2 \sin^2\theta_1}}$$

$$z_{21} = \frac{\eta_1}{\cos\theta_1}$$

• ciò che abbiamo trovato per l'onda TM \Rightarrow applica ugualmente per l'onda TE

campi nella regione ①:

$$\begin{cases} E_y = E_1^+ e^{-j\beta_{1x}x} \cdot [e^{-j\beta_{1z}z} + \Gamma e^{+j\beta_{1z}z}] \\ H_x = -\frac{E_1^+}{\eta_1} \cos\theta_1 e^{-j\beta_{1x}x} \cdot [e^{-j\beta_{1z}z} - \Gamma e^{+j\beta_{1z}z}] \\ H_z = \frac{E_1^+}{\eta_1} \sin\theta_1 e^{-j\beta_{1x}x} \cdot [e^{-j\beta_{1z}z} + \Gamma e^{+j\beta_{1z}z}] \end{cases} \quad \text{con} \quad \begin{cases} \beta_{1x} = k_1 \sin\theta_1 \\ \beta_{1z} = k_1 \cos\theta_1 \end{cases}$$

rifrazione (trasmissione) totale ($\Gamma = \emptyset$)

$$\Gamma = \frac{z_L - z_{21}}{z_L + z_{21}} = \emptyset \Rightarrow z_L = z_{21} \Rightarrow \eta_1 \cos\theta_1 = \eta_2 \sqrt{1 - \left(\frac{n_1}{n_2}\right)^2 \sin^2\theta_1} \quad (n = \sqrt{\epsilon_r \mu_r}, \text{ con } \mu_r = 1)$$

$$\Rightarrow \cos\theta_1 = \sqrt{\frac{\epsilon_{r1}}{\epsilon_{r2}}} \sqrt{1 - \frac{\epsilon_{r1}}{\epsilon_{r2}} \sin^2\theta_1} \quad \left(\eta = \frac{1}{n} \text{ se } \mu_r = 1\right)$$

$$\Rightarrow \theta_p = \arcsin \sqrt{\frac{\epsilon_{r1}}{\epsilon_{r1} + \epsilon_{r2}}} = \arctan\left(\frac{n_2}{n_1}\right) \quad \text{angolo di Brewster}$$

per il caso TE $\nabla \cdot \mathbf{E} = 0 \Rightarrow \exists \Leftrightarrow \mu_1 \neq \mu_2$ (mezzi magnetici)

$$\eta_0 = \sqrt{\frac{\mu_0}{\epsilon_0}} \quad \eta_1 = \sqrt{\frac{\mu_1}{\epsilon_1}} = \eta_0$$

mutuali accoppiati \Rightarrow eliminano le riflessioni
vengono usati come assorbitori

teoria della radiazione

• algoritmo per calc. \vec{E} e \vec{H} in modo semplice
W Penito alle sorgenti:

cause:
SORGENTI



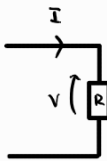
ALGORITMO



effetti:
CAMPI

• il problema è sviluppare un algoritmo che usi sorgenti semplici da determinare

e.s.



effetto causa
 $V = I \cdot R$
algoritmo (moltiplicazione per R)

l'algoritmo per se è semplicissimo, ma misurare la corrente circuitualmente è scomodo

$I = \frac{1}{R} V$ è meglio, la causa è più facile da determinare
↑ effetto ↑ causa

sorgenti della radiazione:

* cariche elettriche che si muovono con moto accelerato - difficile da det.!
 \Rightarrow (densità di) correnti su conduttori sono più facili da determinare

I) eq. di Maxwell

II) otteniamo $\nabla^2 \vec{E} + \beta^2 \vec{E} = \text{SORGENTI} \in (\text{complicate})$

III) troviamo una sol. del d'Alembertiano $\mathcal{L} = \nabla^2 + \beta^2$

IV) introduciamo un potenziale vettore \vec{A}

V) otteniamo $\nabla^2 \vec{A} + \beta^2 \vec{A} = \text{SORGENTI} \in (\text{semplici})$

VI) da \vec{A} otteniamo \vec{E}, \vec{H}

VII) sorgenti elementari: DIPOLO HERTZIANO

$$\begin{cases} \nabla \times \vec{E} = -j\omega\mu \vec{H} \\ \nabla \times \vec{H} = j\omega\epsilon \vec{E} + \vec{J} \in \sigma \vec{E} + \vec{J}_I \\ \nabla \cdot \vec{E} = \rho/\epsilon \\ \nabla \cdot \vec{H} = 0 \\ \nabla \cdot \vec{J} = -j\omega\rho \end{cases}$$

nella causa comp. l'effetto: in realtà non è un problema, in \vec{J}_I è indistinguibile da $\sigma \vec{E}$

$$\begin{aligned} \Rightarrow \nabla \times \nabla \times \vec{E} &= -j\omega\mu \nabla \times \vec{H} = -j\omega\mu (j\omega\epsilon \vec{E} + \vec{J}) \\ &\Downarrow \\ \nabla(\nabla \cdot \vec{E}) - \nabla^2 \vec{E} &= \omega^2 \mu \epsilon \vec{E} - j\omega\mu \vec{J} \\ &\neq 0 \\ &\text{siamo in presenza di sorgenti} \\ &= \beta^2 (\beta = \omega\sqrt{\mu\epsilon}) \\ \Rightarrow \nabla\left(\frac{\rho}{\epsilon}\right) - \nabla^2 \vec{E} &= \omega^2 \mu \epsilon \vec{E} - j\omega\mu \vec{J} \end{aligned}$$

applico il rotore alla prima eq.

$$\Rightarrow \underbrace{\nabla^2 \vec{E} + \beta^2 \vec{E}}_{\text{effetto}} = \underbrace{\nabla(\nabla \cdot \vec{j})}_{\substack{\text{JwE} \\ \text{fonti ("complicate") : } \vec{j} \text{ è semplice} \\ \text{da det, ma il gradiente della divergenza} \\ \text{di } \vec{j} \text{ non lo è}} + \text{Jw}\mu\vec{j}$$

operatore d'Alembertiano: $\mathcal{L} = \nabla^2 + \beta^2$

Ψ campo scalare generico per una sorgente puntiforme elementare a simmetria sferica

soluz. statica $\Rightarrow \omega \rightarrow \emptyset, \beta \rightarrow \emptyset \Rightarrow \nabla^2 \Psi(r) = \text{sorgente}$

(il d'Alembertiano coincide con il Laplaciano)

$$\Rightarrow \nabla^2 \Psi(r) = \begin{cases} -s & \text{per } r \leq R \Rightarrow \text{sol. interna} \\ \emptyset & \text{per } r > R \Rightarrow \text{sol. esterna} \end{cases}$$

condizioni: $\Psi(r)$ e $\frac{\partial \Psi}{\partial r}$ continue (soluzione sensata fisicamente)

$r \leq R$

$$\text{coordinate polari} \Rightarrow \nabla^2 \Psi(r) = \frac{1}{r^2} \cdot \frac{d}{dr} \left[r^2 \cdot \frac{d\Psi}{dr} \right] = -s \Rightarrow r^2 \frac{d\Psi}{dr} = -s \frac{r^2}{3} + A \Rightarrow \Psi(r) = -s \frac{r^2}{6} - \frac{A}{r} + B$$

$$\left(\frac{\partial \Psi}{\partial \theta} = \frac{\partial \Psi}{\partial \phi} = \emptyset \text{ per simmetria} \right)$$

↑
integro in dr

↑
integro in dr

$r > R$

$$\frac{1}{r^2} \cdot \frac{d}{dr} \left[r^2 \frac{d\Psi}{dr} \right] = \emptyset \Rightarrow \int r^2 \frac{d\Psi}{dr} = C \Rightarrow \Psi(r) = -C \cdot \frac{1}{r} + D$$

$$\lim_{r \rightarrow \infty} \Psi(r) = \emptyset \Rightarrow D = \emptyset \quad (\text{dove andare a } \emptyset \text{ l'effetto})$$

$$\lim_{r \rightarrow \emptyset} \Psi(r) \neq \infty \Rightarrow A = \emptyset \quad (\text{non può divergere})$$

per $r = R \Rightarrow \Psi(r), \frac{d\Psi}{dr}$ continue

$$\hookrightarrow \begin{cases} \Psi(r) = s \left(\frac{1}{2} R^2 - \frac{1}{6} r^2 \right) & r \leq R \\ \Psi(r) = s \cdot \frac{R^3}{3r} & r > R \end{cases}$$

$$\Psi(r) = s \cdot \frac{R^3}{3r} = \frac{4\pi R^3}{3} \cdot \frac{s}{4\pi r} = \frac{V \cdot s}{4\pi r}$$

elettrostatica

$$\nabla^2 \Psi(r) = -\frac{\rho}{\epsilon} ; s = \int \rho \Rightarrow \Psi(r) = \frac{V \cdot \rho}{4\pi \epsilon r} = \frac{Q}{4\pi \epsilon r}$$

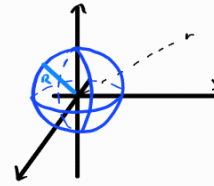
regime dinamico:

$$\nabla^2 \Psi(r) + \beta^2 \Psi(r) = \begin{cases} -s & r \leq R \\ 0 & r > R \end{cases}$$

adesso s è un fasore, la sorgente è pulsante cioè nel dominio del tempo varia col $\cos(\omega t)$

$$\text{sol. esterna} \Rightarrow \frac{1}{r^2} \frac{d}{dr} \left[r^2 \frac{d\Psi}{dr} \right] + \beta^2 \Psi = \emptyset$$

$$\text{poniamo } X = \Psi(r) \cdot r \Rightarrow \Psi(r) = \frac{X}{r}$$



$$\frac{1}{r^2} \cdot \frac{d}{dr} \left[r^2 \cdot \frac{d\psi}{dr} \right] + \beta^2 \psi = \phi$$

$$X = r\psi \Rightarrow \psi = \frac{X}{r}$$

$$\Rightarrow \frac{1}{r^2} \cdot \frac{d}{dr} \left[r^2 \cdot \left(\frac{1}{r} \frac{dX}{dr} - \frac{X}{r^2} \right) \right] + \beta^2 \psi = \phi$$

$$\Rightarrow \frac{1}{r^2} \cdot \frac{d}{dr} \left[r \cdot \frac{dX}{dr} - X \right] + \beta^2 \psi = \phi$$

$$\Rightarrow \frac{1}{r^2} \left[1 \cdot \frac{dX}{dr} + r \cdot \frac{d^2X}{dr^2} - \frac{dX}{dr} \right] + \beta^2 \psi = \phi$$

$$\Rightarrow \frac{1}{r} \cdot \frac{d^2X}{dr^2} + \beta^2 \psi = \phi \Rightarrow \frac{1}{r} \frac{d^2X}{dr^2} + \beta^2 \frac{X}{r} = \phi \Rightarrow \frac{d^2X}{dr^2} + \beta^2 X = \phi$$

$$\uparrow$$

$$= \frac{X}{r}$$

ammetta sol. $X(r) = M e^{-\beta r} + N e^{+\beta r} \Rightarrow \psi(r) = M \frac{e^{-\beta r}}{r} + N \frac{e^{+\beta r}}{r}$

$\underbrace{\hspace{10em}}_{\text{termine centrifugo}} \quad \underbrace{\hspace{10em}}_{\text{termine centripeto}}$

termine centrifugo: fase si ritarda allontanandosi dalla sorgente

termine centripeto: fase si anticipa (effetto precede la causa), cioè è un termine anticausale \Rightarrow non ha senso fisico

$\hookrightarrow N = \phi$ (si può dim. rigorosamente con le condiz. al contorno di Sommerfeld)

$$\psi(r) = \frac{SV}{4\pi r} \quad (\text{sol. esterna caso statico}) \Rightarrow \text{si deve ricordare con la sol. dinamica appena trovata per } v \rightarrow \phi$$

$$\text{se } v \rightarrow \phi, \beta \rightarrow \phi \Rightarrow e^{-\beta r} \rightarrow 1$$

$$\hookrightarrow \psi(r) = \frac{SV}{4\pi r} = \frac{M}{r} \Rightarrow M = \frac{SV}{4\pi} \Rightarrow \psi(r) = \frac{SV}{4\pi r} e^{-\beta r}$$

potenziale vettore

$$\text{Sappiamo che: } \nabla \cdot \vec{H} = \phi$$

$$\Rightarrow \text{considero } \vec{H} = \nabla \times \vec{A} \Rightarrow \nabla \cdot (\nabla \times \vec{A}) \equiv \phi \quad \forall \vec{A}$$

$$\Rightarrow \nabla \times \vec{E} = -j\omega \mu \vec{H} = -j\omega \mu \nabla \times \vec{A} \Rightarrow \nabla \times (\vec{E} + j\omega \mu \vec{A}) = \phi$$

questo termine è irrotazionale \Rightarrow posso scriverlo come gradiente di un campo scalare (def. un "potenziale")

$$\Rightarrow \vec{E} + j\omega \mu \vec{A} = -\nabla \phi \Rightarrow \vec{E} = -\nabla \phi - j\omega \mu \vec{A}$$

\uparrow
segno meno arbitrario, è per comodità

$$\nabla \times \vec{H} = j\omega \epsilon \vec{E} + \vec{j} \Rightarrow \nabla \times \nabla \times \vec{A} = j\omega \epsilon (-\nabla \phi - j\omega \mu \vec{A}) + \vec{j} \Rightarrow \nabla(\nabla \cdot \vec{A}) - \nabla^2 \vec{A} = -j\omega \epsilon \nabla \phi + \omega^2 \mu \epsilon \vec{A} + \vec{j}$$

\uparrow
 $\vec{H} = \nabla \times \vec{A}$

$\underbrace{\hspace{10em}}_{\beta^2}$
 $(\beta = \omega \sqrt{\mu \epsilon})$

$$\hookrightarrow \underbrace{\nabla^2 \vec{A} + \beta^2 \vec{A}}_{\text{d'Alembertiano}} = \nabla(\nabla \cdot \vec{A}) + j\omega \epsilon \nabla \phi - \vec{j}$$

d'Alembertiano

in generale, un campo vett. ha 2 tipi di sorgenti:

- \swarrow vorticosi ($\vec{H} = \nabla \times \vec{A}$)
- \searrow polo

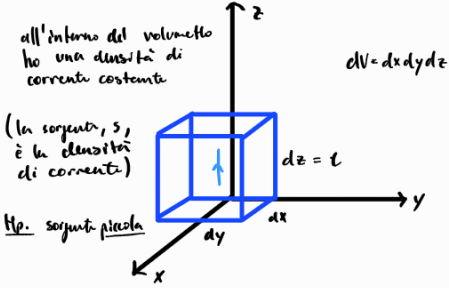
le due sorgenti sono indipendenti \Rightarrow def. $\nabla \cdot \bar{A} = -\mathcal{J}_w \epsilon \phi$ arbitrariamente in nodo l.c. $\nabla(\nabla \cdot \bar{A}) + \mathcal{J}_w \epsilon \nabla \phi = \phi$
 $-\mathcal{J}_w \epsilon \nabla \phi$

$$\Rightarrow \nabla^2 \bar{A} + \beta^2 \bar{A} = -\bar{\mathcal{J}} \quad (\Rightarrow \quad \bar{A}(r) = \frac{\bar{\mathcal{J}} V}{4\pi r} e^{-\beta r} (\psi(r)))$$

$$\begin{cases} \bar{H} = \nabla \times \bar{A} \\ \bar{E} = -\mathcal{J}_w \mu \bar{A} + \frac{1}{\mathcal{J}_w \mu \epsilon} \nabla(\nabla \cdot \bar{A}) \end{cases}$$

sono in grado di legare le corse ($\bar{\mathcal{J}}$) con gli effetti (\bar{E} e \bar{H}) tramite il campo \bar{A}

dipolo Hertziano



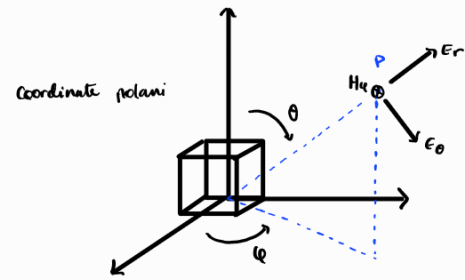
$$\bar{\mathcal{J}} = \mathcal{J}_z \cdot \hat{u}_z$$

$$\bar{A}(r) = \frac{\int \bar{\mathcal{J}} e^{-\beta r}}{4\pi r} = \frac{\mathcal{J}_z dV e^{-\beta r}}{4\pi r}$$

$$A_z(r) = \frac{\mathcal{J}_z \int dx dy dz e^{-\beta r}}{4\pi r} = \frac{I \cdot l e^{-\beta r}}{4\pi r}$$

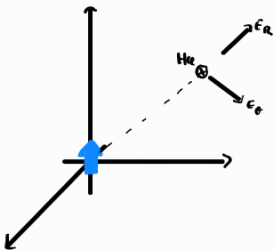
dipende solo da r , non da θ o ϕ \Rightarrow isotropo

(tuttavia anche se A è isotropo i campi non lo saranno)



$$\begin{cases} E_r = \frac{I l}{2\pi} e^{-\beta r} \left(\frac{1}{r^2} + \frac{1}{\mathcal{J}_w \epsilon r^3} \right) \cos \theta \\ E_\theta = \frac{I l}{4\pi} e^{-\beta r} \left(\frac{3\mu}{r} + \frac{1}{r^2} + \frac{1}{\mathcal{J}_w \epsilon r^3} \right) \sin \theta \\ H_\phi = \frac{I l}{4\pi} e^{-\beta r} \left(\frac{3\beta}{r} + \frac{1}{r^2} \right) \sin \theta \end{cases}$$

Caso campi "vicini"



$$r \ll \lambda; \quad r \rightarrow \phi$$

$$\Rightarrow \begin{cases} E_r = \frac{I l}{\mathcal{J}_w 2\pi \epsilon r^3} \cos \theta \\ E_\theta = \frac{I l}{\mathcal{J}_w 4\pi \epsilon r^3} \sin \theta \end{cases} \quad (\text{"sopravvive" solo il termine più significativo, } \propto 1/r^3)$$

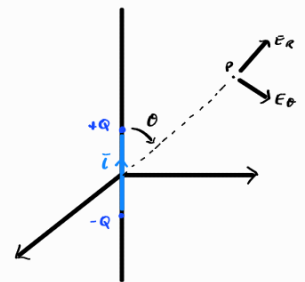
$e^{-\beta r} \rightarrow 1$ cioè il ritardo/sfasamento non c'è

siamo talmente vicini alla sorgente da praticamente avere tutto istantaneamente

$\Rightarrow E_r, E_\theta$ componenti "quasi statiche"

sembrano essere le componenti di un dipolo statico (pur non essendolo)

consideriamo un dipolo elettrostatico:



$$\begin{cases} E_r = \frac{Q l \cos \theta}{2\pi \epsilon r^3} \\ E_\theta = \frac{Q l \sin \theta}{4\pi \epsilon r^3} \end{cases}$$

$$I = \frac{dQ}{dt} \Rightarrow \text{nei fasori} \Rightarrow I = \mathcal{J}_w Q$$

$$\Rightarrow \begin{cases} E_r = \frac{I l \cos \theta}{\mathcal{J}_w 2\pi \epsilon r^3} \\ E_\theta = \frac{I l \sin \theta}{\mathcal{J}_w 4\pi \epsilon r^3} \end{cases}$$

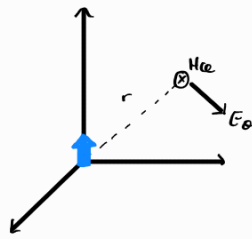
Semberebbe proprio che nel caso di campi vicini troviamo lo stesso risultato che troviamo nel caso di dipolo elettrostatico

ma c'è una differenza \Rightarrow siamo nel dominio dei fasori $\Rightarrow A(t) = \text{Re}[A e^{j\omega t}]$

cioè $Q(t) = Q \cos(\omega t)$ oscilla! \Rightarrow perché diciamo "quasi" statiche; $\left. \begin{matrix} \text{fasore} \\ \text{lo sembrano ma non lo sono veramente} \end{matrix} \right\}$

Caso campi lontani (r grande)

$$\begin{cases} E_{\theta} = \frac{j\omega\mu I l}{4\pi r} e^{-j\beta r} \sin\theta \\ H_{\phi} = \frac{j\beta I l}{4\pi r} e^{-j\beta r} \sin\theta \end{cases}$$



$E_{\theta} \perp H_{\phi}$

$\frac{E_{\theta}}{H_{\phi}} = \frac{\omega\mu}{\beta} = \frac{\omega\mu}{\omega\sqrt{\mu\epsilon}} = \sqrt{\mu/\epsilon} = \eta$ ($= \eta_0$ nel vuoto)

$\Rightarrow E_{\theta} \perp H_{\phi}$, e sono in fase tra loro

semplifica ad un'onda TEM. Dobbiamo verificare però che ci sia una densità di potenza reale che viaggiava nello spazio

calcoliamo il vett. di Poynting: $\bar{S} = \frac{1}{2} \bar{E} \times \bar{H}^*$
sto considerando i contributi sia di campi lontani che di campi vicini

$$\bar{E} \times \bar{H}^* = \begin{vmatrix} \hat{u}_r & \hat{u}_{\theta} & \hat{u}_{\phi} \\ E_r & E_{\theta} & \phi \\ \phi & \phi & H_{\phi}^* \end{vmatrix} = E_{\theta} H_{\phi}^* \hat{u}_r - E_r H_{\phi}^* \hat{u}_{\theta}$$

$\Rightarrow \bar{S} = \frac{1}{2} \bar{E} \times \bar{H}^* = \underbrace{\frac{1}{2} E_{\theta} H_{\phi}^*}_{S_R} \hat{u}_r - \underbrace{\frac{1}{2} E_r H_{\phi}^*}_{S_{\theta}}$

$$\begin{cases} E_{\theta} = \frac{j\eta I l}{2\lambda r} e^{-j\beta r} \sin\theta \\ H_{\phi} = \frac{j I l}{2\lambda r} e^{-j\beta r} \sin\theta \end{cases} \Rightarrow \begin{cases} S_R = \frac{1}{2} \cdot \frac{\eta |I l|^2}{4\lambda^2} \left(\frac{1}{r^2} + \frac{1}{j\beta^2 r^2} \right) \sin^2\theta \\ S_{\theta} = \frac{1}{2} \cdot \frac{\eta |I l|^2}{8\pi^2} \left(-\frac{j\beta}{r^3} + \frac{1}{j\beta r^3} \right) \sin\theta \cdot \cos\theta \end{cases}$$

(riscritto E_{θ} e H_{ϕ} in modo diverso)

ci interessa solo la potenza reale (quella immaginaria è reattiva)

$Re[\bar{S}] = \frac{1}{2} \eta \cdot \frac{|I l|^2}{4\lambda^2 r^2} \sin^2\theta$

considero i soli campi lontani \Rightarrow calcolo $\frac{1}{2} \bar{E} \times \bar{H}^* = \frac{1}{2} \eta \frac{|I l|^2}{4\lambda^2 r^2} \sin^2\theta = Re[\bar{S}]$

cioè la potenza che viaggia radialmente (radiazione) è associata ai soli campi lontani:

\hookrightarrow campi lontani \Rightarrow campi di radiazione

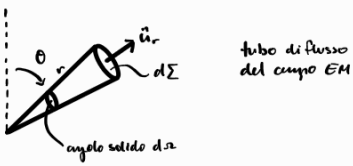
agli altri campi è associata energia immaginaria che non si propaga che rimane confinata nell'intorno della sorgente

• la radiazione $\propto \sin^2\theta \Rightarrow$ non viaggia in modo uniforme in tutte le direzioni:

\hookrightarrow la sorgente non è isotropa!

questo perché la antenna isolata pulsante cioè che oscilla tra $+Q$ e $-Q$ sinusoidalmente

la sorgente che abbiamo considerato noi, la densità di corrente, vuol dire che ci sono correnti $+$ e $-$ che si alternano agli estremi (corrente sinusoidale)



$$\vec{S}(\theta, r) = \eta_0 \frac{|I|^2}{8\lambda^2 r^2} \sin^2 \theta \hat{u}_r$$

$$dP = \vec{S} \cdot \hat{u}_n d\Sigma \Rightarrow dP = S d\Sigma$$

$$d\Sigma = r^2 \sin \theta d\theta d\phi \Rightarrow dP = \eta_0 \frac{|I|^2}{8\lambda^2 r^2} \sin^2 \theta \cdot r^2 \sin \theta d\theta d\phi$$

la potenza irradiata è costante!

ma la densità di potenza si riduce: $d\Sigma \propto r^2 \Rightarrow$ densità di pot. $\propto \frac{1}{r^2}$

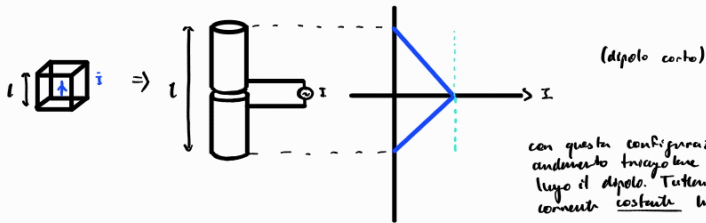
$$P = \int_0^{2\pi} d\phi \int_0^\pi \eta_0 \frac{|I|^2}{8\lambda^2} \sin^3 \theta d\theta = 2\pi \eta_0 \frac{|I|^2}{8\lambda^2} \int_0^\pi \sin^3 \theta d\theta \Rightarrow P = \frac{\pi}{3} \eta_0 |I|^2 \left(\frac{1}{\lambda}\right)^2 \text{ [W]}$$

(è il flusso di \vec{P})

questa potenza è fornita dal generatore che fa scorrere la corrente nel dipolo Hertziano

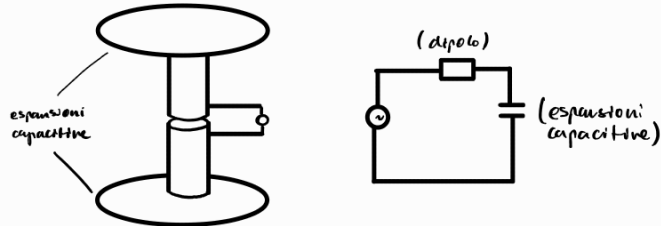
potenza media in un periodo

realizzazione fisica:

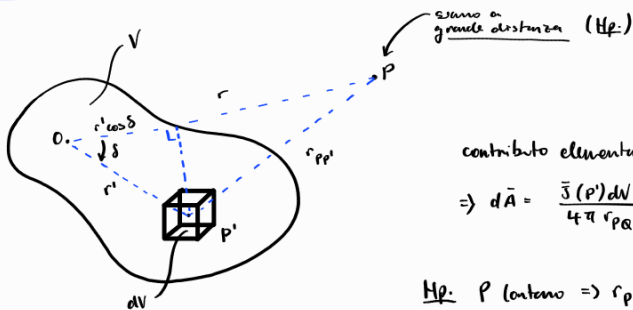


con questa configuraz. si osserva un andamento triangolare della corrente lungo il dipolo. Tuttavia io voglio una corrente costante lungo il dipolo.

↳ sfruttando la corrente di spostamento, chiudo il circuito senza collegamenti fisici



distribuzione volumetrica di densità di carica



contributo elementare (dipolo Hertziano)

$$\Rightarrow d\vec{A} = \frac{\vec{J}(P') dV}{4\pi r_{pp'}} e^{-j\beta r_{pp'}}$$

Hip. P lontano $\Rightarrow r_{pp'} \ll r$; $r \gg r'$

$$r = r_{pp'} + r' \cos \delta \Rightarrow r_{pp'} = r - r' \cos \delta$$

$$\Rightarrow d\vec{A} = \frac{\vec{J}(P') dV}{4\pi r_{pp'}} e^{-j\beta r_{pp'}} \sim \frac{\vec{J}(P') dV}{4\pi r} e^{-j\beta(r - r' \cos \delta)} = \frac{\vec{J}(P') dV}{4\pi r} e^{-j\beta r} e^{+j\beta r' \cos \delta}$$

(al denominatore $r_{pp'} \sim r$, però dall'exp. $r' \cos \delta$ non è trascurabile se δ è piccolo. δ piccolo implica β grande)

$$\Rightarrow \vec{A}(P) = \int_V d\vec{A} = \frac{e^{-j\beta r}}{4\pi r} \int_V \vec{J}(P') e^{+j\beta r' \cos \delta} dV$$

$\vec{N}(\theta, \phi)$: vettore di radiazione [A·m] \Rightarrow cioè è un momento di dipolo equivalente (I·l)

$$\Rightarrow \vec{A}(P) = \frac{\vec{N}(\theta, \phi) \cdot e^{-j\beta r}}{4\pi r}$$

$$\Rightarrow \bar{A}(p) = \frac{\tilde{I}l e^{-j\beta r}}{4\pi r}$$

cioè se sono suff. lontano, posso sostituire il mio sistema ad un dipolo equivalente (con una grossa diff. da un dipolo reale, cioè che \bar{A} è funzione, in generale, di θ e ϕ , e quindi cambia in funzione della posizione di osservazione)

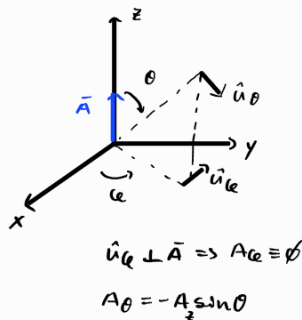
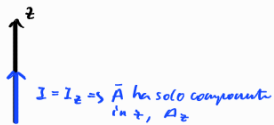
$$\bar{A}(p) \Rightarrow \bar{H} = \nabla \times \bar{A} \text{ trovo tutti i contributi di campo}$$

ma se mi interessa il solo campo magnetico di radiaz. $\Rightarrow \bar{H} = j\beta(\bar{A} \times \hat{u}_r)$

$$H_\phi = \frac{j\beta \tilde{I}l e^{-j\beta r}}{4\pi r} \sin\theta \text{ verificavamo che questo si può ottenere da}$$

$$\bar{A} = \frac{\tilde{I}l e^{-j\beta r}}{4\pi r}$$

$$A_z = \frac{\tilde{I}l e^{-j\beta r}}{4\pi r}$$



$$\bar{A} \times \hat{u}_r = \begin{vmatrix} \hat{u}_r & \hat{u}_\theta & \hat{u}_\phi \\ A_r & A_\theta & \phi \\ 1 & 0 & 0 \end{vmatrix} = A_\theta \hat{u}_\phi - A_\phi \hat{u}_\theta$$

$$\Rightarrow \bar{H} = j\beta(-A_\theta \hat{u}_\phi) = j\beta \frac{\tilde{I}l e^{-j\beta r}}{4\pi r} \sin\theta \hat{u}_\phi \text{ (= } H_\phi \text{ componenti di campo lontana)}$$

$$\bar{A} = \tilde{N}(\theta, \phi) \cdot \frac{e^{-j\beta r}}{4\pi r}$$

$$\bar{H} = j\beta [A_\theta(\theta, \phi) \hat{u}_\theta - A_\phi(\theta, \phi) \hat{u}_\phi] = \frac{j\beta e^{-j\beta r}}{4\pi r} [N_\theta(\theta, \phi) \hat{u}_\theta - N_\phi(\theta, \phi) \hat{u}_\phi]$$

sappiamo che $\bar{E} \perp \bar{H} \perp \bar{S}$, e $\frac{\bar{E}}{H} = \eta \Rightarrow \bar{E} = \eta(\bar{H} \times \hat{u}_r) = \frac{-j\omega\mu e^{-j\beta r}}{4\pi r} [N_\theta(\theta, \phi) \hat{u}_\theta + N_\phi(\theta, \phi) \hat{u}_\phi]$

prop. onde TEM (sferica), TEM sferica nel senso che le sup. equipotenziali sono sferiche, ma non l'ampiezza (infatti N è funz. di θ, ϕ)

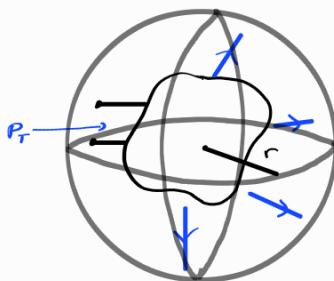
(vale nell'ipotesi che siamo per r grande, cioè campi lontani)

Sorgenti (antenne) come trasduttori

- convertono l'energia EM dalla forma guidata alla forma radiata (e viceversa)
- sono dispositivi passivi: al più reimmettono tutto ciò che ricevono
- reciproci: ricevono e trasmettono

antenna isotropa (non nella realtà) \Rightarrow ideale

↑
irradia in modo
uniforme in
tutte le direz.



$$S_{iso}(r) = \frac{P_T}{4\pi r^2}$$

$$\int_{S_{sfera}} S_{iso} \cdot \hat{u}_r d\bar{S} = P_T$$

caso non isotropo

funzione di direttività $0 \leq f \leq 1$ descrive come si concentra la potenza lungo le direz.

$$\bar{S}(\theta, \varphi, r) = \frac{P_T}{4\pi r^2} \cdot D \cdot f(\theta, \varphi) \hat{u}_r$$

↑ direttività (> 1)

direz. di max. radiaz.

$$S_{\max} = \frac{P_T D}{4\pi r^2} \quad (f(\theta, \varphi) = 1)$$

Siso

$$\Rightarrow \frac{S_{\max}}{S_{\text{iso}}} := D > 1$$

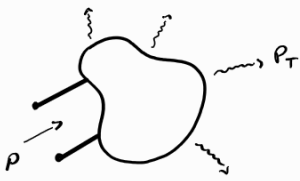
$$\int_{\Sigma} \bar{S}(\theta, \varphi, r) \cdot \hat{u}_r d\Sigma = \frac{P_T D}{4\pi} \int_{\Sigma} \frac{1}{r^2} f(\theta, \varphi) d\Sigma = \frac{P_T D}{4\pi} \int_{\Omega} f(\theta, \varphi) d\Omega = P_T \quad (\text{flusso di } \bar{S} \text{ m da la potenza})$$

$d\Sigma = r^2 d\Omega$

$$\Rightarrow D = \frac{4\pi}{\int_{\Omega} f(\theta, \varphi) d\Omega}$$

↑ Più è concentrato il fascio lungo una direz. più è grande la direttività

(tipo se ho f che è 1 lungo una direz. e 0 lungo le altre, l'integrale sarà piccolo e D sarà grande. Viceversa se f è costante spalmato su tutte le direz. integrando avrò un valore più grande e D più piccolo)



$P_T \leq P$
 \uparrow potenza irradiata
 \uparrow potenza fornita
 $\Rightarrow P_T = \nu P$ $0 \leq \nu \leq 1$
 \uparrow rendimento/efficienza

$$S(R, \theta, \varphi) = \frac{P_T \cdot D \cdot f(\theta, \varphi)}{4\pi R^2} = \frac{P \cdot \nu \cdot D \cdot f(\theta, \varphi)}{4\pi R^2} = \frac{P \cdot G \cdot f(\theta, \varphi)}{4\pi R^2}$$

$G := \nu \cdot D$ guadagno dell'antenna

$G \gg 1$

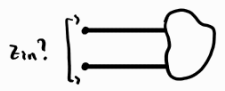
$G_{150} = 10 \log \frac{G}{1}$ [dB_i]
 \uparrow guadagno dell'antenna isotropa di riferimento ($D=1, \nu=1$)

• è un guadagno legato ad una concentraz. di potenza (cioè mi concentra la potenza lungo una direz.) ma è un elemento passivo, non è una amplificaz. di potenza

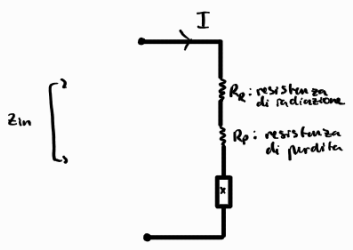
sorgente isotropa: irraggia in modo uniforme
 dipolo Hertziano: irraggia in modo omnidirezionale
 uniforme lungo il piano azimutale

modello circuitale

antenna trasmettente



servi per fornire disantenna da elementi passivi



R_R : la resistenza è l'unico componente in grado di dissipare potenza reale. È legata alla radiazione, non a dissipaz. per effetto Joule. Legata ai campi lontani (di radiazione).
 R_P : legata a perdite per dissipaz. per effetto Joule.
 X : componente reattiva legata all'accumulo di energia dovuta ai campi vicini.

riserva potenza in irraggio

$\Rightarrow Z_{in} = R + jX \ \Omega$ con $R = R_R + R_P$ antenne "risonanti" $\Rightarrow X = 0$ ($Z_{in} = 50 \Omega$ std. industriale, come $Z_c = 50 \Omega$)

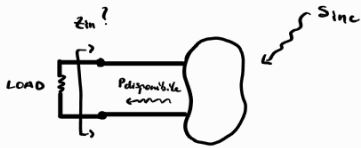
$\nu = \frac{P_T}{P}$

$P_T = \frac{1}{2} |I|^2 \cdot R_R$; $P_P = \frac{1}{2} |I|^2 \cdot R_P$ $\Rightarrow P = P_T + P_P \Rightarrow \nu = \frac{\frac{1}{2} |I|^2 \cdot R_R}{\frac{1}{2} |I|^2 \cdot R_R + \frac{1}{2} |I|^2 \cdot R_P} \Rightarrow \nu = \frac{R_R}{R_R + R_P}$

- l'espressione di ν ci indica che le antenne non seguono la legge di Moore
- se provo a miniaturizzare le antenne, trovo che per dim. antenna $\ll \lambda \rightarrow R_R \downarrow \downarrow, R_P \downarrow \Rightarrow \nu \rightarrow 0$
- per dim. $\nu \ll 1$ già sono di molti. Per dim. ancora inferiori praticamente non irraggio

polarizzazione caratteristica: l'onda che trasmetto deve essere polarizzata in modo f.c. è compatibile con l'antenna ricevente

antenna ricevente



- si può dim. che R_p, R_R, X sono uguali
- dal pt. di vista del circuito, vedo un generatore
 non è che l'antenna fornisce potenza, la potenza è data dall'onda incidente (S_{inc})
- la direzione privilegiata per la trasmissione lo è anche per la ricezione

P_d di S_{inc}

$$P_d = S_{inc} \cdot A_e \cdot f(\theta, \phi)$$

$[W]$ $[W/m^2]$ $[m^2]$ $f(\theta, \phi)$ è uguale in trasmissione e in ricezione (per la stessa antenna)

- A_e non è collegata all'area geometrica dell'antenna

$$\frac{G}{A_e} = \frac{4\pi}{\lambda^2} \quad \text{vale sempre}$$

$$P_d = \frac{1}{2} \cdot \frac{|V_o|^2}{R} = \frac{|V_o|^2}{8R}$$

P_d di $|E|^2, |V|^2$
 P_d di $f(\theta, \phi) \Rightarrow |V| \propto \sqrt{f(\theta, \phi)}$

$$V_o = E_{inc} \cdot l_e \cdot \sqrt{f(\theta, \phi)}$$

$[V]$ $[V/m]$ $[m]$

l_e : lunghezza efficace dell'antenna (anche in questo caso non è legata alla lunghezza fisica)

- siamo nel dominio dei fascioni $\Rightarrow L$ può essere anche immaginaria (A_e no, è legata a P_d che è una potenza reale)

\hookrightarrow ci può essere uno sfasamento (ritardo) della funzione vista ai capi rispetto al capo incidente

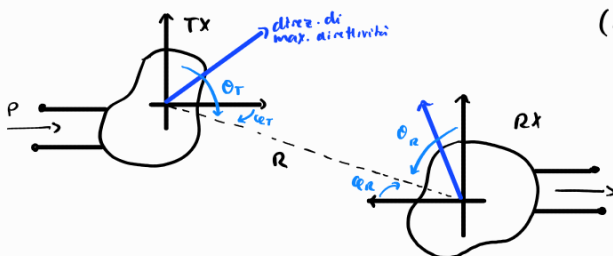
$$P_d = S_{inc} \cdot A_e \cdot f(\theta, \phi) = \frac{|V_o|^2}{8R} = \frac{|E_{inc}|^2 \cdot |l_e|^2 \cdot f(\theta, \phi)}{8R}$$

$$\Rightarrow \frac{1}{2} \cdot \frac{|E_{inc}|^2}{\eta_0} \cdot A_e \cdot f(\theta, \phi) = \frac{|E_{inc}|^2 \cdot |l_e|^2 \cdot f(\theta, \phi)}{8R}$$

$$\Rightarrow A_e = \frac{\eta_0 \cdot |l_e|^2}{4R} \quad \text{vale sempre}$$

(tutto ciò sotto l'ipotesi che ci sia adattamento tra onde incidente e trasmettente)

equazione di Friis



(H_{ip}: adattamento di polarizzaz.)

(TX e RX antenne generiche, anche di tipo diverso)

$$\begin{cases} S_{inc} = \frac{P \cdot G_T \cdot f_T(\theta_T, \phi_T)}{4\pi R^2} \\ P_R = S_{inc} \cdot A_e \cdot f_R(\theta_R, \phi_R) \end{cases}$$

$$\Rightarrow P_R = P \cdot G_T \cdot f_T(\theta_T, \phi_T) \cdot \left(\frac{\lambda}{4\pi R}\right)^2 \cdot G_R \cdot f_R(\theta_R, \phi_R)$$

eq. di Friis (link budget)

ci dice quanta potenza ricevo in funz. dei parametri delle antenne

• se le antenne sono ben puntate $\Rightarrow f_R = f_T = 1$

$$P_R = \underbrace{P_m}_{\substack{\text{legata a TX} \\ \text{EIRP}}} \cdot G_T \cdot \underbrace{\left(\frac{\lambda}{4\pi R}\right)^2}_{\substack{\text{legata a RX} \\ \text{attenuaz. di spazio libero}}} \cdot G_R$$

Equivalent
Isotropically
Radiator
Power

è una potenza equivalente: potenza che un'antenna trasmettente isotropica dovrebbe emettere per avere P_R ricevuta

dipolo Hertziano

$$S = \eta_0 \cdot \frac{|I|^2}{8\lambda^2 R^2} \sin^2 \theta \quad ; \quad P = \frac{\pi}{3} \eta_0 \frac{|I|^2}{\lambda^2}$$

$$\Rightarrow S = \frac{\pi/3}{\pi/3} \eta_0 \frac{|I|^2}{8\lambda^2 R^2} \sin^2 \theta$$

$$= \frac{P}{4\pi R^2} \cdot \frac{3}{2} \sin^2 \theta \quad (D=G, \nu=1)$$

$\underbrace{\quad}_{G} \quad \underbrace{\quad}_{f(\theta, \phi)}$

Infatti

$$\Rightarrow D = G = \frac{4\pi}{\int_{\Omega} f(\theta, \phi) d\Omega} = \frac{4\pi}{\int_0^{2\pi} d\phi \int_0^\pi \sin^2 \theta \sin \theta d\theta} = \frac{2}{\int_0^\pi \sin^3 \theta d\theta} = \frac{3}{2}$$

$d\Omega = \sin \theta \cdot d\phi \cdot d\theta$

$$\frac{A_e}{G} = \frac{\lambda^2}{4\pi} \Rightarrow A_e = \frac{3\lambda^2}{8\pi} \quad \text{non compare } l \text{ per il dipolo Hertziano}$$

Hp. $R_p = \emptyset$

legata alla radiaz.

$$P = \frac{1}{2} |I|^2 \cdot R_R = \frac{\pi}{3} \eta_0 \cdot \frac{|I|^2}{\lambda^2} \Rightarrow R_R = \frac{2}{3} \pi \eta_0 \left(\frac{l}{\lambda}\right)^2 \propto l^2 \quad (\text{lunghezza fisica})$$

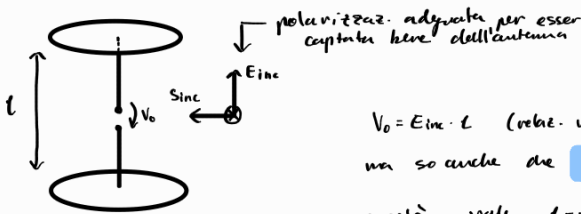
R_p invece, che è legata a dissipaz. Joule, cioè è proprio una resistenza fisica, è $\propto l$

per questo $R_R \rightarrow \emptyset$ più velocemente di R_p per $l \rightarrow \emptyset$, e quindi $\nu \rightarrow \emptyset$ per $l \rightarrow \emptyset$

$$A_e = \frac{|l_e|^2 \cdot \eta_0}{4R_R} \quad (\text{vale sempre})$$

$$\frac{3\lambda^2}{8\pi} \quad \frac{2}{3} \pi \eta_0 \left(\frac{l}{\lambda}\right)^2$$

$$\Rightarrow |l_e| = \sqrt{\frac{3\lambda^2}{8\pi} \cdot \frac{1}{\eta_0} \cdot 4 \cdot \frac{2}{3} \pi \eta_0 \left(\frac{l}{\lambda}\right)^2} \Rightarrow |l_e| = l \quad \text{è l'unico caso in cui } l_e = l$$



$$V_0 = E_{inc} \cdot l \quad (\text{valeva valida per il condensatore})$$

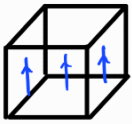
$$\text{ma so anche che } V_0 = E_{inc} \cdot l_e$$

perciò vale $l = l_e$



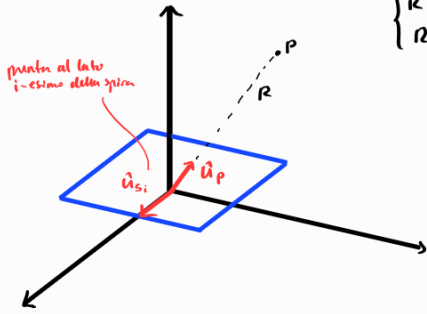
l'elemento reattivo in questo caso è capacitivo

consideriamo la seguente sorgente:



\vec{H} ← densità di corrente magnetica (≠ nella realtà, ≠ la carica isolata negativa)

dimostriamo però che è equivalente alla radiaz. di una piccola spira (quadrata)

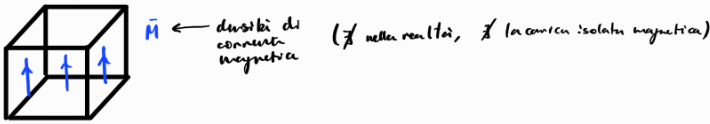


$\begin{cases} R \gg a \\ R \gg \lambda \end{cases} \Rightarrow$ considero campi lontani / di radiaz.

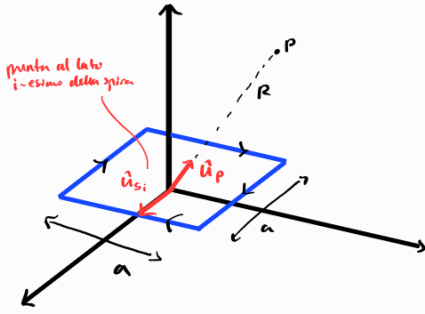
$$\vec{A}(\rho) = N(\theta, \varphi) \cdot \frac{e^{-j\beta r}}{4\pi R}$$

$$N(\theta, \varphi) = \int_V \vec{J}(\rho') e^{j\beta r' \cos \delta} dV$$

consideriamo la seguente sorgente:



dimostriamo però che è equivalente alla radiaz. di una piccola spirale (quadrata)



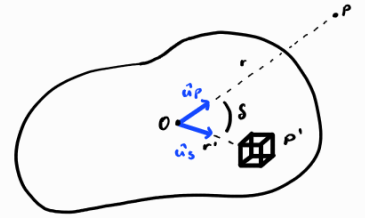
$$\vec{A}(\rho) = \mathcal{N}(\theta, \varphi) \cdot \frac{e^{-j\beta R}}{4\pi R}$$

$$\vec{N}(\theta, \varphi) = \int_V \vec{J}(\rho') e^{j\beta R' \cos \delta} dV$$

↳ abbiamo una spirale, non un volume

$$\Rightarrow \vec{N}(\theta, \varphi) = \int_{\text{spira}} \vec{I}(\rho') e^{j\beta R' \hat{u}_p \cdot \hat{u}_s} d\ell$$

$$= \sum_{i=1}^4 \vec{I}_i \cdot e^{j\beta \frac{a}{2} \hat{u}_p \cdot \hat{u}_s} \cdot a$$



se $a \ll \lambda$ (spira/sorgente piccola)

$$e^{j\beta \frac{a}{2} \hat{u}_p \cdot \hat{u}_s} \sim 1 + j\beta \frac{a}{2} \hat{u}_p \cdot \hat{u}_s \quad (e^x \sim 1+x \text{ per } x \text{ piccolo})$$

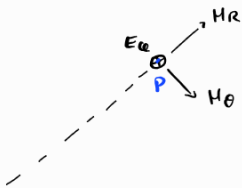
$$\Rightarrow \vec{N}(\theta, \varphi) \sim \sum_{i=1}^4 \vec{I}_i \cdot a (1 + j\beta \frac{a}{2} \hat{u}_p \cdot \hat{u}_s)$$

$$\hat{u}_p = \sin\theta \cos\varphi \hat{u}_x + \sin\theta \sin\varphi \hat{u}_y + \cos\theta \hat{u}_z$$

lato	\vec{I}_i	\hat{u}_s	$\hat{u}_p \cdot \hat{u}_s$
1	$I \hat{u}_y$	\hat{u}_x	$\sin\theta \cos\varphi$
2	$-I \hat{u}_x$	\hat{u}_y	$\sin\theta \sin\varphi$
3	$-I \hat{u}_y$	$-\hat{u}_x$	$-\sin\theta \cos\varphi$
4	$I \hat{u}_x$	$-\hat{u}_y$	$-\sin\theta \sin\varphi$

$$\Rightarrow \vec{N} = j\beta a^2 \cdot I \sin\theta \underbrace{(-\sin\varphi \hat{u}_x + \cos\varphi \hat{u}_y)}_{\hat{u}_\varphi}$$

$$\Rightarrow \vec{N} = j\beta a^2 I \sin\theta \hat{u}_\varphi$$



da $\vec{A}(\rho)$:

$$\begin{cases} H_R = \frac{j\omega\mu I a^2}{2\pi\eta_0} \left(\frac{1}{R} - \frac{j}{\beta R^2} \right) \cos\theta e^{-j\beta R} \\ H_\theta = \frac{j\omega\mu I a^2}{4\pi\eta_0} \left(\frac{j\beta}{R} + \frac{1}{R^2} - \frac{1}{\beta R^2} \right) \sin\theta \cdot e^{-j\beta R} \\ E_\varphi = -\frac{j\omega\mu I a^2}{4\pi} \left(\frac{j\beta}{R} + \frac{1}{R^2} \right) \sin\theta e^{-j\beta R} \end{cases}$$

• è duale al dipolo Hertziano, ma con campi H e E scambiati

• sono gli stessi campi che avremmo se avessimo una spirale con densità di corrente magnetica

↳ sorgente equivalente ad un dipolo magnetico

per $R \rightarrow \emptyset$

dominano $H_R, H_\theta \Rightarrow$ campo quasi-magnetostatico è equivalente al campo statico di una spirale

per $R \rightarrow \infty$

$$\begin{cases} H_\theta, E_\alpha \Rightarrow H \perp E \perp \hat{u}_R \\ \frac{H_\theta}{H_\phi} = \eta_0 \\ \text{calc. } \bar{S} \text{ e } I_{\text{radio}} \text{ che è associata ai solo campi lontani} \end{cases}$$

\Rightarrow onda TEM sferica

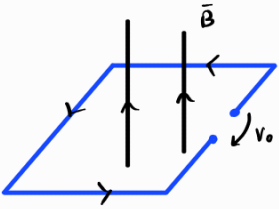
campi di radiaz.:
$$\begin{cases} H_\theta = \frac{j\omega\mu_0 I \cdot s(j\beta)}{4\pi\eta_0 R} \cdot \sin\theta e^{-j\beta R} \\ E_\alpha = -\frac{j\omega\mu_0 I s(j\beta)}{4\pi R} \cdot \sin\theta e^{-j\beta R} \end{cases}$$

\Rightarrow è scambiata la polarizzazione rispetto al dipolo Hertziano

$E_\alpha, H_\theta \propto \sin\theta$
 $S(\theta, \varphi, R) \propto \sin^2\theta$
 $f(\theta, \varphi) = \sin^2\theta$

$D = \frac{4\pi}{\int_{\Omega} f(\theta, \varphi) d\Omega} = \frac{3}{2}$

$\frac{D}{A_e} = \frac{4\pi}{\lambda^2} \Rightarrow A_e = \frac{3\lambda^2}{8\pi}$
 (=G)



uso la spirale in risonanza

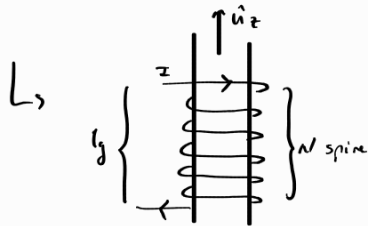
$$\begin{cases} |V_0| = |j\omega B \cdot S| = |j\omega\mu_0 s H| = \frac{j\omega\mu_0 s}{\eta_0} E \\ V_0 = E_{\text{inc}} \cdot l_e \end{cases}$$

$\Rightarrow l_e = \frac{j\omega\mu_0 s}{\eta_0} = j\beta s$

(adattamento di polarizzazione)

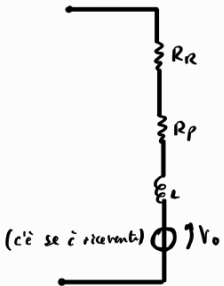
$R_R = \frac{|l_e|^2 \eta_0}{4A_e} = \frac{\beta^2 s^2 \eta_0}{4 \cdot \frac{3}{8} \frac{\lambda^2}{\pi}} = \frac{8}{3} \pi^3 \eta_0 \left(\frac{s}{\lambda}\right)^2$ (Hp. Rp = 1) ?

$L = ? \Rightarrow$ manca il raggio del filo \Rightarrow uso più spire

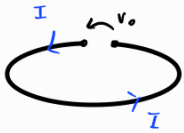


$$\begin{aligned} \vec{N} &= \frac{N}{l_g} \cdot I \cdot \hat{u}_z \\ \vec{B} &= \mu_0 \vec{H} \\ L &= \frac{\Phi(B)}{I} = \frac{B N s}{I} = \frac{\mu_0 I \cdot N^2}{l_g \cdot I} = \frac{\mu_0 N^2 s}{l_g} \end{aligned}$$

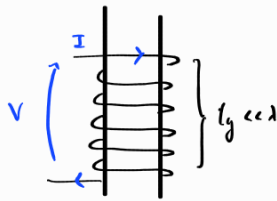
non dipende dal diametro del conduttore



(ciè se è riambi)



$E_0, S_0, R_{R_0}, D_0, f_0(\theta, \varphi), \ell_0$



E, R, D, f, ℓ

(stiamo sempre considerando sorgenti elementari piccole)

* $E = N E_0$

* $S_0 = \frac{1}{2} \frac{|E_0|^2}{\eta_0} \Rightarrow$
 $S = \frac{1}{2} \frac{|E|^2}{\eta_0} = \frac{1}{2} \frac{N^2 |E_0|^2}{\eta_0} = N^2 S_0$

* $P_0 = \int S_0 d\Sigma$
 $P = \int S d\Sigma = N^2 \int S_0 d\Sigma = N^2 P_0$

* $P_0 = \frac{1}{2} |I|^2 R_{R_0}$
 $P = \frac{1}{2} |I|^2 R_R = N^2 \frac{1}{2} |I|^2 R_{R_0} \Rightarrow R_R = N^2 R_{R_0}$

La resistenza Ohmica (fisica) invece è $\propto N$

\hookrightarrow per N crescente $\rightarrow R_R$ prevale su R_p e quindi cresce l'efficienza (più si usano più spire)

* $f(\theta, \varphi) = \sin^2 \vartheta$
 $D = \frac{3}{2}$ (invariata)
 $A_e = \frac{3\lambda^2}{8\pi}$

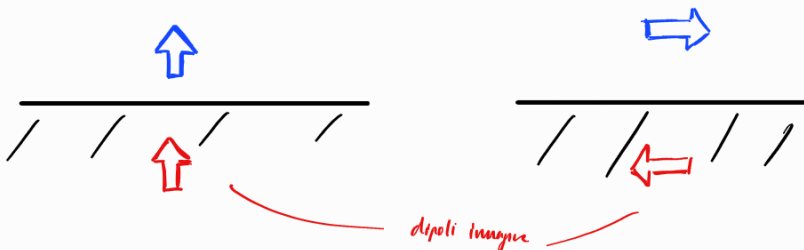
$P_R = A_e \cdot S_{inc} \Rightarrow$ potenza ricevuta è invariata !!
 \uparrow
 Invariata

$V = N V_0 \Rightarrow \ell_e = N \ell_0 = N (j B \lambda)$
 (ho N jens in serie)

$\Rightarrow P_{disponibile} = \frac{|V|^2}{8 R_R} = \frac{N^2 |V_0|^2}{8 N^2 R_{R_0}} = P_0$ potenza disponibile non è cambiata nonostante $V \gg V_0$ (perché A_e invariata)

non importa in generale la potenza che vedo disponibile, di solito ho un amplificatore a valle

dipoli Hertziani e condizioni





potè si sommano
le radiaz.



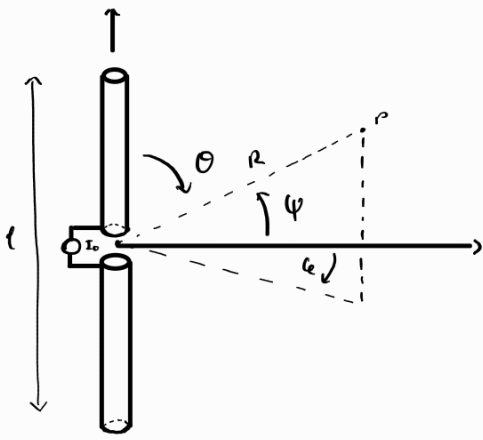
antenne filiformi

conduttore ideale

↳ ho una densità sup. di correnti \vec{J}_s , e un campo elettrico interno nullo

se conoscessi: \vec{J}_z (o \vec{I}_z) sarei in grado di calc. la radiaz.

=> nota $\vec{I}(z) \rightarrow \vec{A}(\theta, \phi) \rightarrow \vec{E}, \vec{H}$



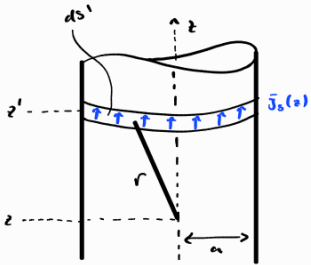
=> dobbiamo calc. \vec{I}

considero l'asse z interno al conduttore:

$$E(z) = -\nabla\phi = \frac{1}{\epsilon_0} \nabla(\nabla \cdot \vec{A}) - \nabla \times \vec{A}$$

molte volte $\vec{I}(z) = \vec{J}_z(z) \Rightarrow$ \vec{I} la sola componente \vec{A}_z (\vec{A} è diretto come \vec{I})

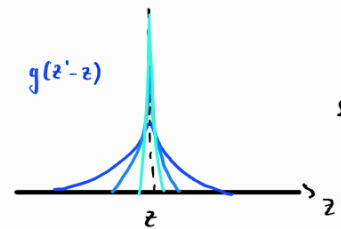
$$\Rightarrow \frac{d^2 A_z}{dz^2} + \beta^2 A_z = \rho \Rightarrow A_z(z) = M e^{-j\beta z} + N e^{j\beta z}$$



$$A_z(z) = \int_{\text{filo}} J_z(z') \frac{e^{-j\beta r}}{4\pi r} ds'$$

$$= \int_{\text{filo}} I(z') \frac{e^{-j\beta r}}{4\pi r} dz'$$

con $r = \sqrt{(z-z')^2 + a^2}$



se azzel (filo sottili, $a \ll z-z'$)
↳ $\sim \delta$ di Dirac

$$\Rightarrow A_z(z) = \int_{-l/2}^{l/2} \underbrace{I(z')}_{f(z')} \cdot \underbrace{\frac{e^{-j\beta \sqrt{(z-z')^2 + a^2}}}{4\pi \sqrt{(z-z')^2 + a^2}}}_{g(z-z')} dz'$$

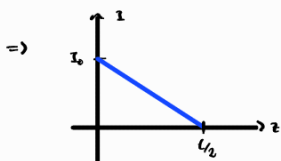
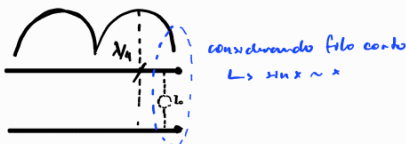
(ricorda una convolu. per una δ)

$$\Rightarrow A_z(z) = k I_z(z)$$

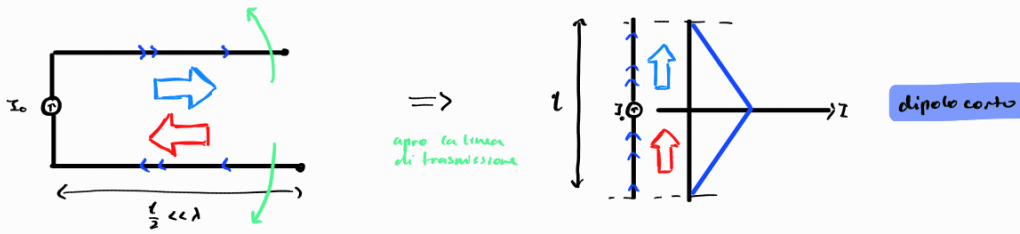
cioè se i fili sono molto sottili: contano i contributi solo a pari quota z e quelli a z' sono "lontani" e quindi trascurabili

$$\Rightarrow I(z) = M' e^{-j\beta z} + N' e^{j\beta z} \quad \text{cioè è la stessa corrente che si trovava nelle linee di trasmissione!}$$

condiz. al contorno $\begin{cases} I(0) = I_0 \\ I(\pm l/2) = 0 \end{cases}$



considero la linea di trasmissione equivalente:



* nella linea di trasmissione i contributi dei dipoli \Rightarrow compensano \Rightarrow non irradia

* nel dipolo corto i contributi \Rightarrow sommano \Rightarrow irradia

guardando dai morsetti del generatore vedo:

- X impedenza puramente reattiva (capacitiva) nel caso della linea di trasm.
 - $R_{R2} + jX$ per il dipolo corto
- (X di solito elevata e difficile da adattare con una rete adattante a valle, ovvero un margine di -10dB nella realtà)

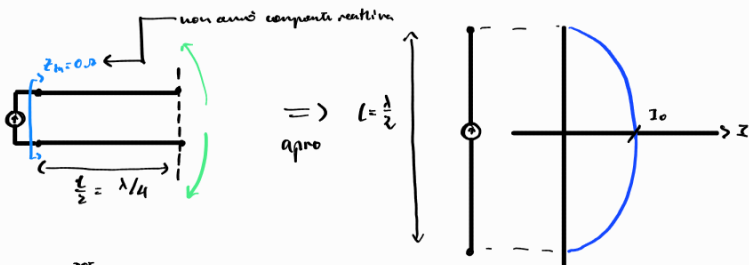
dipolo corto

- $f(\theta) = \sin^2 \theta$
- $D = \frac{3}{2} \quad (1,75 \text{ dB}_2)$
- $A_e = \frac{3\lambda^2}{8\pi}$

ma a differenza del dipolo Hertziano, non ho correnti uniformi \Rightarrow a priori di corrente irradiano meno

$\hookrightarrow R_{R2}$ minore ($P_{irradiata} = \frac{1}{2} |I|^2 R_{R2} \Rightarrow R_{R2} = \frac{\pi}{6} \eta \cdot \left(\frac{l}{\lambda}\right)^2$)

dipolo risonante $\frac{\lambda}{2}$



$\Rightarrow Z_{in} \sim 70\Omega$ (ho solo R_{R2})

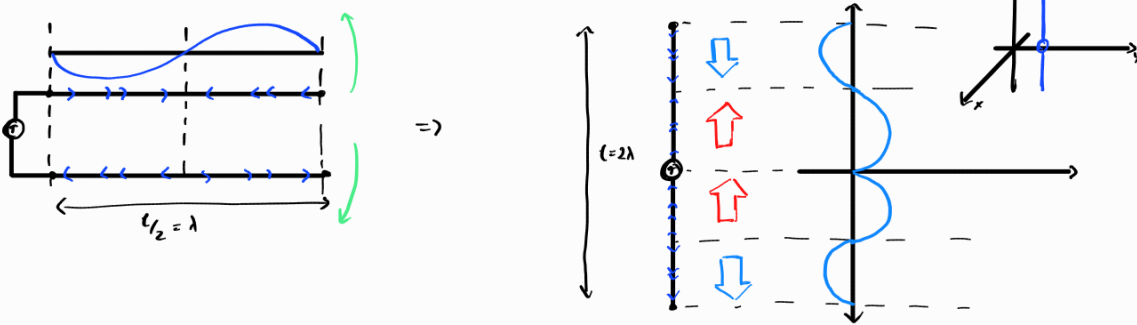
R_{R2} elevata!

ma $f(\theta) = \left[\frac{\cos\left(\frac{\pi}{2} \sin \theta\right)}{\cos \theta} \right]^2$ è molto simile a $\sin^2 \theta$

$D = 1,64 \quad (2,1 \text{ dB}_2)$ irradiano ancora in modo poco direzionale

come aumento la direttività?

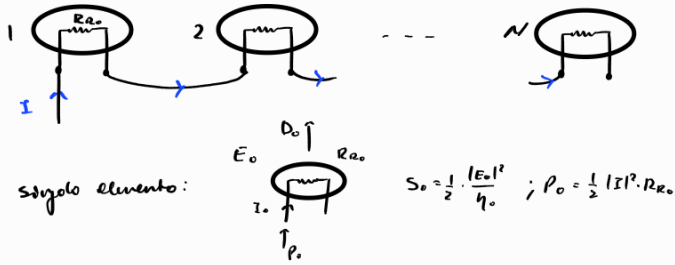
potrei pensare di allungare l'antenna e.s. lunga $l=2\lambda$



- sul piano KY non funziona (i dipoli si compensano)

↳ non è una buona idea come soluzione...

schiera (gruppo) di antenne

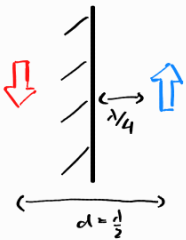


$S = \frac{1}{2} \cdot \frac{|E|^2}{\eta_0} = \frac{1}{2} \cdot \frac{|E_0|^2}{\eta_0} \cdot N^2 = N^2 \cdot S_0$ ($E = NE_0$, sovrapp. eff.)

$R_a = N/R_{e0}$ (sono in serie) $\Rightarrow P = N P_0$

$S = \frac{P D}{4\pi R^2} = \frac{N P_0 D}{4\pi R^2} = N^2 S_0 = \frac{N^2 P_0 D_0}{4\pi R^2} \Rightarrow \frac{N^2 P_0 D_0}{4\pi R^2} = \frac{N P_0 D}{4\pi R^2} \Rightarrow D = N D_0$ aumenta la direttività!

riflettore:

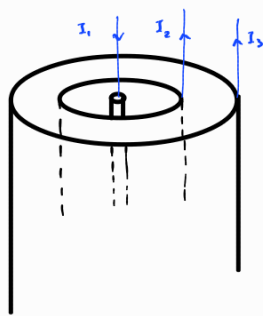
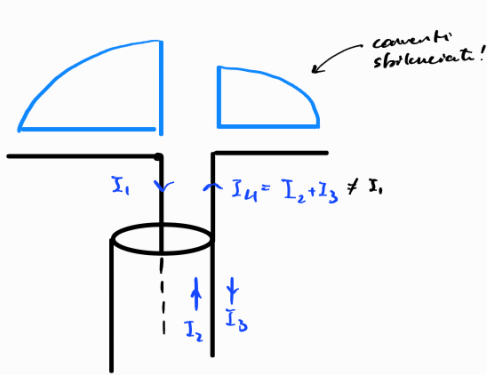


$\frac{2\pi}{\lambda} \cdot d = \pi \Rightarrow d = \frac{\lambda}{2}$
sfasamento

così i dipoli (di verso opposto) si sommano in certi fase e quindi nel complesso in fase

↳ aumento quadruplo (direttività)

realizzazione fisica



$I_1 = I_2$
 ma $I_3 = ?$

o cosa è dovuto questa cosa?

consigli: 3 conduttori a radio frequenza!

\Rightarrow BAL-UN (balanced to unbalanced)

↳ $I_4 = I_1$ bilancia il dipolo

un esempio è un trasformatore 1:1

